

۶

روشهای جبران سازی سیستم‌های کنترل

اهداف فصل:

- ۱- آشنایی با ایده جبران سازی و انواع جبران سازها
- ۲- معرفی جبران سازهای پس فاز، پیش فاز و پسر - پیش فاز
- ۳- طراحی جبران سازها با استفاده از مکان ریشه
- ۴- طراحی جبران سازها با استفاده از روش پاسخ فرکансی
- ۵- طراحی جبران سازها با استفاده از چارت نیکولز

۱-۶ مقدمه

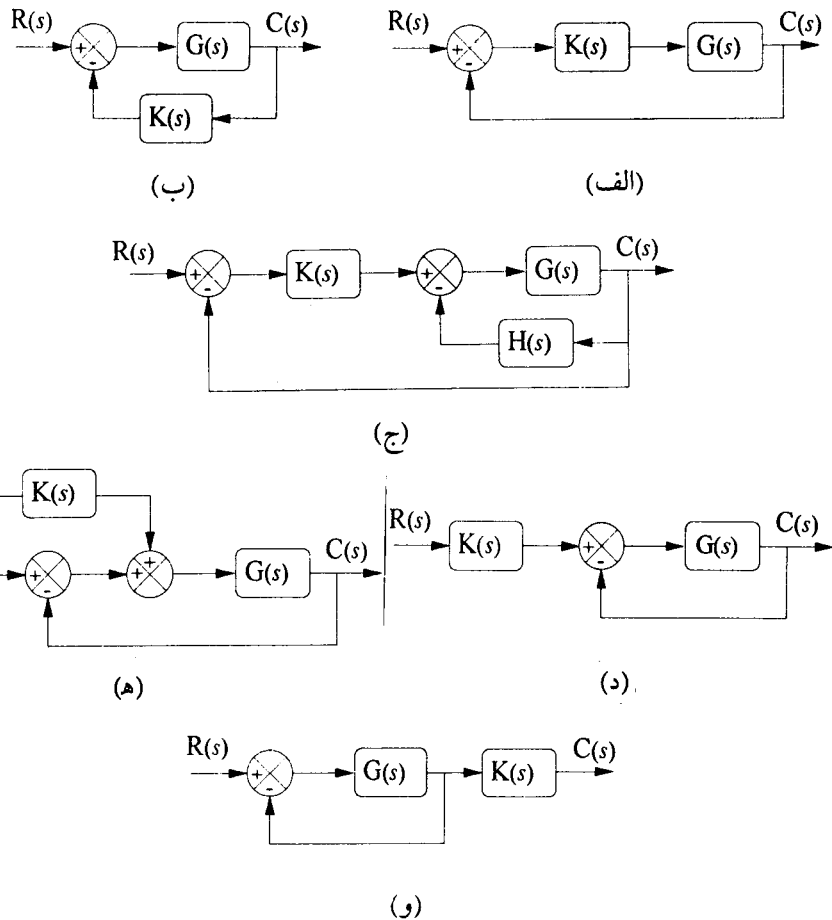
در فصلهای قبل با نمایش و تحلیل عملکرد سیستم‌های کنترل آشنا شدیم. مهندس کنترل پس از نمایش سیستم کنترل به صورت معادلات دیفرانسیل غیرخطی، تابع تبدیل، فضای حالت و ... به تحلیل سیستم خواهد پرداخت. توسط مدل بدست آمده از سیستم، و یا در صورت امکان با تحت آزمایش قرار دادن سیستم حلقه - باز اصلی، مشخصه‌های حوزه زمانی پاسخ سیستم به ورودیهای مختلف مانند ورودی پله (سرعت پاسخ، فراجهش حداکثر، زمان ستیغ، زمان استقرار ...)، خطاهای حالت - ماندگار، پایداری و پایداری نسبی، رسم مکان ریشه و در حوزه فرکانس با رسم نمودارهای بود، نایکوئیست و چارت نیکولز مشخصه‌هایی مانند حاشیه بهره، حاشیه فاز، پایداری نسبی، پهنای باند، فرکانس قطع و ... را مورد بررسی قرار می‌دهد. حال اگر یک یا چند پارامتر از مشخصه‌های سیستم، مانند پایداری، سرعت پاسخ، حاشیه‌های بهره و فاز و غیره مطلوب نباشد، طراح سیستم باید به گونه‌ای به مشخصه‌های مطلوب عملکرد سیستم دست یابد. با توجه به اینکه در اکثر سیستم‌ها، سخت‌افزار و ساختار درونی سیستم حلقه - باز مورد نظر غیرقابل تغییر و تعویض است، لذا در عمل نمی‌توان با تغییر پارامترهای خود سیستم به عملکرد مطلوب دسترسی پیدا کرد. از این‌رو، مهندس طراح سیستم با بکارگیری روش‌های طراحی^۱ و جبران‌سازی^۲، کنترل کننده مناسبی را جهت دست‌یابی به مشخصه‌های مورد نظر طراحی می‌کند. به سیستم‌های کمکی که وارد حلقه کنترل می‌گردند و رفتار مورد نظر حلقه - بسته را بدست می‌دهند، جبران ساز^۳ می‌گویند. در برخی از سیستم‌ها عمل جبران‌سازی باستن یک حلقه فیدبک واحد به دور سیستم و تنظیم بهره حلقه - باز آن، به خوبی انجام می‌پذیرد. حال آنکه در بسیاری از سیستم‌های صنعتی که چند مشخصه مانند پایدارسازی، سرعت بخشیدن به پاسخ و ... مورد نظر است، و یا اینکه سیستم از دینامیک پیچیده‌ای برخوردار است، با تنظیم یک بهره از سیستم حلقه - بسته با فیدبک واحد، مشخصه‌های تعیین شده برای سیستم حلقه - بسته بدست نخواهد آمد. در این چنین مواردی استفاده از جبران سازهای دینامیکی الزامی خواهد بود.

1- Design

2- Compensation

3- Compensator

روش‌های مختلفی برای وارد کردن جبران سازها در سیستم فیدبک وجود دارند. این روشها در شکل زیر آورده شده‌اند. اولین و متداول‌ترین روش، استفاده از جبران ساز در مسیر پیشرو همراه با سیستم حلقه - باز است. به این روش، جبران سازی سری^۱ یا متوالی^۲ می‌گویند.



(الف) سیستم کنترل فیدبک با جبران ساز سری (ب) سیستم کنترل فیدبک با جبران ساز موازی (ج) سیستم کنترل فیدبک با جبران ساز سری - موازی (د) سیستم کنترل فیدبک با جبران ساز در مسیر ورودی (ه) سیستم کنترل فیدبک با جبران ساز در مسیر ورودی (و) سیستم کنترل فیدبک با جبران ساز در مسیر خروجی

این روش جبرانسازی در شکل ۱-۶ (الف) نشان داده شده است. روش دوم وارد کردن جبران سازها، استفاده از جبران ساز در مسیر فیدبک است. به این روش، جبران سازی فیدبک یا موازی^۱ گفته می‌شود و در شکل ۱-۶ (ب) نشان داده شده است. همچنین می‌توان دو روش بالا را تلفیق نموده و از جبران ساز سری - فیدبک نشان داده شده در شکل ۱-۶ (ج) استفاده کرد. در بعضی از شرایط بهتر است که از جبران ساز در مسیر ورودی به سیستم فیدبک استفاده نمود که به دو صورت نشان داده شده در شکل های ۱-۶ (د) و (ه) اعمال می‌شود. سرانجام می‌توان از جبران سازها در مسیر خروجی سیستم نیز استفاده کرد که به آن جبران کردن خروجی یا بار^۲ گویند و در شکل ۱-۶ (و) نشان داده شده است.

علاوه بر روشهای ذکر شده می‌توان به روشهای جدید بنا نهاده شده بر مفاهیم فضای حالت نیز اشاره کرد. این روشهای تحلیل و طراحی سیستم‌ها را، بصورت مختصر در فصل ۷ بررسی خواهیم کرد. در این فصل، با توجه به سر راست بودن و کاربردی تر بودن روشهای طراحی جبران سازهای سری (شکل ۱-۶ (الف)), تنها به ارایه و توضیح این روشهای خواهیم پرداخت. بدیهی است که در شرایط خاصی ممکن است یکی از روشهای ذکر شده در بالا بر روش سری ترجیح داده شود، لیکن جبران سازی سری با توجه به کاربرد وسیعتر آن، بیشتر از همه روشهای دیگر مورد استفاده قرار گرفته است. در هر صورت عوامل زیر در انتخاب، بین روشهای مختلف جبران سازی باید در نظر گرفته شوند:

۱- روشهای طراحی جبران‌کننده سری سر راست تر از روشهای طراحی سایر جبران سازها است. اگر چه ممکن است اعمال عملی برخی از جبران‌کننده‌ها ساده‌تر باشد.

۲- با توجه به ماهیت فیزیکی یک سیستم کنترل (الکتریکی، مکانیکی، هیدرولیکی و یا غیره)، ممکن است که برخی از روشهای جبرانسازی ذکر شده قابل اجرا نباشند.

۳- اعمال جبران ساز از نقطه نظر اقتصادی مقرن به صرفه باشد. مواردی از قبیل اندازه، وزن، هزینه عناصر و تقویت‌کننده‌ها، همگی در ارزیابی اقتصادی جبران

ساز مهم هستند. دقت کنید که در برخی از کاربردها، مانند صنایع هوایی‌ماهی، حجم و وزن جعبه کنترل فوق العاده مهم است و طراح باید یک محدوده حجم و وزن مشخصی را برای جبران ساز در نظر بگیرد.

۴- شرایط محیطی که جبران ساز در آن به کار گرفته خواهد شد، بر دقت و پایداری کمیت کنترل شده بشدت تأثیر می‌گذارد و انتخاب متغیر مناسب برای ورودی و خروجی بلوک جبران ساز می‌تواند یکی از عوامل تعیین کننده باشد. به عنوان مثال ممکن است که یک کمیت در سیستم، تحت تأثیر شدید شرایط جوی باشد و با تغییر دما تغییر کند و یا اینکه به کارگیری متغیر دیگری از نظر سخت‌افزار سیستم، مناسب‌تر باشد.

۵- مسئله نویز در سیستم کنترل نیز می‌تواند در انتخاب نوع جبران ساز تأثیر گذارد. به عنوان مثال در جبران سازهای سری که از یک بهره تقویت زیاد استفاده می‌کنند، مسئله نویز حادتر از جبران سازهای فیدبک است که در آنها تقویت کننده‌ای با بهره بزرگ بکار گرفته نمی‌شود.

۶- نوع مشخصه عملکرد مطلوب در نظر گرفته شده برای سیستم حلقه - بسته نیز می‌تواند یکی از عوامل رجحان یک نوع جبران ساز بر دیگری باشد. اگر پاسخ سریعی از سیستم مطلوب باشد، جبران سازی فیدبک می‌تواند بهتر جوابگو باشد و یا اگر بخواهیم یک قسمت از دینامیک سیستم را از سایر قسمتها مجزای کنیم، در این حالت می‌توان از یک حلقه فیدبک داخلی در قسمت مورد نظر استفاده کرد.

۷- در کنار تمامی موارد بالا، باید تجربه و علاقه طراح به یک سیستم خاص جبران سازی و عناصر در دسترس برای بکارگیری در سیستم جبران ساز را نیز افزود.

مشخصه‌های عملکرد مشخصه‌های عملکرد بسیاری، بسته به نیاز صنعت و کاربرد خاص سیستم کنترل، برای تعیین رفتار مطلوب سیستم کنترل وجود دارند. در جدول ۱-۶ خلاصه‌ای از مشخصه‌های عملکرد آورده شده است.

مراحل طراحی. اولین مرحله طراحی، بdstت آوردن یک مدل ریاضی مناسب خطی از سیستم مورد نظر است. پس از مدل‌سازی و شبیه‌سازی سیستم، با روشهای ارایه شده، تحلیل مدل سیستم صورت می‌پذیرد و نقاط ضعف و قوت سیستم به طور کامل تعیین می‌گردد. با

جدول ۶-۱ خلاصه‌ای از مشخصه‌های مهم عملکرد که در صاحب جبران سازها مورد استفاده قرار می‌گیرند.

(الف) سیستم حلقه - باز

مشخصه	حوزه	توضیح
۱- ساختار قطب و صفر	حوزه‌های زمان و فرکانس	نشان دهنده پایداری و رفتار حلقه - باز
۲- حاشیه بهره و حاشیه فاز	حوزه فرکانس	نشان دهنده پایداری حلقه - سنته و حاشیه پایداری

(ب) سیستم حلقه - بسته

مشخصه	حوزه	توضیح
۱- ساختار قطب و صفر	حوزه‌های زمان و فرکانس	نشان دهنده پایداری و رفتار حلقه - بسته
۲- مشخصه‌های پاسخ زمانی:	حوزه زمان	تابعی از فرکانس طبیعی غیرمیرا و سبست اولین فرا رفت، زمان

لسبت میرای برای سیستم مرتبه دوم و به قطبهای مُنْثَر سیستم‌های مرتبه بالاتر استقرار، زمان سنجی و مقدار فرآجھش حدکثر

۳- خطای حالت - ماندگار	حوزه زمان	تابعی از نوع سیستم و ماهیت ذرودی
۴- فرکانس تشدید، بالاترین	حوزه فرکانس	تابعی از فرکانس طبیعی غیرمیرا و سبست میرای برای سیستم مرتبه دوم و به قطبهای مُنْثَر سیستم‌های مرتبه بالاتر
۵- مقدار تشدید، پنهانی باند.		میرانی برای حذف نویز و دنبال روندگی در سیستم، میرانی برای تعیین حاشیه پایداری و سرعت پاسخ سیستم.

تعیین مشخصه‌های عملکرد و رفتار مطلوب و ایده‌آل سیستم حلقه - بسته، طراح با روش سعی و خطابه طراحی جبران سازی می‌پردازد که رفتار مطلوب حلقه - بسته را فراهم آورد. در این مرحله، باید با انجام آزمایشات مکرر و طراحیهای مختلف، پارامترهای گوناگون جبران ساز را به گونه‌ای تغییر داد تا رفتار مناسب حلقه - بسته حاصل شود. با آزمون پایداری و اطمینان از پایداری سیستم حلقه - بسته و بدست آوردن سایر مشخصه‌های پاسخ سیستم، طراح با اعمال جبران ساز به سیستم اصلی و بستن حلقه آن، سیستم را مورد آزمایش قرار می‌دهد. با توجه به در نظر گرفتن مسایل عملی از قبیل عناصر غیرخطی در سیستم، محركها، سنسورها، برخی دینامیک‌های مدل نشده و نامعینی در مدل‌سازی و شبیه‌سازی سیستم حلقه - باز و جبران ساز، بدیهی است که رفتار سیستم حلقه - بسته واقعی با رفتار مدل آن مقداری

تفاوت داشته باشد. لذا ممکن است که اولین نتیجه طراحی چندان مطلوب نباشد و مشخصه‌های عملکرد را برآورده نسازد. در اینجا طراح سیستم کنترل با سعی و خطا به بهینه‌سازی مدل طراحی شده پرداخته تا اینکه به سیستم مطلوب حلقه - بسته دست پیدا کند. در این مرحله، طراح باید هر آزمایشی را بر روی سیستم به طور دقیق تحلیل و بررسی کند و نتایج هر مرحله را در بهینه‌سازی مراحل بعد به کار گیرد. طراح باید اطمینان پیدا کند که سیستم نهایی، مشخصه‌های عملکرد را برآورده می‌سازد، علاوه بر آن از نظر اقتصادی مفروض به صرفه است و از نظر کار قابل اعتماد می‌باشد.

تذکر این نکته حائز اهمیت است که در طراحی سیستم‌های کنترل با روش‌های مکان ریشه، و یا پاسخ فرکانسی (که در این فصل مورد بررسی قرار می‌گیرند)، جبران ساز و نتیجه نهایی منحصر بفرد نیست. منحصر بفرد نبودن نتیجه طراحی بدین دلیل است که بهترین پاسخ یا پاسخ بهینه به مسئله طراحی تعریف نشده است و برای دست یابی به طراحی بهینه باید از روش‌های پیشرفته‌تری استفاده کرد که از محدوده این کتاب خارج است.

مشخصه‌های کلی که یک سیستم طراحی شده باید داشته باشند، عبارتند از: خطاهای کوچک در پاسخ به سیگنال ورودی (برای این منظور میرایی سیستم باید مناسب باشد)، حساسیت کم به تغییرات کوچک در پارامترهای سیستم، از بین بردن اثر اغتشاشات نامطلوب وارد به سیستم و همچنین کم کردن اثر نویز ورودی (مانند نویز سنسورها).

۲-۶ انواع جبران سازها

متداول‌ترین جبران سازها که در صنعت نیز کاربرد فراوانی دارند عبارتند از: جبران سازهای پیش فاز^۱، پس فاز^۲ و پس - پیش فاز^۳. جبران ساز پیش فاز بطور عمده برای بهبود بخشیدن به رفتار گذراي پاسخ بکار گرفته می‌شود و تأثیر اندکی بر روی خطای حالت - ماندگار پاسخ دارد. این جبران ساز ممکن است موجب تشدید اثرات نویزهای فرکانس بالا گردد. جبران ساز پس فاز برای بهبود بخشیدن خطای حالت - ماندگار به کار گرفته می‌شود. لیکن باعث افزایش زمان پاسخ گذراي سیستم می‌گردد. جبران ساز پس فاز اثرات نویزهای فرکانس بالا را کاهش

1- Phase lead

2- Phase lag

3- Phase lag-lead

می‌دهد. جبران ساز پس - پیش فاز اثرات هر دو جبران سازی پس و پیش فاز را با هم ترکیب می‌کند. بکارگیری جبران ساز پس فاز یا پیش فاز درجه دینامیکی سیستم را، در صورتیکه حذف صفر و قطب صورت نگیرد، یک درجه بالا می‌برد و در صورت عدم حذف صفر و قطب، جبران ساز پس - پیش فاز دو درجه به درجه دینامیکی سیستم اضافه می‌کند. این دو درجه افزایش در درجه دینامیکی، موجب پیچیده‌تر شدن سیستم می‌گردد و کنترل رفتار گذراي آن را مشکلتر می‌سازد.

جبران سازهای دیگری نیز وجود دارند که بعضاً در صنعت به کار گرفته می‌شوند، برای بررسی این جبران سازها به بخش کتابشناسی همین فصل مراجعه شود.

۱-۲-۶ جبران ساز پیش فاز

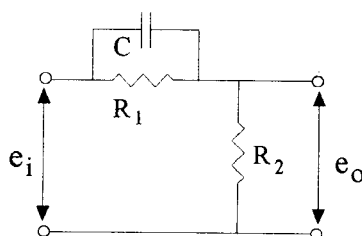
جبران ساز پیش فاز استاندارد دارای تابع تبدیل زیر است

$$G_c(s) = \alpha \frac{1+Ts}{1+\alpha Ts} \quad (1-2-6)$$

که در آن $\alpha < 1$ و T یک عدد حقیقی مثبت است. در بسیاری از مواقع، همراه با تابع تبدیل جبران ساز داده شده با معادله (۱-۲-۶)، یک بهره قابل تنظیم K نیز برای بهبود بخشنیدن به عملکرد جبران ساز بکار گرفته می‌شود. در این صورت تابع تبدیل جبران ساز عبارتست از

$$G_c(s) = K_c \alpha \frac{1+Ts}{1+\alpha Ts} \quad (2-2-6)$$

شکل ۱-۶ تحقق فیزیکی جبران ساز پیش فاز داده شده با معادله (۱-۲-۶) را به صورت یک مدار الکتریکی نشان می‌دهد (برای دیگر تحقیقات فیزیکی جبران ساز، به مسایل ۱-۶ و ۲-۶ مراجعه کنید) از شکل ۱-۶ داریم که تابع تبدیل بین خروجی (e_o) و ورودی (e_i) عبارتست از



- شکل ۱-۶ مدار پیش فاز الکتریکی

$$\frac{E_o(s)}{E_i(s)} = \frac{R_1}{R_1 + R_2} \cdot \frac{\frac{R_1 C s + 1}{R_1 R_2}}{\frac{R_1 + R_2}{R_1} C s + 1} \quad (3-2-6)$$

با تعریف

$$R_1 C = T, \quad \frac{R_1}{R_1 + R_2} = \alpha < 1$$

از معادله (3-2-6)، بدست می آوریم

$$\frac{E_o(s)}{E_i(s)} = \alpha \cdot \frac{1 + Ts}{1 + \alpha Ts}$$

که همانند معادله (1-2-6) می باشد.

مشخصه های جبران سازهای پیش فاز. تابع تبدیل جبران ساز پیش فاز را می توان از معادله (1-2-6) به صورت زیر نوشت

$$G_c(s) = \frac{s + \frac{1}{T}}{s + \frac{1}{\alpha T}} \quad (4-2-6)$$

بنابراین جبران ساز پیش فاز یک قطب در $s = -1/T$ و یک صفر در $s = -1/\alpha T$ دارد. از آنجاییکه $\alpha < 1$ می باشد، صفر جبران ساز همواره در سمت راست قطب آن ببروی محور حقیقی منفی در صفحه مختلط قرار دارد. برای مقدار کوچک α ، قطب جبران ساز در قسمت چپ صفحه مختلط بسیار دور از محور موهومی قرار می گیرد. حداقل مقدار α با تحقق فیزیکی جبران ساز پیش فاز محدود می شود.

تابع تبدیل پاسخ فرکانسی جبران ساز پیش فاز عبارتست از

$$G_c(j\omega) = K_c \alpha \frac{j\omega T + 1}{j\omega \alpha T + 1} \quad (0 < \alpha < 1) \quad (5-2-6)$$

نمودار بود جبران ساز پیش فاز برای $\alpha = 0$ و $\alpha = 1$ در شکل ۲-۶ نشان داده شده است. فرکانس های شکست برای جبران ساز پیش فاز عبارتند از $T = 1/\omega$ و $T = 1/(0.1\omega)$. از شکل ۲-۶ مشاهده می شود که جبران ساز پیش فاز یک فیلتر بالاگذرا است. به عبارت دیگر

فرکانس های بالا را عبور داده ولی فرکانس های پایین را تضعیف می کند. دقت کنید که این مشخصه برای پدیده نویز که عموماً دارای فرکانس های بالا می باشد، مناسب نیست. با توجه به قسمت فاز نمودار بود شکل ۲-۶، مشاهده می شود که حداکثر پیش فاز، زاویه ϕ_m در ω_r رخ می دهد که میانگین هندسی دو فرکانس شکست است، به عبارت دیگر

$$\log \omega_m = \frac{1}{2} \left(\log \frac{1}{T} + \log \frac{1}{\alpha T} \right)$$

واز اینزو

$$\omega_m = \frac{1}{\sqrt{\alpha T}} \quad (6-2-6)$$

نمودار نایکوئیست جبران ساز پیش فاز داده شده با معادله (۵-۲-۶) در شکل ۳-۶ نشان داده شده است. همانطور که در شکل ۳-۶ نشان داده شده است، حداکثر پیش فاز، زاویه ϕ_m زاویه بین مماسی است که از مبدأ به نمودار نایکوئیست (یک نیمدایره) رسم می شود. همچنین داریم که زاویه فاز در $\omega_m = 0$ ، عبارتست از

$$\sin \phi_m = \frac{\frac{1-\alpha}{2}}{\frac{1+\alpha}{2}} = \frac{1-\alpha}{1+\alpha} \quad (7-2-6)$$

از معادله (۷-۲-۶)، می توان حداکثر زاویه پیش فاز برای یک داده شده را محاسبه کرد. چارت نیکولز جبران ساز پیش فاز داده شده با معادله (۱-۲-۶)، برای $\alpha = 0$ و $K_c = 1$ نیز در شکل ۴-۶ رسم شده است.

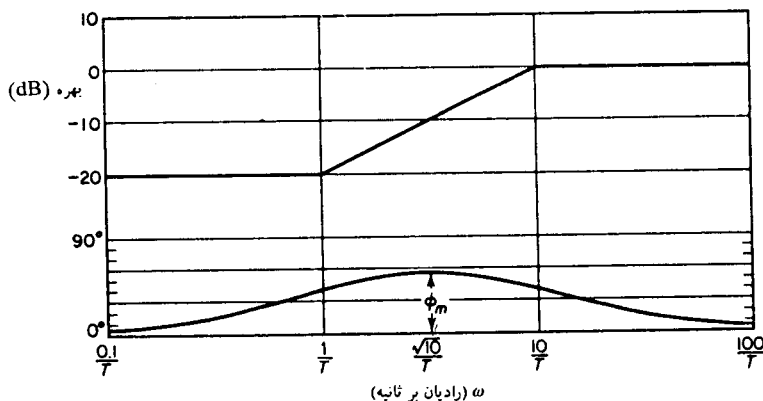
۲-۲-۶ جبران ساز پس فاز

جبران ساز پس فاز استاندارد، دارای تابع تبدیل زیر می باشد

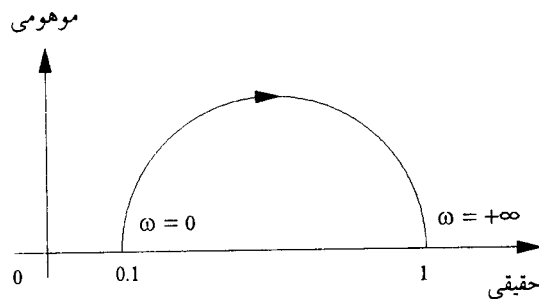
$$G_c(s) = \frac{1+Ts}{1+\beta Ts} \quad (8-2-6)$$

که در آن T یک عدد حقیقی مثبت است. همانند جبران ساز پیش فاز در اینجا نیز در بسیاری از موقعیت همراه با جبران ساز داده شده با معادله (۸-۲-۶)، یک بهره قابل تنظیم K_c برای بهبود عملکرد جبران ساز بکار گرفته می شود. در این صورت تابع تبدیل جبران ساز پس فاز عبارتست از

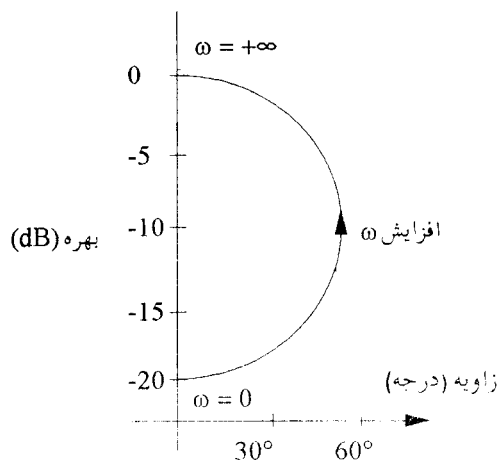
$$G_c(s) = K_c \frac{1+Ts}{1+\beta Ts}$$



شکل ۲-۶ نمودار بود جبران ساز پیش فاز معادله (۲-۲-۶) که در آن $K_c = 1$ و $\alpha = 0.1$



شکل ۳-۶ نمودار نایکوئیست جبران ساز پیش فاز معادله (۲-۲-۶) که در آن $K_c = 1$ و $\alpha = 0.1$

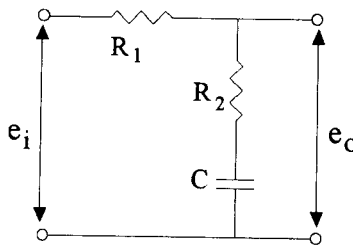


شکل ۴-۶ چارت نایکوئیست جبران ساز پیش فاز معادله (۲-۲-۶) که در آن $K_c = 1$ و $\alpha = 0.1$

$$= \frac{K_c}{\beta} \frac{s + 1/T}{s + 1/\beta T} \quad (9-2-6)$$

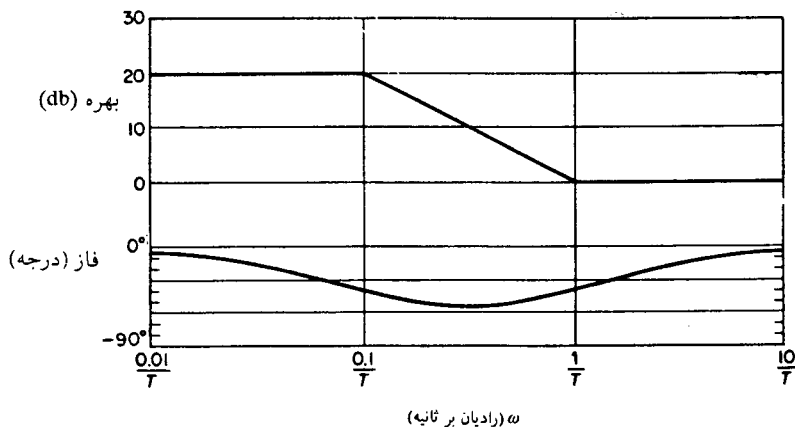
شکل ۵-۶ تحقق فیزیکی جبران ساز پس فاز داده شده با معادله (۸-۲-۶) را به صورت یک مدار الکتریکی نشان می‌دهد. (برای دیگر تحقیقات فیزیکی جبران ساز به مسایل ۱-۶ و ۲-۶ مراجعه کنید) با نوشتن تابع تبدیل مدار شکل ۵-۶ و مقایسه با معادله (۸-۲-۶)، بدست می‌آوریم

$$T = R_2 C, \quad \beta = \frac{R_1 + R_2}{R_2} \quad (\beta > 1/0)$$



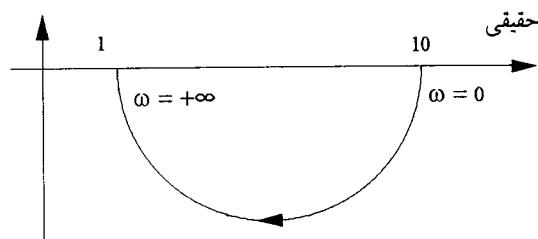
شکل ۵-۶ مدار پس فاز الکتریکی

مشخصه‌های جبران سازهای پس فاز، با توجه به معادله (۹-۲-۶) جبران ساز پس فاز یک قطب در $(1/\beta T) = -\omega$ و یک صفر در $1/T = -\omega$ دارد. از آنجاییکه $\beta > 1/0$ ، لذا قطب جبران ساز همواره در سمت راست صفر آن بر روی محور حقیقی منفی در صفحه مختلط قرار دارد. برای مقادیر بزرگ β قطب جبران ساز به مبدأ صفحه مختلط نزدیکتر خواهد شد. نمودار بود جبران ساز پس فاز برای $K_c = 10$ در شکل ۶-۶ نشان داده شده است. فرکانس‌های شکست برای جبران ساز پس فاز ذر $1/T = \omega$ و $1/(1/\beta T) = \omega$ قرار دارند. همانطور که از شکل ۶-۶ مشاهده می‌شود، جبران ساز پس فاز به صورت یک فیلتر پایین گذر^۱ عمل می‌کند. دقت کنید که دامنه جبران ساز پس فاز در فرکانس‌های پایین برابر 10 یا 20 dB یا بالا یک dB است. نمودار نایکوئیست و چارت نیکولز جبران ساز پس فاز نیز به ترتیب در شکل‌های ۷-۶ و ۸-۶ رسم شده‌اند.

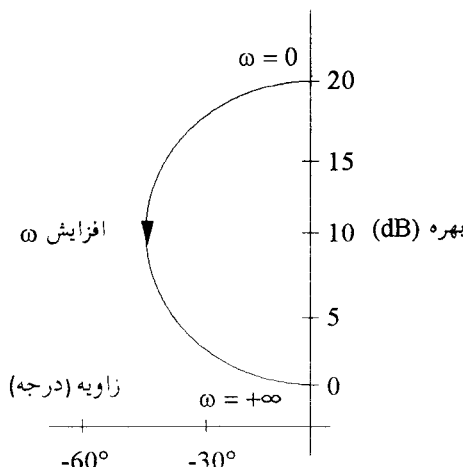


- شکل ۶-۶ نمودار بود جبران ساز پس فاز معادله (۶-۲-۶)، که در آن $1 = K_c$ و $\beta = ۱$ -

موهومی



شکل ۷-۶ نمودار نایکوئیست جبران ساز پس فاز معادله (۶-۲-۶) که در آن $1 = K_c$ و $\beta = ۱$ -



شکل ۸-۶ چارت نیکولز جبران ساز پس فاز معادله (۶-۲-۶) که در آن $1 = K_c$ و $\beta = ۱$ -

۳-۲-۶ جبران ساز پس - پیش فاز

برای آنکه از مزیت هر دو جبران ساز پس فاز در بالا بردن دقت حالت - ماندگار و پیش فاز در سرعت بخشیدن به پاسخ سیستم و کاهش فراجهش حداقل استفاده کنیم، این دو جبران ساز با هم ترکیب شده و جبران ساز پس - پیش فاز را بوجود می آورند.تابع تبدیل جبران ساز پس - پیش فاز عبارتست از

$$G_c(s) = K_c \beta \alpha \frac{(1+T_1 s)(1+T_2 s)}{(1+\alpha T_1 s)(1+\beta T_2 s)} \quad (10-2-6)$$

که در آن $\alpha > 1$ ، $\beta < 1$ و T_1 و T_2 ثابت‌های مثبت و K_c یک بهره قابل تنظیم است. در بسیاری از موقعیت β برابر با $1/\alpha$ انتخاب می شود. شکل ۹-۶ تحقق فیزیکی این جبران ساز را به صورت یک مدار الکتریکی نشان می دهد. (برای دیگر تحقیقات فیزیکی جبران ساز به مسائل ۴-۳ و ۴-۶ مراجعه کنید). از شکل ۹-۶ تابع تبدیل مدار نشان داده شده عبارتست از

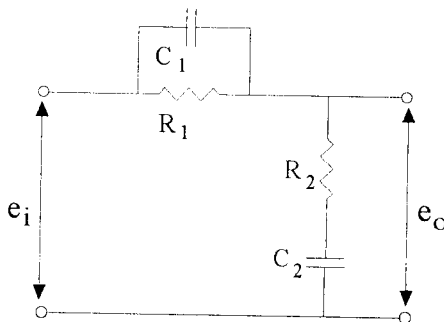
$$\frac{E_o(s)}{E_i(s)} = \frac{(R_1 C_1 s + 1)(R_2 C_2 s + 1)}{(R_1 C_1 s + 1)(R_2 C_2 s + 1) + R_1 C_2 s} \quad (11-2-6)$$

با تعریف

$$T_1 = R_1 C_1, \quad T_2 = R_2 C_2, \quad R_1 C_1 + R_2 C_2 + R_1 C_2 = \frac{T_1}{\beta} + \beta T_2 \quad (\beta > 1)$$

داریم

$$\frac{E_o(s)}{E_i(s)} = \frac{(T_1 s + 1)(T_2 s + 1)}{\left(\frac{T_1}{\beta} s + 1\right)(\beta T_2 s + 1)} \quad (12-2-6)$$



شکل ۹-۶ مدار پس - پیش فاز الکتریکی

معادله (۱۰-۲-۶)، همان معادله (۱۰-۲-۶) است با $\alpha = \beta = 1$ و $K_c = 1$. مشخصه‌های جبران سازهای پس - پیش فاز، تابع تبدیل جبران ساز پس - پیش فاز را می‌توان از معادله (۱۰-۲-۶) به صورت زیر نوشت

$$G_c(s) = K_c \left(\frac{s + 1/T_1}{s + 1/\alpha T_1} \right) \left(\frac{s + 1/T_2}{s + 1/\beta T_2} \right) \quad (13-2-6)$$

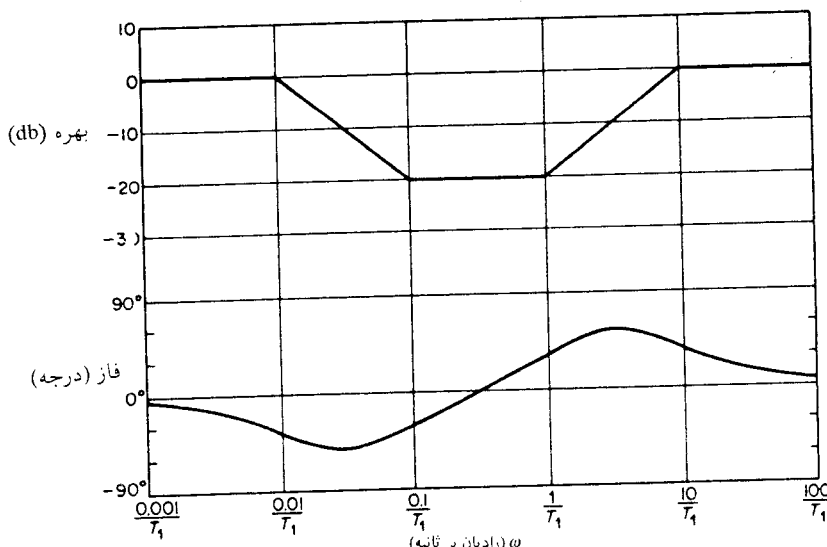
که در آن $\alpha < 1$ و $\beta > 1$. عبارت

$$\frac{s + 1/T_1}{s + 1/\alpha T_1} = \alpha \left(\frac{T_1 s + 1}{\alpha T_1 s + 1} \right) \quad (\alpha < 1)$$

اثر یک جبران ساز پیش فاز و عبارت

$$\frac{s + 1/T_2}{s + 1/\beta T_2} = \beta \left(\frac{\beta T_2 s + 1}{T_2 s + 1} \right) \quad (\beta > 1)$$

اثر یک جبران ساز پس فاز را دارد. نمودار بود جبران ساز پس - پیش فاز، برای $K_c = 1$ ، $T_2 = 10 T_1$ و $\alpha = \beta = 10$ در شکل ۱۰-۶ نشان داده شده است. توجه کنید که منحنی دامنه



شکل ۱۰-۶ نمودار بود جبران ساز پس - پیش فاز معادله (۱۰-۲-۶) برای $K_c = 1$ و $T_2 = 10 T_1$ و $\frac{1}{\alpha} = \beta = 10$

جبران ساز در فرکانس های پایین و بالا مقدار dB را اختیار می کند. اگر فرکانسی را که در آن زاویه فاز 0° است با ω نشان دهیم، همانطور که در شکل ۱۰-۶ نشان داده شده است، داریم

$$\log \omega_1 = \frac{1}{2} \left[\log \frac{\omega}{T_1} + \log \frac{1}{T_1} \right]$$

$$= \log \sqrt{\frac{\omega}{T_1}}$$

و لذا

$$\omega_1 = \frac{\sqrt{\omega}}{T_1}$$

نمودار بود شکل ۱۰-۶، بین فرکانس های ω و ∞ ، به ترتیب همانند نمودار بود جبران ساز پس فاز و پیش فاز عمل می کند.

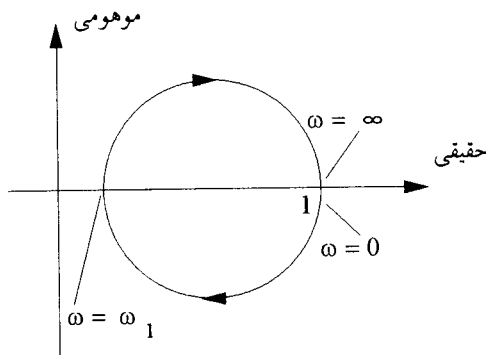
شکل های ۱۱-۶ و ۱۲-۶ به ترتیب نمودار های نایکوئیست و چارت نیکولز تابع تبدیل جبران ساز پس - پیش فاز را نشان می دهند. همانطور که در شکل ۱۱-۶ نیز نشان داده شده است، زاویه فاز جبران ساز پس - پیش فاز در ω صفر می شود. نمودار نایکوئیست نیز بین فرکانس های ω و ∞ به ترتیب همانند نمودار های نایکوئیست جبران ساز پس فاز و پیش فاز عمل می کند.

۴-۲-۶ کنترل کننده های PD، PI و PID

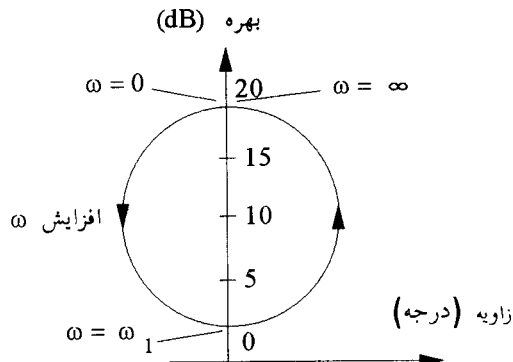
کنترل کننده PD. اگر در جبران ساز پیش فاز α را برابر صفر قرار دهیم (حالت ایده آل)، کنترل کننده تناسبی مشتقی^۱ یا PD را خواهیم داشت. تابع تبدیل کنترل کننده PD عبارتست از

$$G_c(s) = K_p + K_D s \quad (14-2-6)$$

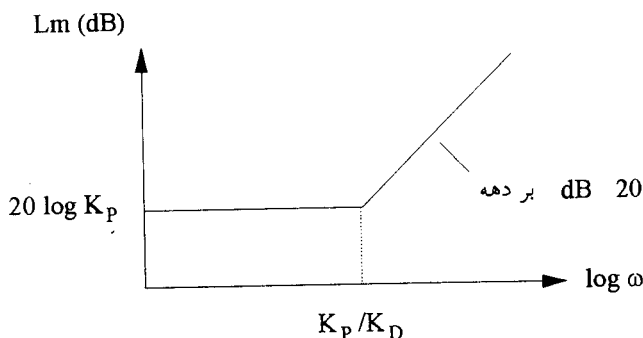
که در آن K_p و K_D را به ترتیب، بهره های تناسبی و مشتقی می نامند. نمودار بود این کنترل کننده در شکل ۱۳-۶ نشان داده شده است. فرکانس شکست نمودار در $\omega = K_p/K_D$ قرار دارد. مقدار بهره K_p تا حدی تعیین کننده رفتار حالت ماندگار است و از آن برای بهبود رفتار



شکل ۱۱-۶ نمودار نایکرثیست جبران ساز پس - بیش فاز معادله (۱۰-۲-۶) برای $\frac{1}{\alpha} = \beta = 10$ و $K_c = 1$ برای $\omega = \omega_1$



شکل ۱۲-۶ چارت نیکولو جبران ساز پس - بیش فاز معادله (۱۰-۲-۶) برای $\frac{1}{\alpha} = \beta = 10$ و $K_c = 1$ برای $\omega = \omega_1$



شکل ۱۳-۶ نمودار بودکنترل کننده PD

حالت - ماندگار استفاده می کنند. کنترل کننده PD حاشیه فاز را افزایش می دهد و لذا می تواند پایداری سیستم را بهبود ببخشد. لیکن دامنه آن بعد از فرکانس K_p/K_D روند افزایشی داشته که باعث تشدید نویزهای فرکانس بالا می گردد (کنترل کننده PD به صورت یک فیلتر بالاگذر عمل می کند). با توجه به اینکه جبران ساز پیش فاز نیز به اندازه کافی پیش فاز فراهم می کند و حاشیه فاز را افزایش می دهد ولی برای محدوده فرکانس بالا دارای دامنه بسیار کوچکتری نسبت به کنترل کننده PD است، لذا جبران ساز پیش فاز بر کنترل کننده PD ترجیح داده می شود. کنترل کننده PD همانند جبران ساز پیش فاز رفتار گذراي پاسخ را بهبود می بخشد. با توجه به اینکه PD یک مشتق‌گیر خالص است، لذا تحقق آن با عناصر RLC غیرفعال امکان‌پذیر نمی باشد.

زاویه فاز کنترل کننده PD برابر است با $\phi = \tan^{-1} \frac{\omega K_D}{K_p}$ ، که از 0 تا 90° تغییر پیدا می کند و همواره مثبت است.

کنترل کننده PI. با قرار دادن $\infty \rightarrow \beta$ در جبران ساز پس فاز، این جبران ساز به سمت جبران ساز ایده‌آل تناسبی - انتگرال^۱ یا PI میل خواهد کرد.تابع تبدیل کنترل کننده PI عبارتست از

$$G_c(s) = K_p + K_I/s \quad (15-2-6)$$

که در آن K_p و K_I به ترتیب بهره‌های تناسبی و انتگرال کنترل کننده می باشند. کنترل کننده PI یک صفر در $s=0$ و یک قطب در $s=-K_I/K_p$ دارد. نمودار لگاریتم دامنه کنترل کننده PI در شکل ۱۴-۶ رسم شده است. بهره کنترل کننده PI در فرکانس صفر بی نهایت است، و این مشخصه‌های حالت - ماندگار را بهبود می بخشد. از طرف دیگر، کنترل کننده PI نوع سیستم جبران شده را یکی افزایش می دهد و لذا سیستم را به طرف ناپایداری سوق می دهد و حاشیه پایداری را کم می کند. بنابراین در انتخاب ضرایب K_p و K_I باید دقت کرد که پاسخ گذراي سیستم مناسب باشد. کنترل کننده PI نیز همانطور که در شکل ۱۴-۶ آمده است، یک فیلتر پایین گذرا است و لذا فرکانس‌های بالا را تضعیف می کند و موجب کند شدن پاسخ گذرا می گردد. بهره کنترل کننده PI برای فرکانس‌های پایین بسیار بزرگ و برای فرکانس‌های بالا

مقدار ثابت $20 \log K_p$ می‌باشد. زاویه فاز یک کنترل کننده PI عبارتست از

$$\angle G_c(j\omega) = \tan^{-1} \frac{\omega K_p}{K_I} - 90^\circ \quad (16-2-6)$$

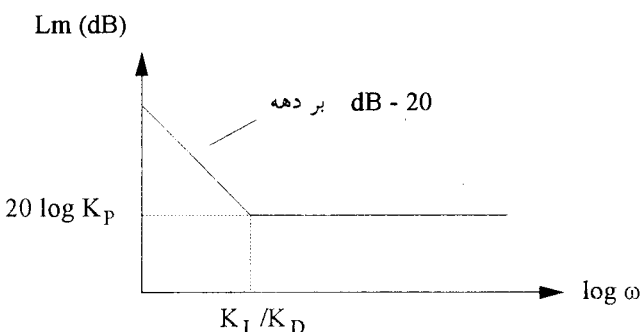
این زاویه فاز از -90° برای فرکانس ω شروع می‌شود و تا 0° برای فرکانس‌های بالا $\omega \rightarrow \infty$ تغییر پیدامی‌کند و لذا همواره منفی است.

کنترل کننده PID، کنترل کننده PD برای سود جستن از مزایای یک کنترل کننده PI و PD طراحی شده است. می‌توان گفت که هیچ کنترل کننده‌ای در صنعت به اندازه کنترل کننده PID مورد استفاده قرار نگرفته است.تابع تبدیل کننده PID عبارتست از

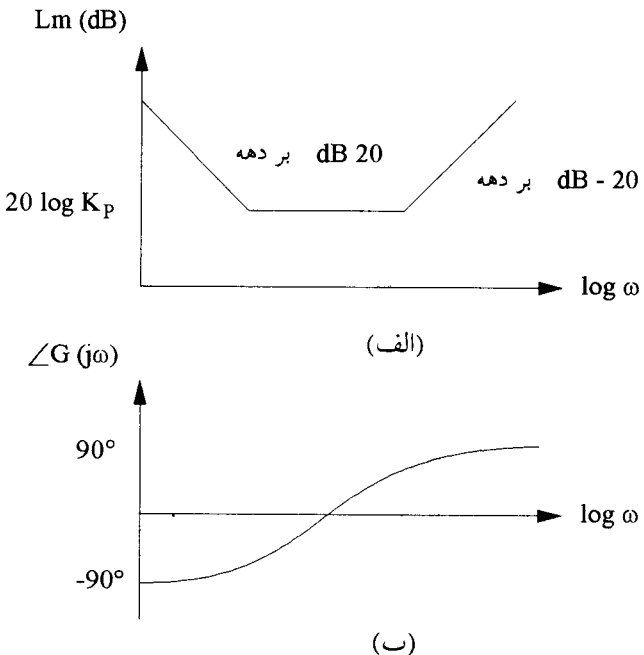
$$G_c(s) = K_p + K_I/s + K_D s \quad (17-2-6)$$

که در آن K_p بهره تناسبی، K_I بهره انگرال و K_D بهره مشتقی است. تحقق فیزیکی این کنترل کننده توسط یک مدار الکتریکی امکان‌پذیر است. شکل ۱۵-۶ نمودار بود کنترل کننده PID را نشان می‌دهد. همانطور که مشخص است کنترل کننده PID یک کنترل کننده پس-پیش فاز است و همانند یک جبران ساز پس-پیش فاز باید در تنظیم پارامترهای کنترل کننده دقت کرد و افزایش بیش از اندازه آنها ممکن است به ناپایداری سیستم حلقه-بسته منجر گردد.

تنظیم پارامترهای کنترل کننده‌های PID. مهم‌ترین مسئله در استفاده بهینه از کنترل کننده‌های PID، تنظیم مناسب پارامترهای آنها K_p ، K_I و K_D است. روش‌های مختلفی برای



شکل ۱۴-۶ نمودار لگاریتم دامنه کنترل کننده PI



شکل ۱۵-۶ نمودار بود یک کنترل کننده PID . (الف) منحنی دامنه (ب) منحنی فاز

تنظیم این پارامترها پیشنهاد شده است. قواعد زیگلر و نیکولز^۱ از جمله این روشها هستند. در این کتاب به ارایه و بررسی این روشها نمی‌پردازیم. لیکن خواننده می‌تواند با مراجعه به بخش کتابشناسی همین فصل، با مراجعه به متابع داده شده، از روش‌های کلاسیک زیگلر و نیکولز تا کاربرد سیستم‌های هوشمند^۲ را ملاحظه و بررسی نماید.

۳-۶ طراحی جبران سازها با استفاده از مکان ریشه

در فصل چهارم، با نحوه ترسیم مکان ریشه آشنا شدیم. نمودارهای مکان ریشه رابطه بین بهره سیستم و پاسخ زمانی آن را نشان می‌دهند (محل قطب‌های حلقه - بسته). در واقع هنگامیکه مشخصه‌های عملکرد مطلوب سیستمی بر حسب کمیتهای حوزه زمانی، مانند مقدار فرآجेश حداقل، زمان ستیغ، زمان استقرار، نسبت میرایی و فرکانس طبیعی غیر میرای

قطبهای غالب حلقه - بسته، ثابت زمانی و خطاهای حالت - ماندگار بیان شده باشد، مکان ریشه روش بسیار مؤثر و قوی برای جبران کردن سیستم حلقه - باز و رسیدن به مشخصه های عملکرد تعیین شده در سیستم حلقه - بسته است.

اگر سیستمی به ازاء کلیه مقادیر بهره K ناپایدار باشد و یا اینکه به ازاء کلیه مقادیر بهره K ، پاسخ آن مشخصه های نامطلوبی داشته باشد، بدینه است که با تغییر K به تنهایی نمی توان به مشخصه های مطلوب عملکرد دست پیدا کرد. در این صورت باید با تغییر شکل دادن نمودار مکان ریشه سیستم توسط جبران سازهای مناسب، به مشخصه های عملکرد مطلوب تعیین شده رسید.

به طور کلی، یکی از موارد زیر می تواند دلیل مناسبی برای تغییر مکان ریشه سیستم توسط طراح باشد:

۱- سیستم داده شده به ازاء کلیه بهره ها ناپایدار است، برای پایدار سازی باید مکان ریشه به گونه ای تغییر شکل داده شود تا قسمتی از هر کدام از شاخه ها در سمت چپ صفحه ۵ قرار گیرند و سیستم پایدار گردد.

۲- سیستم داده شده پایدار است، لیکن پاسخ گذرای آن مطلوب نیست. در این حالت می توان مکان ریشه را به گونه ای تغییر داد که دورتر از محور موهومی، به سمت چپ در صفحه ۵ انتقال داده شود.

۳- سیستم داده شده پایدار است، پاسخ گذرای آن نیز مناسب می باشد، لیکن خطای حالت ماندگار بسیار بزرگی دارد. در این حالت باید با افزایش بهره، خطای حالت - ماندگار را کاهش داد. توجه کنید که افزایش بهره باید بدون کاهش پایداری سیستم به مقدار قابل ملاحظه ای صورت گیرد.

۴- سیستم داده شده پایدار است، لیکن پاسخ گذرا و خطای حالت - ماندگار آن مناسب نمی باشند. در این حالت باید ضمن انتقال مکان ریشه به سمت چپ در صفحه ۵، بهره سیستم را نیز افزایش داد.

قبل از آنکه به تشریح طراحی با جبران سازهای دینامیکی بپردازیم، با یک مثال نشان خواهیم داد که در برخی از موارد، رسیدن به عملکرد تعیین شده سیستم حلقه - بسته توسط تغییر بهره حلقه - باز K به تنهایی امکان پذیر است. بدینه است که اگر بتوان به اهداف طراحی با یک آمپلی فایر ساده و تغییر بهره دست پیدا کرد، طراحی جبران سازهای دینامیکی که موجب پیچیده تر شدن سیستم می گردد، لزومی نخواهد داشت.

مثال ۱-۶

تابع تبدیل حلقه - باز سیستمی عبارتست از

$$G(s) = \frac{K}{s(s+5)}$$

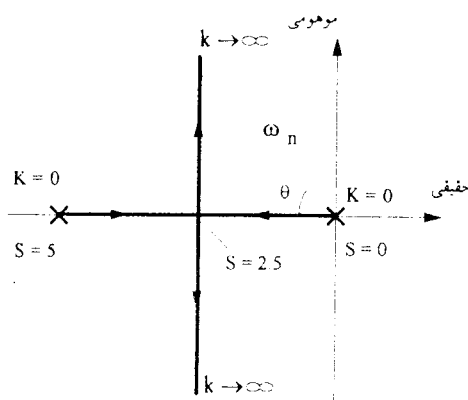
مطلوب است که سیستم حلقه - بسته در پاسخ به ورودی شیب واحد بیش از ۳۳٪ خطای حالت - ماندگار نداشته و در پاسخ به ورودی پله فراجهش حداکثر خروجی سیستم بیش از ۱۰٪ نباشد. مکان ریشه تابع تبدیل در شکل ۱۶-۶ رسم شده است. از مقایسه تابع تبدیل سیستم حلقه - بسته با تابع تبدیل استاندارد مرتبه دوم داریم $\omega_n = 5$ و $K = 25\omega_n = 125$

$$\frac{C(s)}{R(s)} = \frac{K}{s^2 + 2\xi\omega_n s + \omega_n^2}$$

برای آنکه سیستم درجه دوم حلقه - بسته، در پاسخ به ورودی پله واحد حداکثر ۱۰٪ فرا جهش داشته باشد، از شکل ۱۶-۳ داریم $K < 167$. توجه کنید که دو ریشه حلقه - بسته با توجه به شکل ۱۶-۶، عبارتند از، $s = -2/5 \pm j\beta$ ، که در آن $\beta = -2/\omega_n = -2/5$ و همچنین $\omega_n \cos\theta = 2/5$ از آنجاییکه $\omega_n = 5$ ، داریم که $\theta = \cos^{-1}(2/5) = 53.1^\circ$. لذا برای $\theta = 53.1^\circ$ بدست می‌آوریم

$$\theta = 53.1^\circ, \omega_n = 5, \beta = 3/33, K = 17/36$$

برای هر $0 < K < 17/36$ و $0 < \omega_n < 5$ ، $K < 17/36$ بنا برای K در محدوده $0 < K < 17/36$ حداکثر فراجهش تا ۱۰٪ پله واحد خواهد بود.



شکل ۱۶-۶ نمودار مکان ریشه تابع تبدیل مثال ۱-۶

برای برآورده کردن دومین مشخصه عملکرد، حداکثر خطای حالت - ماندگار به ورودی شبیب واحد ۰.۳۳٪، نخست داریم که خطای حالت - ماندگار به ورودی شبیب واحد عبارتست از $K_r = \lim_{s \rightarrow 0} sG(s) = K/5$ (بخش ۳-۶)، که در آن $K_r = K/5 > ۳$ ، $K > ۱۵$ ٪ است. از اینرو، می‌توان یک بهره حلقه - باز K را چنان انتخاب کرد تا هر دو شرط طراحی را برآورده سازد. به عبارت دیگر با انتخاب بهره $K < ۱۷/۳۶$ می‌توان شرایط فراجهش حداکثر در پاسخ به ورودی پله واحد و دقت خطای حالت - ماندگار به ورودی شبیب واحد را برآورده ساخت.

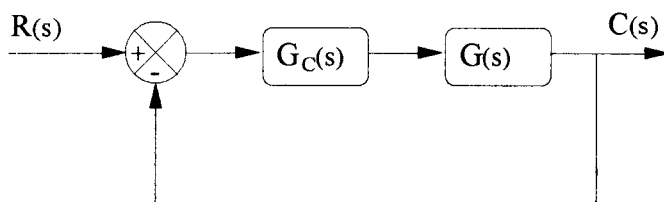
توجه کنید که اگر بخواهیم دقت پاسخ سیستم به ورودی شبیب واحد را بالا ببریم و برای مثال حداکثر ۰.۵٪ خطای حالت - ماندگار مجاز باشد، خواهیم داشت $K_r = K/5 < ۲۰$.

بدیهی است که در این حالت برآورده ساختن همزمان $K < ۱۷/۳۶$ و $K < ۲۰$ امکان پذیر نیست. در این چنین حالتی با تغییر بهره حلقه - باز K به تنها یک، نمی‌توان به مشخصه‌های طراحی دست پیدا کرد و بکارگیری جبران سازهای دینامیکی الزامی است.

۱-۳-۶ طراحی جبران سازهای پیش فاز با استفاده از مکان ریشه
اگر سیستم حلقه - باز به ازاء کلیه مقادیر بهره ناپایدار باشد و یا اینکه پایدار باشد لیکن مشخصه‌های پاسخ گذرای آن نامطلوب باشند، در هر دو حالت جبران ساز پیش فاز برای جبران سری سیستم حلقه - بسته و بدست آوردن پایداری و یا مشخصه‌های مطلوب پاسخ گذرا مناسب است.

مراحل طراحی یک جبران ساز پیش فاز برای سیستم نشان داده شده در شکل ۱۷-۶، توسط مکان ریشه را می‌توان به صورت خلاصه زیر بیان کرد:

- ۱- با استفاده از روابط داده شده در بخش ۴-۴، از مشخصات عملکرد داده شده موقعیت قطب‌های غالب حلقه - بسته را تعیین کنید.



شکل ۱۷-۶ سیستم کنترل

۲- نمودار مکان ریشه سیستم حلقه - باز را رسم کنید. با استفاده از نمودار مکان ریشه،

تعیین کنید که آیا با تنظیم بهره حلقه - باز به تنها بی می توان به موقعیت قطبها حلقه

- بسته رسید یا خیر. در صورتیکه تنظیم بهره به تنها بی کافی نیست، نقص زاویه ϕ

ϕ را محاسبه کنید. برای تعیین نقص زاویه، نخست مجموع زوایای یکی از قطبها

غالب حلقه - بسته مطلوب (قطبها) که باید معادله مشخصه سیستم حلقه - بسته

مطلوب را تشکیل دهنده)، با قطبها و صفرهای حلقه - باز سیستم اصلی را بدست

آورید. از شرط زاویه داریم، برای آنکه قطب غالب حلقه - بسته مطلوب بروی مکان

ریشه سیستم قرار گیرد، باید مجموع زوایا با قطبها و صفرهای حلقه - باز سیستم

اصلی $(2k+1)\pm 180^\circ$ باشد. نقص زاویه ϕ زاویه لازمی است که باید با مجموع

بدست آمده جمع گردد تا حاصل جمع برابر با $(2k+1)\pm 180^\circ$ شود. این زاویه

توسط جبران ساز پیش فاز فراهم آورده می شود.

۳- تابع تبدیل جبران ساز پیش فاز عبارتست از

$$G_C(s) = K_C \alpha \frac{Ts + 1}{\alpha Ts + 1} = K_C \frac{s + 1/T}{s + 1/\alpha T} \quad (0 < \alpha < 1) \quad (1-3-6)$$

که در آن α و T از نقص زاویه تعیین می گردند. توجه کنید که مقادیر مناسب α و T

جهت فراهم کردن نقص زاویه منحصر بفرد نمی باشند. بهره K_C از شرط دامنه تعیین

می گردد. به عبارت دیگر، از شرط دامنه داریم

$$\left| K_C \frac{s + 1/T}{s + 1/\alpha T} G(s) \right| = 1 \quad (2-3-6)$$

$s =$ نقطه مصرب

لذا با جایگزینی قطب غالب حلقه - بسته، مقدار مناسب بهره K_C بدست خواهد آمد.

۴- دقت کنید که اگر مقدار خاصی برای ثابت خطای استاتیکی تعیین شده باشد، معمولاً

استفاده از روش‌های پاسخ فرکانسی ساده‌تر خواهد بود. در صورتیکه ثابت‌های خطای

استاتیکی مشخص نشده باشند، موقعیت قطب و صفر جبران ساز به گونه‌ای تعیین

می شوند که زاویه لازم ϕ را بدست دهنده. اگر مشخصه دیگری برای عملکرد در نظر

گرفته نشده باشد، مطلوب است که مقدار « حتی الامکان بزرگ باشد. یک مقدار بزرگتر » عموماً مقدار بزرگتری از K را می‌دهد.

پس از طراحی جبران ساز باید با شبیه‌سازی کامپیوتروی یا انجام محاسبات مناسب، از برآورده شدن کلیه مشخصه‌های عملکرد اطمینان حاصل شود. در صورتیکه سیستم جبران شده مشخصه‌های عملکرد را برآورده نسازد، مراحل طراحی باید با تنظیم قطب و صفر جبران ساز دوباره تکرار شوند تا نتیجه مناسب بدست آورده شود. اگر یک ثابت خطای استاتیک بزرگ مورد نظر باشد، می‌توان از یک جبران ساز سری پس فاز یا تغییر جبران ساز به یک جبران ساز پس - پیش فاز استفاده کرد.

مثال ۲-۶

سیستم نشان داده شده در شکل ۱۷-۶ را در نظر بگیرید.تابع تبدیل سیستم حلقه - باز عبارتست از

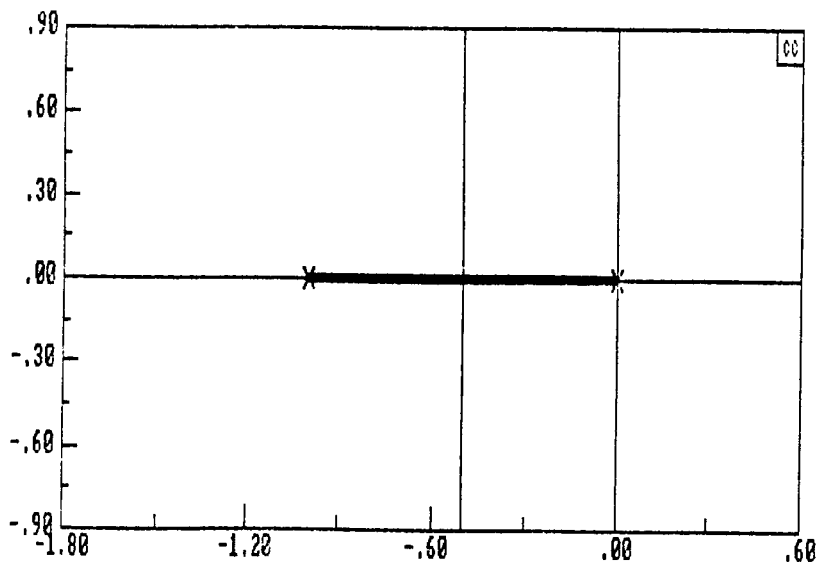
$$G(s) = \frac{0/2}{s(s+1)}$$

تابع تبدیل سیستم حلقه - بسته (بدون جبران ساز) عبارتست از

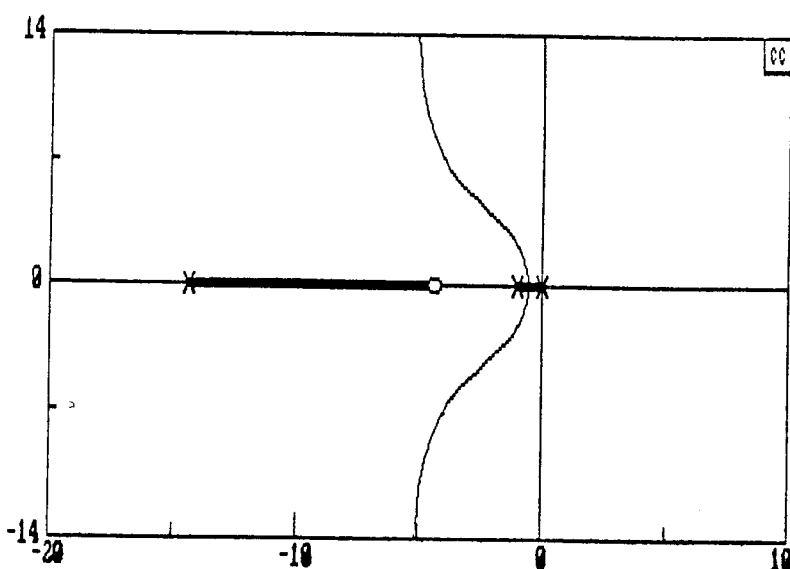
$$\frac{C(s)}{R(s)} = \frac{0/2}{s^2 + s + 0/2}$$

قطبهای حلقه - بسته سیستم در $0/0 = ۷۲۳۶$ و $0/0 = ۲۷۶۴$ - قرار دارند. مکان ریشه سیستم جبران نشده نیز در شکل ۱۸-۶ رسم شده است. با توجه به موقعیت قطبهای حلقه - بسته و نمودار مکان ریشه، بدینهی است که پاسخ سیستم بسیار کند است. پاسخ زمانی سیستم برای ورودی پله واحد در شکل ۲۰-۶ رسم شده است. همانطور که از شکل ۲۰-۶ مشاهده می‌شود، پاسخ سیستم پس از گذشت 10 ثانیه به پله واحد نرسیده است. از شکل ۱۸-۶ داریم که با افزایش بهره به تنها بی نمی‌توان تغییر اساسی در رفتار سیستم حلقه - بسته ایجاد کرد. برای سرعت بخشیدن به پاسخ (بهبود رفتار پاسخ حالت گذراتی سیستم حلقه - بسته)، مشخصه‌های عملکرد زیر را برای رفتار حلقه - بسته پاسخ تعیین می‌کنیم

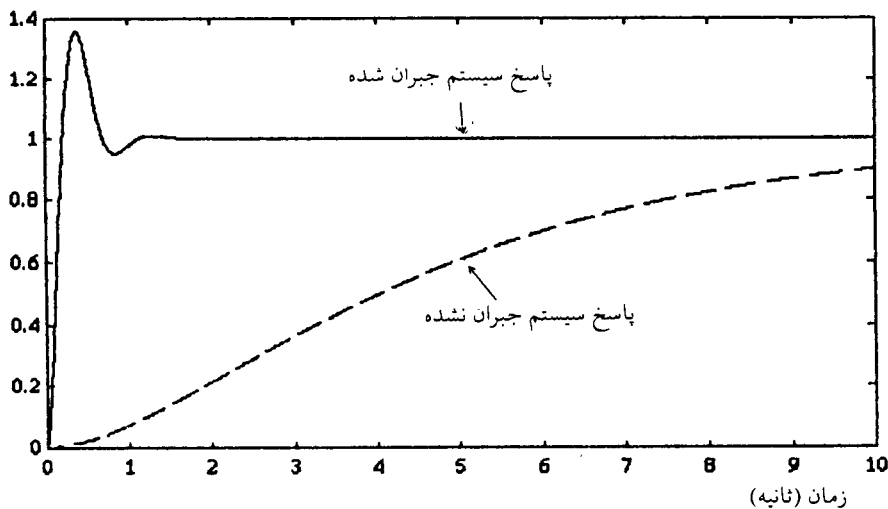
$$1 \leq \zeta < 5, (\text{ثانیه})$$



شکل ۱۸-۶ مکان ریشه سیستم جبران نشده مثال ۲-۶ .



شکل ۱۹-۶ مکان ریشه سیستم جبران شده



شکل ۲۰-۶ پاسخ سیستم‌های جبران شده و جبران نشده مثال ۲-۶ به ورودی پله.

قطبهای سیستم حلقه - بسته، برای برآورده ساختن این مشخصه‌های عملکرد عبارتند از $-4 \pm j6/93$. برای تغییر مسیر نمودار مکان ریشه به گونه‌ای که از این قطبهای عبور کند، جبران ساز پیش فازی طراحی خواهیم نمود. (دقت کنید که در این مثال با افزایش بهره به تنها یکی، نمودار ریشه از این قطبهای عبور نخواهد کرد). برای تعیین جبران ساز پیش فاز، زاویه لازم ϕ جهت افزودن به مجموع زوایای قطبهای صفرهای حلقه - باز با یکی از قطبهای غالب حلقه - بسته مطلوب را پیدا می‌کنیم. مجموع این زوایا و زاویه ϕ باید $(1+2k)\pi \pm 180^\circ$ باشد. در سیستم فعلی، زاویه $G(s)$ در قطب حلقه - بسته مطلوب عبارتست از

$$\left. \frac{1}{s(s+1)} \right|_{s=-4 \pm j6/93} = 126/6^\circ$$

از این‌رو، جبران ساز پیش فاز باید زاویه $53/4^\circ$ را در این نقطه فراهم آورد. موقعیت قطب و صفری که این زاویه را فراهم آورند، منحصر بفرد نیست. یک جبران ساز مناسب (که با سعی و خطا بدست آمده است) عبارتست از

$$G_c(s) = \frac{K_c(s+4/4)}{s+14/54}$$

تابع تبدیل حلقه - باز سیستم جبران شده عبارتست از

$$G_c(s)G(s) = \frac{K_c(s+4/4)}{(s+14/54)} \cdot \frac{+/-}{s(s+1)}$$

با استفاده از شرط دامنه ($|G_c(s)G(s)|$) در قطب مورد نظر باید یک باشد، بهره K_c برابر با ۵۵۰ بدست خواهد آمد. مکان ریشه سیستم جبران شده در شکل ۱۹-۶ رسم شده است. همانطور پاسخ زمانی سیستم حلقه - بسته نیز به ورودی پله در شکل ۲۰-۶ رسم شده است. همانطور که در شکل ۲۰-۶ مشاهده می شود، سیستم حلقه - بسته مشخصه های عملکرد مورد نظر را برآورده می سازد.

۲-۳-۶ طراحی جبران سازهای پس فاز با استفاده از مکان ریشه

در موقعیکه مشخصه های پاسخ گذرای سیستم مناسب است ولی پاسخ حالت دائم آن مطلوب نیست، از جبران ساز پس فاز استفاده می کنیم. در این حالت، جبران سازی با افزایش بهره حلقه - باز بدون تغییر قابل توجهی در مشخصه پاسخ گذرا انجام می گیرد. لذا مکان ریشه در نزدیکی قطب های غالب حلقه - بسته نباید زیاد تغییری پیدا کند. لیکن بهره حلقه - باز باید حتی الامکان تا مقداری که مورد نیاز است افزایش یابد. این جبران سازی با اعمال یک جبران ساز پس فاز سری با تابع تبدیل حلقه - باز بدست می آید.

برای آنکه تغییر شکل قابل توجهی در نمودار مکان ریشه رخ ندهد، سهم زاویه جبران ساز پس فاز باید مقدار کوچکی مانند 5° باشد. از اینرو قطب و صفر جبران ساز پس فاز را نزدیک هم و نزدیک مبداء صفحه ω قرار می دهیم. در این صورت قطب های حلقه - بسته سیستم جبران شده، تنها به مقدار کمی از موقعیتهای اصلی خود حرکت خواهند کرد و مشخصه های پاسخ گذرا تغییر محسوسی نخواهند کرد.

تابع تبدیل جبران ساز پس فاز عبارتست از

$$G_c(s) = K_c \beta \frac{\frac{T s + 1}{\beta}}{\frac{T s + 1}{\beta} + 1} = K_c \frac{s + 1/T}{s + 1/(\beta T)} \quad (3-3-6)$$

اگر فقط و صفر جبران ساز داده شده با معادله (۳-۳-۶) را بسیار نزدیک هم قرار دهیم، آنگاه در $s = s_1$ که در آن s_1 یکی از قطب های غالب حلقه - بسته است، اندازه های $(1/T) + \beta$ و

$\approx K_c + 1/(\beta T)$ تقریباً یکسان هستند. لذا از معادله (۳-۳-۶)، داریم

$$|G_c(s)| = \left| K_c \frac{s_1 + 1/T}{s_1 + 1/(\beta T)} \right| \approx K_c$$

بنابراین اگر بهره K_c را برابر یک انتخاب کنیم، مشخصه‌های پاسخ گذار تغییر نخواهند کرد و بهره کلی سیستم حلقه - باز با عامل β ، که در آن $\beta > 1$ ، افزایش خواهد یافت. اگر قطب و صفر جبران ساز نزدیک مبداء قرار داده شوند، آنگاه مقدار β را می‌توان بزرگ کرد و مقدار T نیز باید بزرگ انتخاب شود، ولی مقدار دقیق آن چندان مهم نیست. در هر حال مقادیر T و β باید به گونه‌ای انتخاب شوند که تحقق فیزیکی جبران ساز امکان پذیر باشد یک گستره مناسب برای مقدار β می‌تواند $15 < \beta < 1$ باشد و مقادیر β و T بر حسب مورد و سیستم تحت کنترل، با معنی و خطأ بدست آورده می‌شوند.

دقیت کنید که افزایش بهره باعث کاهش خطای حالت - ماندگار و به عبارت دیگر افزایش ثابت‌های خطای استاتیکی می‌شود. برای سیستم جبران نشده $G(s)$ و جبران ساز سری $G_c(s)$ داده شده با معادله (۳-۳-۶)، از بخش ۳-۶ داریم که ثابت خطای حالت - ماندگار سرعت، برای تابع تبدیل حلقه - باز $G(s)$ و $G_c(s)G(s)$ به ترتیب عبارتست از

$$K_v = \lim_{s \rightarrow 0} sG(s) \quad (4-3-6)$$

$$\hat{K}_v = \lim_{s \rightarrow 0} sG_c(s)G(s) \quad (5-3-6)$$

با جایگزینی معادله (۴-۳-۶) در معادله (۵-۳-۶)، داریم

$$\begin{aligned} \hat{K}_v &= \lim_{s \rightarrow 0} G_c(s)K_v \\ &= K_c\beta K_v \end{aligned} \quad (6-3-6)$$

با توجه به اینکه مقدار K_c تقریباً برابر با یک انتخاب می‌شود، خطای حالت - ماندگار به ورودی شبیه واحد برابر است با

$$1/\hat{K}_v = 1/(\beta K_v)$$

لذا با افزایش β ، خطای حالت - ماندگار کاهش خواهد یافت.

با فرض اینکه سیستم جبران نشده با تنظیم بهره مشخصه‌های پاسخ گذاری مناسبی

خواهد داشت، مراحل طراحی یک جبران ساز پس فاز برای سیستم نشان داده شده در شکل ۱۷-۶، توسط مکان ریشه را می‌توان به صورت خلاصه زیر بیان کرد:

۱- نمودار مکان ریشه سیستم جبران نشده با تابع تبدیل حلقه - باز $(s+G)$ را رسم کنید.
براساس مشخصه‌های پاسخ گذرا، قطب‌های غالب حلقه - بسته را بروی مکان ریشه
جایابی کنید.

۲- تابع تبدیل جبران ساز پس فاز را به صورت داده شده با معادله (۳-۶) در نظر
بگیرید.

۳- با مشخص نمودن ثابت خطای استاتیکی مورد نظر سیستم حلقه - بسته، مقدار افزایش
لازم در ثابت خطای استاتیکی را برای برآورده ساختن مشخصه‌ها تعیین کنید. این
میزان افزایش توسط عامل β در معادله (۳-۶)، فراهم می‌شود.

۴- با انتخاب β ، موقعیت قطب و صفر جبران ساز پس فاز که افزایش لازم در ثابت خطای
استاتیکی معین شده را بدون تغییر قابل توجهی در مکان ریشه اصلی بدست می‌دهد،
تعیین کنید. توجه کنید که سهم زاویه جبران ساز پس فاز نباید زیاد باشد و یک
قاعده سرانگشتی آن است که این زاویه از حد اکثر 70° تجاوز نکند.

۵- نمودار مکان ریشه سیستم جبران شده را رسم کنید. اگر سهم زاویه ناشی از جبران ساز
پس فاز زیاد نباشد، نمودار مکان ریشه سیستم جبران شده و جبران نشده تقریباً
یکسان خواهند بود. در غیر اینصورت، اندک تفاوتی در دو نمودار پیدا می‌شود و
قطبهای غالب حلقه - بسته مطلوب جدید را براساس مشخصه‌های پاسخ فرکانسی،
مشخص کرده و بروی نمودار مکان ریشه سیستم جبران شده جایابی کنید.

۶- با توجه به اینکه قطب‌های غالب حلقه - بسته باید بروی مکان ریشه قرار گیرند، از شرط
دامنه بهره جبران ساز K را بدست آورید.

مثال ۳-۶

تابع تبدیل حلقه - باز سیستم نشان داده شده در شکل ۱۷-۶ عبارتست از

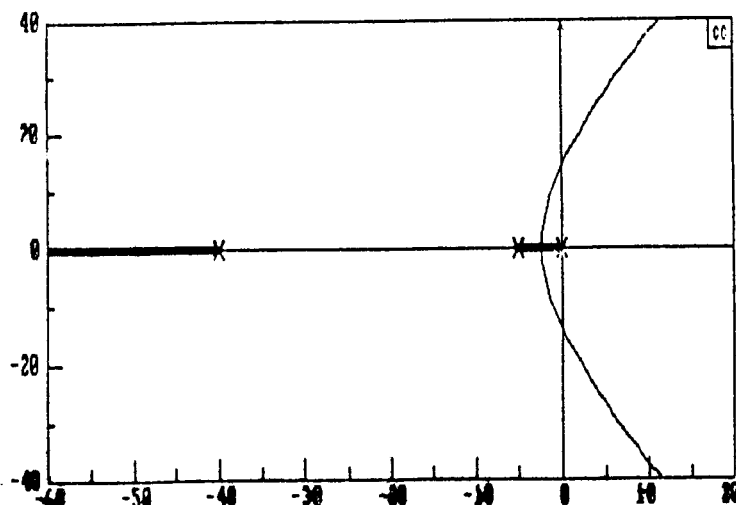
$$G(s) = \frac{450}{s(s+5)(s+40)}$$

تابع تبدیل سیستم حلقه - بسته جبران نشده (با فیدبک واحد در شکل ۶-۱۷) به صورت زیر

است

$$\frac{C(s)}{R(s)} = \frac{450}{s^2 + 45s^2 + 20s + 450}$$

قطبهای غالب حلقه - بسته، عبارتند از $j\sqrt{2}/3826 \pm j2/3420 \pm j40/3161$ و یک قطب حلقه - بسته نیز در قرار دارد. فرکانس طبیعی غیرمیرا $\omega_n = 3/35$ (رادیان بر ثانیه) و $\zeta = 0.7$. ثابت خطای سرعت استاتیکی سیستم (که نشان دهنده رفتار حالت - ماندگار سیستم در پاسخ به ورودی شبیه است) $= 2/25 K_v$ است. با توجه به موقعیت قطبها غالب حلقه - بسته، پاسخ سیستم جبران نشده زمان استقراری کمتر از ۲ ثانیه و نسبت میرایی قطبها نیز مقدار مناسبی دارد. لیکن مقدار ثابت خطای سرعت استاتیکی بسیار کم می‌باشد و مقدار مطلوب آن حداقل حدوداً ۱۰ برابر مقدار جبران نشده آن می‌باشد. به عبارت دیگر، پاسخ گذرای سیستم جبران نشده مطلوب است ولی برای بهبود پاسخ حالت - ماندگار آن به یک جبران ساز نیاز است. با توجه به رفتار مناسب حالت گذرای پاسخ، جبران ساز نباید موقعیت قطبها غالب حلقه - بسته را تغییر زیادی دهد. نمودار مکان ریشه سیستم جبران نشده در شکل ۶-۲۱، نشان داده شده است.



شکل ۶-۲۱ نمودار مکان ریشه سیستم جبران نشده مثال ۶-۳

برای برآورده ساختن این مشخصه‌ها، یک جبران ساز پس فاز به طور سری (همانطور که در شکل ۱۷-۶ نشان داده شده است) برای سیستم طراحی می‌کنیم. برای افزایش ثابت خطای سرعت استاتیکی به میزان 10 برابر، β را برابر 10 انتخاب می‌کنیم و صفر و قطب جبران ساز پس فاز را به ترتیب در $s = -10$ و $s = -10$ قرار می‌دهیم. از اینرو تابع تبدیل جبران ساز به صورت زیر داده می‌شود

$$G_c(s) = K_c \frac{s + 1}{s + 10}$$

سهم زاویه‌ای این جبران ساز در نزدیکی یک قطب غالب حلقه - بسته، حدوداً هشت درجه است و لذا تغییر جزیی در نمودار مکان ریشه حلقه - بسته در نزدیکی قطبهای غالب حلقه - بسته پدید خواهد آمد.

تابع تبدیل حلقه - باز سیستم جبران شده عبارتست از

$$\begin{aligned} G_c(s)G(s) &= K_c \frac{s + 1}{s + 10} \frac{45}{s(s+5)(s+40)} \\ &= \frac{45K_c(s+1)}{s(s+10)(s+5)(s+40)} \end{aligned}$$

نمودار مکان سیستم جبران شده در شکل ۲۲-۶ نشان داده شده است. با فرض $K_c = 5$ برای قطبهای غالب حلقه - بسته، این قطبهای در $s = -2/3 \pm j2/6$ قرار خواهند گرفت. برای تعیین بهره جبران ساز، از شرط دامنه داریم

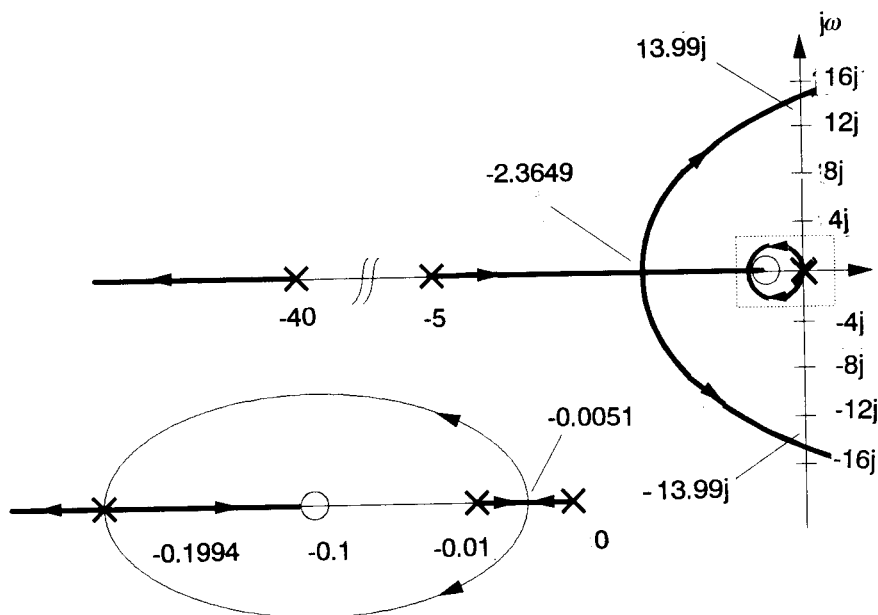
$$\begin{aligned} K_c &= \frac{1}{45} \left| \frac{s(s+1)(s+5)(s+40)}{s+10} \right|_{s=-2/3 \pm j2/6} \\ &= 1/1 \end{aligned}$$

بنابراین، تابع تبدیل جبران ساز پس فاز عبارتست از

$$G_c(s) = 1/1 \frac{s+1}{s+10}$$

و تابع تبدیل حلقه - باز سیستم جبران شده عبارتست از

$$G_c(s)G(s) = \frac{50.3(s+1)}{s(s+10)(s+5)(s+40)}$$



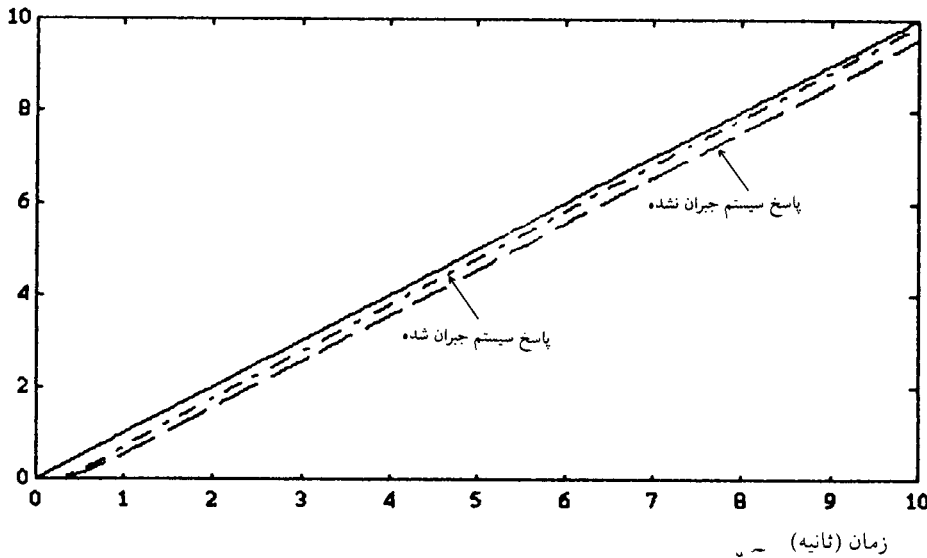
شکل ۲۲-۶ نمودار مکان ریشه سیستم جبران شده در مثال ۳-۶.

ثابت خطای سرعت استاتیکی K_v برابر است با

$$K_v = \lim_{s \rightarrow 0} s G_c(s)G(s) = 25/15$$

در سیستم جبران شده، ثابت خطای سرعت استاتیکی از $1/(25\text{ ثانیه})$ به $1/(15\text{ ثانیه})$ افزایش یافته است و لذا خطای حالت - ماندگار در پاسخ به ورودی شیب، به مقدار قابل ملاحظه‌ای کاهش خواهد یافت. اگر بخواهیم ثابت خطای سرعت استاتیکی دقیقاً $22/5$ باشد (ده برابر مقدار جبران نشده)، می‌توان محل قطب و صفر جبران ساز را تغییر داد و یا اینکه بهره جبران ساز را به $K_c = 1$ برابر کنیم، لیکن در این صورت نسبت میرایی قطب‌های حلقه - بسته نیز اندکی کاهش خواهد یافت.

پاسخ زمانی شیب واحد سیستم جبران شده و جبران نشده در شکل ۲۳-۶ نشان داده شده است. همانطور که از پاسخ مشاهده می‌گردد، خطای حالت ماندگار سیستم جبران شده به میزان قابل توجهی کاهش نشان می‌دهد.



شکل ۲۳-۶ پاسخ زمانی سیستم حلقه - بسته جبران شده و جبران نشده به ورودی شیب واحد

۳-۳-۶ طراحی جبران سازهای پس - پیش فاز با استفاده از مکان ریشه تابع تبدیل جبران ساز پس - پیش فاز عبارتست از

$$G(s) = K_c \beta \alpha \frac{(T_1 s + 1)(T_2 s + 1)}{(T_1 \alpha s + 1)(\beta T_2 s + 1)} = K_c \left(\frac{s + 1/T_1}{s + 1/\alpha T_1} \right) \left(\frac{s + 1/T_2}{s + 1/\beta T_2} \right) \quad (7-3-6)$$

که در آن $\alpha > 0$ و $\beta > 0$. در مواردی که هر دو پاسخ گذراي سیستم و حالت - ماندگار آن نیاز به جبران سازی داشته باشند، هیچکدام از دو جبران ساز پس فاز و پیش فاز به تنها ی جوابگوی مسئله طراحی نخواهد بود. در این صورت باید از جبران ساز پس - پیش فاز داده شده با معادله (7-3-6) استفاده کرد. این جبران ساز مشخصه‌های هر دو جبران ساز نامبرده را دارد. همانطور که از معادله (7-3-6) مشاهده می‌شود، دو پارامتر مهم طراحی در این جبران ساز α و β هستند (متناظر با پارامترهای α و β در جبران سازهای پیش و پس فاز). در اینجا مراحل طراحی جبران سازهای پس - پیش فاز را با استفاده از مکان ریشه در دو حالت $\alpha = \beta$ و $\alpha \neq \beta$ ، ارایه می‌کنیم.

حالت اول: $\alpha \neq \beta$

- ۱- موقعیت قطب‌های غالب حلقه - بسته را براساس مشخصه‌های عملکرد داده شده، تعیین کنید.
- ۲- با رسم نمودار مکان ریشه سیستم حلقه - باز داده شده با $G(s)$ و یا با انجام محاسبات لازم، نقص زاویه ϕ را برای آنکه قطب‌های حلقه - بسته در مکانهای مطلوب باشند، تعیین کنید.
- ۳- قسمت پیش فاز جبران ساز داده شده با معادله (۷-۳-۶)، باید این نقص زاویه را جبران کند. لذا T_1 و α را به گونه‌ای انتخاب می‌کنیم که

$$\angle[(s_1 + 1/T_1)/(s_1 + 1/\alpha T_1)] = \phi$$

که در آن s_1 پکی از قطب‌های غالب حلقه - بسته است. توجه کنید که انتخاب T_1 و α منحصر بفرد نیست. سپس بهره K_c را از شرط دامنه تعیین کنید:

$$\left| K_c \frac{s_1 + 1/T_1}{s_1 + 1/\alpha T_1} G(s_1) \right| = 1$$

- ۴- مقدار β از ثابت خطای سرعت K_v تعیین می‌گردد. با مشخص نمودن ثابت خطای سرعت K_v ، داریم

$$\begin{aligned} K_v &= \lim_{s \rightarrow 0} s G_c(s) G(s) \\ &= \lim_{s \rightarrow 0} s K_c \left(\frac{s + 1/T_1}{s + 1/(\alpha T_1)} \right) \left(\frac{s + 1/T_2}{s + 1/(\beta T_2)} \right) G(s) \\ &= \lim_{s \rightarrow 0} s K_c \beta \alpha G(s) \end{aligned}$$

مقادیر α و K_c از مرحله ۳ بدست آمدند. از این‌رو، برای مقدار K_v داده شده مقدار β را می‌توان از معادله بالا تعیین کرد. با استفاده از β بدست آمده، مقدار T_2 را می‌توان از روابط زیر محاسبه نمود:

$$\left| \frac{s_1 + 1/T_2}{s_1 + 1/(\beta T_2)} \right| = 1$$

و

$$-5^\circ < \angle[(s_1 + 1/T_2)/(s_1 + 1/(\beta T_2))] < 0^\circ$$

در واقع مقدار T_2 باید به گونه‌ای باشد که شرط دامنه برآورده شود و سهم زاویه ناشی از قسمت پس فاز جبران ساز پس - پیش فاز نیز بزرگ نباشد.

مثال ۴-۶

تابع تبدیل حلقه - باز یک سیستم کنترل با فیدبک منفی عبارتست از

$$G(s) = \frac{3}{s(s+0/6)}$$

قطبهای سیستم حلقه - بسته در $[1/706 \pm j1/33]$ - قرار دارند. نسبت میرانی، فرکانس طبیعی غیرمیرا و ثابت خطای سرعت استاتیکی سیستم جبران نشده به ترتیب عبارتند از $0/0/173$ و $1/732$ (رادیان بر ثانیه) و 5^1 (ثانیه). بنابراین مشخصه‌های حالت - گذرا و حالت - ماندگار پاسخ هیچگدام مناسب نمی‌باشند.

مشخصه‌های مطلوب عملکرد سیستم را به صورت زیر تعریف می‌کنیم:

$$K_p = 90, \quad K_i = 1/6, \quad K_d = 1/5$$

با توجه به مشخصه‌های تعیین شده، قطبها مطلوب غالب سیستم حلقه - بسته در $-2/5 \pm j4/4/33$ - قرار خواهد گرفت.

از قسمت پیش فاز جبران ساز پس - پیش فاز داده شده با معادله $(7-3-6)$ ، برای بهبود رفتار حالت گذرا سیستم و از قسمت پس فاز آن برای کاهش خطای حالت ماندگار (افزایش K_d) استفاده می‌کنیم. نخست قسمت پیش فاز جبران ساز را طراحی می‌کنیم. از آنجاییکه

$$\left. \frac{3}{s(s+0/6)} \right|_{s=-2/5+j4/33} = 126/31$$

قسمت پیش فاز جبران ساز باید زاویه‌ای برابر با $53/69^\circ$ را در قطبها غالب فراهم آورد (در این صورت نمودار مکان ریشه سیستم جبران شده از قطبها غالب مطلوب عبور خواهد کرد). برای فراهم آوردن سهم زاویه‌ای برابر با $53/69^\circ$ ، تابع تبدیل زیر را برای قسمت پیش فاز جبران ساز در نظر می‌گیریم

$$K_c \frac{s+2/73}{s+9/13}$$

(دقت کنید که این تابع تبدیل منحصر بفرد نیست و می‌تواند از روش‌های سیستماتیک و یا سعی و خطاب بدست آورده شود، تنها فراهم آوردن سهم زاویه‌ای مطلوب کافی است). بهره K_c از شرط دامنه بدست آورده می‌شود. داریم

$$\left| K_c \frac{s+2/\sqrt{3}}{s+9/13} \cdot \frac{3}{s(s+0/6)} \right|_{s=-2/5+j\sqrt{4}/33} = 1$$

از این‌رو

$$K_c = 14/4$$

قسمت پس فاز جبران ساز را برای برآورده ساختن مشخصه حالت - ماندگار پاسخ طراحی می‌کنیم. در واقع مقدار β را چنان تعیین می‌کنیم که شرط داده شده برروی K_v برآورده گردد. داریم

$$K_v = \lim_{s \rightarrow 0} G_c(s)G(s) = \lim_{s \rightarrow 0} sK_c \alpha \beta G(s) \\ = 90$$

و لذا

$$\beta = 4/2$$

سرانجام، مقدار T_2 را به گونه‌ای به اندازه کافی بزرگ انتخاب می‌کنیم که

$$\left| \frac{s+1/T_2}{s+\frac{1}{4/2}T_2} \right|_{s=-2/5+j\sqrt{4}/33} \approx 1$$

و

$$\begin{array}{c} \angle \frac{s+1/T_2}{s+\frac{1}{4/2}T_2} \\ \angle -5^\circ \quad \angle 0^\circ \end{array} \quad \left| s=-2/5+j\sqrt{4}/33 \right.$$

با انتخاب $T_2 = 10$ ، دو شرط بالا برآورده خواهند شد (دامنه برابر یک جهت برآورده کردن شرط دامنه، و سهم زاویه ناچیز در قطب‌های غالب برای تغییر ندادن رفتار حالت - گذرا) و لذا تابع تبدیل قسمت پس فاز جبران ساز عبارتست از

$$\frac{s+0/1}{s+0/0/2}$$

بنابراین تابع تبدیل جبران ساز پس - پیش فاز به صورت زیر بدست می آید

$$G_c(s) = 14/4 \left(\frac{s+2/\sqrt{3}}{s+9/13} \right) \left(\frac{s+0/1}{s+0/0.2} \right)$$

مکان ریشه سیستم جبران شده در شکل ۲۴-۶ نشان داده شده است. پاسخ زمانی سیستم‌های جبران شده و جبران نشده به ورودی پله واحد و شیب واحد نیز در شکل‌های ۲۵-۶ (الف) و (ب) رسم شده‌اند.

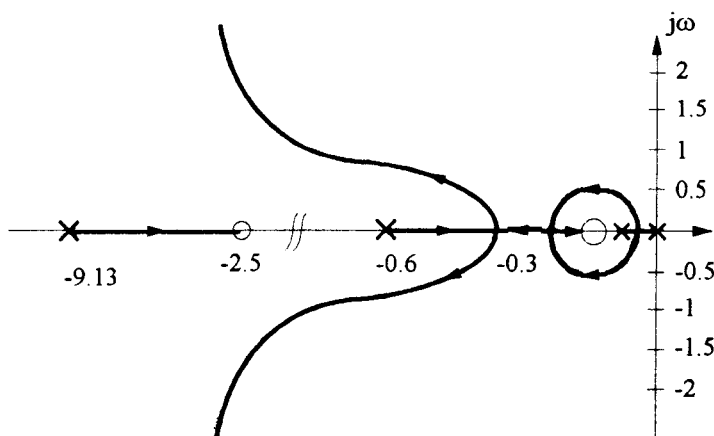
حالت دوم: $\alpha^{-1} = \beta$

- ۱- موقعیت قطب‌های غالب حلقه - بسته را براساس مشخصه‌های عملکرد داده شده تعیین کنید.
- ۲- جبران ساز پس - پیش فاز داده شده یا معادله (۷-۳-۶) بدين صورت اصلاح می شود:

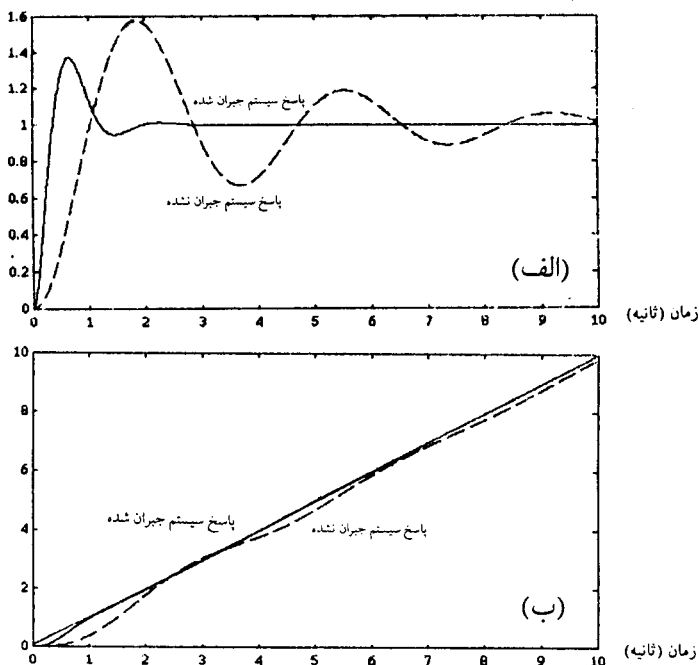
$$G_c(s) = K_c \frac{(T_1 s + 1)(T_2 s + 1)}{\left(\frac{T_1}{\beta} s + 1\right)(\beta T_2 s + 1)} = K_c \frac{\left(s + \frac{1}{T_1}\right)\left(s + 1/T_2\right)}{\left(s + \beta/T_1\right)\left(s + 1/\beta T_2\right)} \quad (8-3-6)$$

که در آن $\beta > 1$. تابع تبدیل حلقه باز سیستم جبران شده عبارتست از $(s)G_c(s)G(s)$. اگر ثابت خطای سرعت استاتیکی K_v مشخص باشد، مقدار K_c از معادله زیر تعیین می‌گردد:

$$\begin{aligned} K_v &= \lim_{s \rightarrow 0} s G_c(s) G(s) \\ &= \lim_{s \rightarrow 0} s K_c G(s) \end{aligned}$$



شکل ۲۴-۶ نمودار مکان ریشه سیستم جبران شده -



شکل ۲۵-۶ پاسخ زمانی سیستم‌های جبران نشده و جبران شده (الف) ورودی یکه واحد (ب) ورودی شب واحد

۳- برای آنکه قطب‌های غالب حلقه - بسته در مکانهای مطلوب باشند، سهم زاویه ϕ که باید توسط قسمت پیش فاز جبران ساز فراهم گردد را تعیین کنید.

۴- مقادیر T_1 و β را به گونه‌ای انتخاب کنید که شرایط دامنه و زاویه زیر را برآورده سازند:

$$\left| K_C \left(\frac{s_1 + 1/T_1}{s_1 + \beta/T_1} \right) G(s_1) \right| = 1$$

و

$$\sqrt{[(s_1 + 1/T_1)/(s_1 + 1/(\beta T_1))]^2 + \phi^2} = \phi$$

۵- با مقدار β بدست آمده، T_1 را به گونه‌ای انتخاب کنید که شرایط زیر را برآورده سازند:

$$\left| \frac{s_1 + 1/T_1}{s_1 + 1/(\beta T_1)} \right| \approx 1$$

و

$$-5^\circ < \frac{[(s_1 + 1/T_2)/(s_1 + 1/(\beta T_2))] - 0}{\circ}$$

مقدار بزرگترین ثابت زمانی جبران ساز پس - پیش فاز βT_2 را به اندازه‌ای می‌توان افزایش داد که تحقق فیزیکی آن ممکن باشد.

مثال ۶-۵

سیستم کنترل مثال ۶-۴ را در نظر بگیرید. برای جبران رفتار حالت - گذرا و حالت - ماندگار سیستم حلقه - بسته از جبران ساز داده شده با معادله (۶-۳-۸) استفاده می‌کنیم. با فرض مشخصات عملکرد داده شده در مثال ۶-۴، قطب‌های غالب حلقه - بسته در $G_c(s)G(s) = 2/5 + j4/33$ قرار خواهند گرفت.تابع تبدیل حلقه - باز سیستم جبران شده $K_v G_c(s)$ می‌باشد و K_v را از شرط داده شده بروی K_v از رابطه زیر تعیین می‌کنیم

$$\begin{aligned} K_v &= \lim_{s \rightarrow 0} s G_c(s) G(s) \\ &= \lim_{s \rightarrow 0} s \cdot \frac{K_c \left(s + \frac{1}{T_1} \right) \left(s + \frac{1}{T_2} \right)}{\left(s + \frac{\beta}{T_1} \right) \left(s + \frac{1}{\beta T_2} \right)} \frac{3}{s(s+0/6)} \\ &= K_c \frac{3}{0/6} \end{aligned}$$

از آنجاییکه K_v باید حداقل 90° باشد، لذا

$$K_c = 18$$

ثابت زمانی T_1 و مقدار β ، برای طراحی قسمت پیش فاز جبران ساز، باید به گونه‌ای انتخاب گردد که شرط دامنه را در موقعیت قطب‌های غالب برآورده سازند و هم چنین زاویه‌ای برابر با $53/69^\circ$ را در قطب‌های غالب، فراهم آورند. بنابراین

$$\left| \frac{s + \frac{1}{T_1}}{s + \frac{\beta}{T_1}} \right| \left| \frac{3 \times 18}{s(s+0/6)} \right|_{s=-2/5+j4/33} = \left| \frac{s + \frac{1}{T_1}}{s + \frac{\beta}{T_1}} \right| \frac{54}{23/6} = 1$$

$$\left| \begin{array}{c} s + \frac{1}{T_1} \\ \hline s + \frac{\beta}{T_1} \end{array} \right|_{s = -2/5 + j4/31} = 53/69^\circ$$

همانطور که در شکل ۲۶-۶ نشان داده شده است، اگر p در موقعیت مطلوب قطب حلقه بسته باشد، باید A و B را بروی محور حقیقی به گونه‌ای تعیین کرد که

$$\angle APB = 53/69^\circ, \quad \frac{\overline{PA}}{\overline{PB}} = \frac{23/V}{54} = \frac{4/V}{10/8}$$

لذا

$$\overline{AO} = 3/27, \quad \overline{BO} = 11/2894$$

یا

$$T_1 = \frac{1}{3/27} = 0/30, \quad \beta = \frac{11/2894}{3/27} = 3/45$$

بنابراین قسمت پیش فاز جبران ساز عبارتست از

$$\frac{s + 3/27}{s + 11/2894}$$

برای قسمت پس فاز جبران ساز انتخاب می‌کنیم

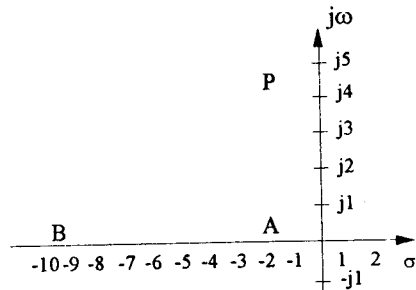
$$T_2 = 10$$

بنابراین

$$\frac{1}{\beta T_2} = \frac{1}{30/45}$$

و تابع تبدیل قسمت پس فاز جبران ساز عبارتست از

$$\frac{s + 0/1}{s + 0/03}$$

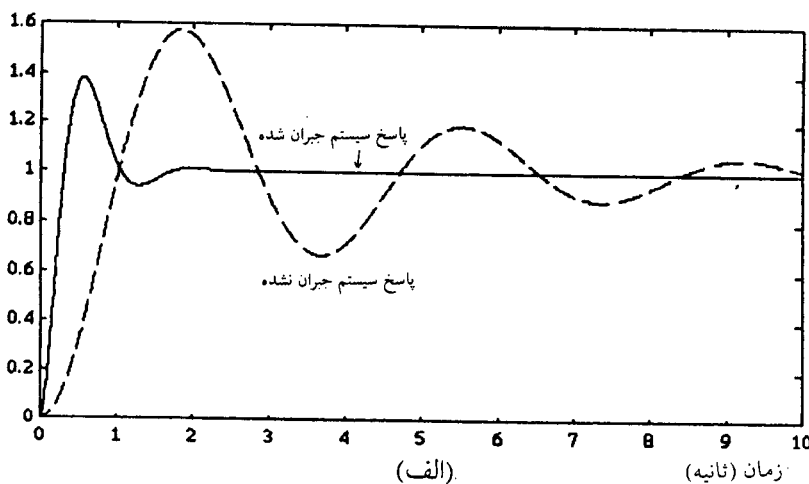


شکل ۲۶-۶ تعیین موقعیت قطب - صفر مطلوب

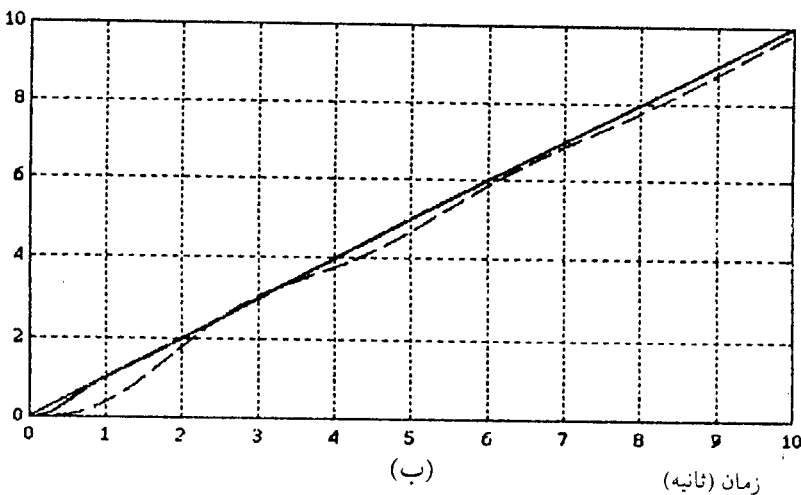
بنابراین تابع تبدیل جبران ساز پس - پیش فاز عبارتست از

$$G_C(s) = \left(\frac{s+0/1}{s+0/0.3} \right) \left(\frac{s+3/27}{s+11/2897} \right)$$

پاسخهای زمانی سیستم حلقه - بسته جبران نشده و جبران شده به ورودیهای پله واحد و شیب واحد به ترتیب در شکل‌های ۲۷-۶ (الف) و (ب) رسم شده‌اند. همانطور که از این شکلها مشاهده می‌شود، رفتار حالت - گذرا و حالت - ماندگار پاسخ بهبود قابل ملاحظه‌ای یافته و مشخصه‌های عملکرد مطلوب برآورده شده‌اند.



(الف)



(ب)

شکل ۲۷-۶ پاسخ زمانی سیستم‌های جبران نشده و جبران شده به (الف) ورودی پله واحد (ب) ورودی شیب واحد

۴-۶ طراحی جبران سازها با استفاده از روش پاسخ فرکانسی

در فصل پنجم با ایده‌های کلی روش پاسخ فرکانسی و رسم نمودارهای بود، نایکوئیست و چارت نیکولز، که ابزار اصلی تحلیل و طراحی سیستم‌های کنترل با روش پاسخ فرکانسی هستند، آشنا شدیم. در بخش ۹-۵، مشخصه‌های عملکرد سیستم براساس پاسخ فرکانس ارایه گردیدند. در این بخش با تغییر دادن مشخصه‌های پاسخ فرکانسی سیستم حلقه - باز توسط جبران سازهای سری پیش فاز، پس فاز و پس - پیش فاز و یا در صورت امکان با تغییر دادن بهره به تهایی، به مشخصه‌های پاسخ فرکانسی مطلوب داده شده برای سیستم حلقه - بسته خواهیم رسید. عملکرد یک سیستم حلقه بسته توسط M_r و ضریب خطای سیستم K_m تعیین می‌گردد (بخش ۹-۵). مقدار M_r (ستیغ تشدید) عمدتاً نشان دهنده $\frac{\omega}{\omega_n}$ (نسبت میرایی) است و لذا مقدار حداکثر فرجهش در پاسخ گذرا را تعیین می‌کند. برای یک M_r معین، فرکانس تشدید ω_n تعیین کننده فرکانس طبیعی غیرمیرا می‌باشد که خود نیز زمان پاسخ سیستم را می‌دهد. برای اطلاع از خطای حالت - ماندگار و رودهای استاندار نیز از ضریب خطای سیستم K_m استفاده می‌شود.

به طور کلی، یکی از موارد زیر می‌تواند دلیل مناسبی برای تغییر نمودار پاسخ فرکانسی سیستم توسط طراح باشد:

۱- سیستم داده شده به ازاء کلیه بهره‌ها ناپایدار است، نمودار پاسخ فرکانسی را باید به گونه‌ای در نزدیکی (180° ، 0°) یا -180° بروی محور حقیقی منفی تغییر داد که سیستم پایدار شود، M_r نیز مقادیر مطلوبی داشته باشدند.

۲- سیستم داده شده پایدار می‌باشد ولی زمان استقرار حالت گذرا آن نامطلوب است. به عبارت دیگر M_r مقدار مناسبی دارد ولی ω_n خیلی کوتاه است. در چنین حالتی ممکن است که بهره مناسب باشد و یا با اندک تغییری مقدار مناسبی پیدا کند، لیکن قسمت فرکانس بالای نمودار باید به گونه‌ای تغییر کند که مقدار ω_n افزایش یابد.

۳- سیستم داده شده پایدار با مقادیر M_r و ω_n مناسب، ولذا پاسخ گذرا سیستم مطلوب می‌باشد، لیکن خطای حالت - ماندگار پاسخ بسیار بزرگ است. در این حالت باید مقدار بهره سیستم را بدون تغییر قابل توجهی در مقادیر M_r و ω_n ، افزایش داد. به عبارت دیگر قسمت فرکانس بالای نمودار پاسخ فرکانسی مناسب است ولی قسمت فرکانس پایین آن

مناسب نیست.

۴- سیستم داده شده پایدار و مقدار M_T مطلوب است ولی پاسخ حالت گذرا و پاسخ حالت-ماندگار نامطلوب هستند. بنابراین باید مقادیر ω و K_T افزایش داده شوند. قسمت نمودار پاسخ فرکانسی در نزدیکی نقطه $(-180^\circ, 0 \text{ dB})$ یا -180° بر روی محور حقیقی منفی، باید به گونه‌ای تغییر داده شود که مطلوب بدست آورده شود و قسمت فرکانس پایین باید به گونه‌ای تغییر داده شود که به مقدار مناسب بتوان بهره را افزایش داد.

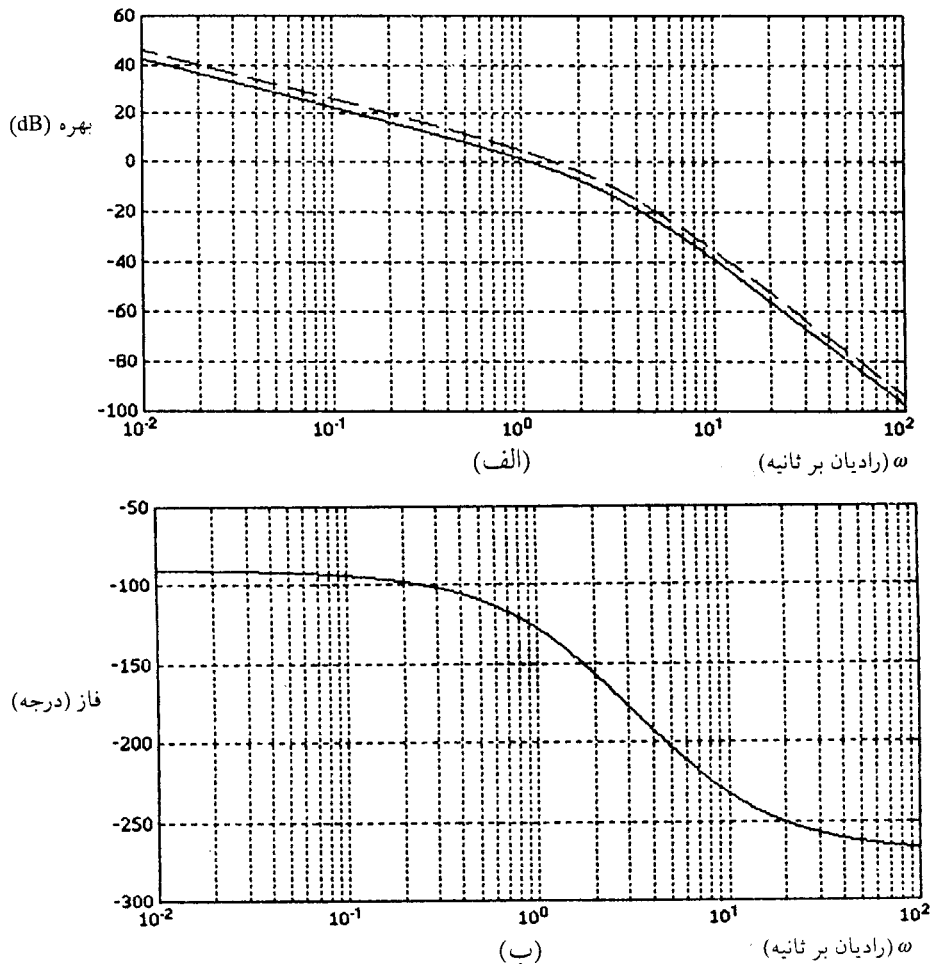
بنابراین هدف از طراحی، تغییر دادن نمودارهای پاسخ فرکانسی توسط تغییر بهره (در صورت امکان) یا یک جبران ساز دینامیکی به گونه‌ای است که مشخصه‌های عملکرد برآورده شوند. قبل از آنکه به تشرییح طراحی با جبران سازهای پس فاز، پیش فاز و پس - پیش فاز پردازیم، با یک مثال نشان خواهیم داد که در برخی از موارد، رسیدن به عملکرد تعیین شده سیستم حلقه - بسته توسط تغییر بهره حلقه - باز K به تنها یی امکان‌پذیر است. افزایش بهره باعث حرکت دادن نمودار بهره بر حسب فرکانس به طرف بالا، متناظر با مقدار افزایش بهره، در تمامی فرکانس‌ها است و حال آنکه کاهش بهره باعث حرکت دادن نمودار بهره بر حسب فرکانس به طرف پایین، متناظر با مقدار کاهش بهره، در تمامی فرکانس‌ها است. تغییر بهره K ، تغییری در نمودار زاویه فاز بر حسب فرکانس ندارد.

مثال ۶-۶

تابع تبدیل حلقه - باز سیستمی عبارتست از

$$G(j\omega) = \frac{20}{j\omega(j\omega+2)(j\omega+5)}$$

حاشیه فاز سیستم جبران نشده برابر با 36° است. مطلوب است که حاشیه فاز سیستم باشد. بنابراین باید در فرکانسی که برای آن انتقال زاویه $= -134^\circ + 46^\circ = -180^\circ + 46^\circ$ است، بهره $|G(j\omega)| = 0 \text{ dB}$ باشد. نمودار بود تابع تبدیل جبران نشده (با خط چین) در شکل ۲۸-۶ در نشان داده شده است. با مراجعه به شکل ۲۸-۶، در می‌باییم که انتقال فاز برابر با $-134^\circ - 28^\circ = -162^\circ$ در فرکانس $\omega = 1/\sqrt{5} \text{ (رادیان بر ثانیه)}$ است و بهره در این فرکانس برابر با $20/\sqrt{5} \text{ dB} = 4 \text{ dB}$ است. بنابراین اگر بهره را به میزان 5 dB ، بر روی کلیه فرکانس‌ها کاهش دهیم، در فرکانس $\omega = 1/\sqrt{5} \text{ (رادیان}$



شکل ۲۸-۶ (الف) نمودار بهره برحسب فرکانس برای سیستم مثال ۶-۶ (ب) نمودار زاویه فاز برحسب فرکانس برای سیستم مثال ۶-۶

بر ثانیه) اندازه نمودار برابر با $\text{dB} = 20 \log x$ خواهد شد. در این صورت حاشیه فاز مطلوب 46° بدست خواهد آمد. داریم $x = 1/496$ و لذا $20 \log x = 3/5$ است. بهره حلقه - باز جدید $13/37$ بدست می‌آید. بنابراین در سیستم جبران نشده $20 \log 20 = 26.02 \text{ dB}$ و در سیستم

جبران شده توسط کاهش بهره حلقه - باز $B = 22/52 \text{ dB} = 20 \log 13/37 = 20 \text{ dB}$ ، که مقدار $3/5 \text{ dB}$ کمتر از مقدار قبلی است.

به طور خلاصه می‌توان گفت که سیستم حلقه - بسته با تابع تبدیل حلقه - باز داده شده، دارای حاشیه بهره 36° می‌باشد. با کاهش بهره سیستم حلقه - باز از $K = 13/37$ به $K = 12/37$ ، حاشیه فاز سیستم حلقه - بسته 48° خواهد شد.

۱-۴-۶ طراحی جبران سازهای پیش فاز با استفاده از روش پاسخ فرکانسی

سیستم نشان داده شده در شکل ۱۷-۶ را در نظر بگیرید. اگر مشخصه‌های عملکرد بر حسب حاشیه فاز، حاشیه بهره، ثابت‌های خطای سرعت استاتیکی و یا سایر مشخصه‌های $G_c(s)$ پاسخ فرکانسی داده شده باشند، باید از روش پاسخ فرکانسی برای طراحی جبران ساز (۱-۶) استفاده کرد. فرض کنید که عمل خواسته شده از جبران ساز، تغییر شکل نمودار پاسخ فرکانسی برای فراهم آوردن زاویه پیش فاز کافی جهت ختنی کردن پس فاز اضافی در سیستم جبران نشده باشد. در این حالت (موارد ۱ و ۲ بخش ۱-۶) جبران ساز پیش فاز برای جبران سیستم مناسب است.

مراحل طراحی یک جبران ساز پیش فاز با استفاده از روش پاسخ فرکانسی در زیر آمده است:

۱- تابع تبدیل جبران ساز پیش فاز عبارتست از

$$G_c(s) = K_c \alpha \frac{Ts + 1}{\alpha Ts + 1} = K_c \frac{s + 1/T}{s + 1/(\alpha T)} \quad (1-4-6)$$

با تعریف $K = \alpha K_c$ ، تابع تبدیل حلقه - باز سیستم جبران شده در شکل ۱۷-۶ با معادله

(۱-۴-۶) عبارتست از

$$G_c(y)G(s) = K \frac{Ts + 1}{\alpha Ts + 1} G(s) \quad (2-4-6)$$

در اولین مرحله طراحی باید بهره K را چنان تنظیم نمود که شرط داده شده بروی ثابت خطای استاتیکی برآورده گردد.

۲- با بهره بدست آمده K از مرحله قبل، نمودار بود (۱-۶) $KG(s)$ را رسم کنید. تابع تبدیل

مربوط به سیستم جبران نشده می‌باشد ولی بهره آن تنظیم شده است. از نمودار بود رسم شده، حاشیه فاز را تعیین کنید.

۳- زاویه پیش فاز لازم ϕ ، که باید به سیستم اضافه گردد را محاسبه کنید.

۴- از معادله (۷-۲-۶)

$$\sin \phi = \frac{1-\alpha}{1+\alpha}$$

فاکتور α در جبران ساز پس فاز را تعیین کنید. دقت کنید که α براساس زاویه پیش فاز لازم، که باید توسط جبران ساز فراهم آورده شود، تعیین گردیده است. مرحله بعد تعیین فرکانس‌های شکست T/α و $(\alpha T)/\log(1/\omega)$ جبران ساز پیش فاز است. فرکانسی را تعیین کنید که در آن دامنه سیستم جبران نشده $KG(j\omega) = 1/\sqrt{\alpha}$ باشد و این فرکانس را به عنوان فرکانس تقاطع بهره جدید انتخاب کنید. این فرکانس با معادله (۶-۲-۶) داده شده است و بزرگترین انتقال فاز در این فرکانس رخ می‌دهد (به شکل ۲-۶ مراجعه کنید).

۵- فرکانس‌های شکست جبران ساز پیش فاز عبارتند از:

$$\omega = 1/T$$

$$\omega = (\alpha T)^{1/2}$$

۶- بهره جبران ساز K_c را از $K_c = K/\alpha$ تعیین کنید.

۷- حاشیه فاز سیستم را تعیین کنید. اگر با مقدار مطلوب مطابقت نداشته باشد، موقعیت قطب

۸- صفر جبران ساز را تا حصول نتیجه مناسب تغییر دهید.

مثال ۷-۶

تابع تبدیل حلقه - باز یک سیستم کنترل با فیدبک واحد عبارتست از

$$G(s) = \frac{1/2}{s(s+1)}$$

مشخصه‌های عملکرد مطلوب سیستم به صورت ثابت خطای سرعت استاتیکی $K_s = 15$ (ثانیه) و حاشیه فاز 45° داده شده‌اند. برای برآورده ساختن مشخصه‌های داده شده، از یک جبران ساز پیش فاز استفاده می‌کنیم.

نخستین قدم در طراحی یک جبران ساز پیش فاز، تنظیم بهره K_c در جبران ساز داده شده با

معادله (۶-۴) است. بنابراین داریم

$$\begin{aligned} K_v &= \lim_{s \rightarrow 0} sG_c(s)G(s) = \lim_{s \rightarrow 0} sK_c \frac{s + \frac{1}{T}}{s + \frac{1}{\alpha T}} \frac{\circ/2}{s(s+1)} \\ &= \circ/2K_c\alpha = 15 \end{aligned}$$

با تعریف $K_c = K^{\alpha}$, بدست می‌آوریم

$$K = 75$$

با انتخاب بهره $K = 75$, سیستم جبران شده، شرط داده شده برروی پاسخ حالت - ماندگار را برآورده می‌سازد.

نمودار بود تابع تبدیل زیر

$$G_1(j\omega) = \frac{15}{j\omega(j\omega + 1)}$$

در شکل ۲۹-۶ رسم شده است. حاشیه‌های بهره و فاز ($j\omega$), G از شکل ۲۹-۶ بدست آورده می‌شوند و به ترتیب برابرند با تقریباً $56/49dB$ و $56/7^\circ$. $14/7^\circ$. حاشیه بهره $14/7^\circ$ نشان دهنده یک پاسخ کاملاً نوسانی و لذانامطلوب است. (پاسخ سیستم جبران نشده به ورودی پله واحد در شکل ۳۰-۶ نشان داده شده است). بنابراین، اگرچه با افزایش بهره مشخصه مطلوب رفتار حالت - ماندگار برآورده شده است، لیکن رفتار گذرای پاسخ بسیار نامطلوب می‌باشد. مشخصه داده شده برای حاشیه فاز حداقل 45° است. برای بدست آوردن این حاشیه فاز (بدون کاهش بهره K) باید با استفاده از یک جبران ساز پیش فاز، پیش فازی برابر با حدوداً $3/30$ برای جبران زاویه فاز فراهم آورد.

با توجه به اینکه افزودن یک جبران ساز پیش فاز نمودار منحنی دیاگرام بود را تغییر می‌دهد، فرکانس تقاطع بهره به سمت راست انتقال داده خواهد شد. با در نظر گرفتن این انتقال در فرکانس تقاطع بهره فرض خواهیم کرد که بیشترین پیش فاز لازم حدوداً $35/30^\circ$ می‌باشد. به عبارت دیگر حدوداً 5° برای جبران این انتقال فرکانس تقاطع بهره به زاویه پیش فاز لازم اضافه می‌گردد. از آنجاییکه

$$\sin 35/3 = \frac{1-\alpha}{1+\alpha}$$

لذا $\alpha = ۰/۲۶۷$ است. برای تعیین فرکانس‌های شکست، فرکانسی را تعیین می‌کنیم که در آن دامنه سیستم جبران نشده برابر با $۰/۲۶۷ = -۵.۷۳ \text{dB}$ است. این فرکانس که همان فرکانس تقاطع بهره جدید است برابر $\omega = ۵/۷۳$ می‌باشد. از آنجاییکه

$$\frac{۵}{۷۳} = \frac{۱}{\sqrt{\alpha T}}$$

لذا

$$\omega_1 = \frac{۱}{T} = ۲/۹۶۱$$

$$\omega_2 = \frac{۱}{\alpha T} = ۱۱/۰۸۹$$

بهره جبران ساز نیز عبارتست از

$$K_c = \frac{K}{\alpha} = \frac{۷۵}{۰/۲۶۷} = ۲۸۰/۸۹۹$$

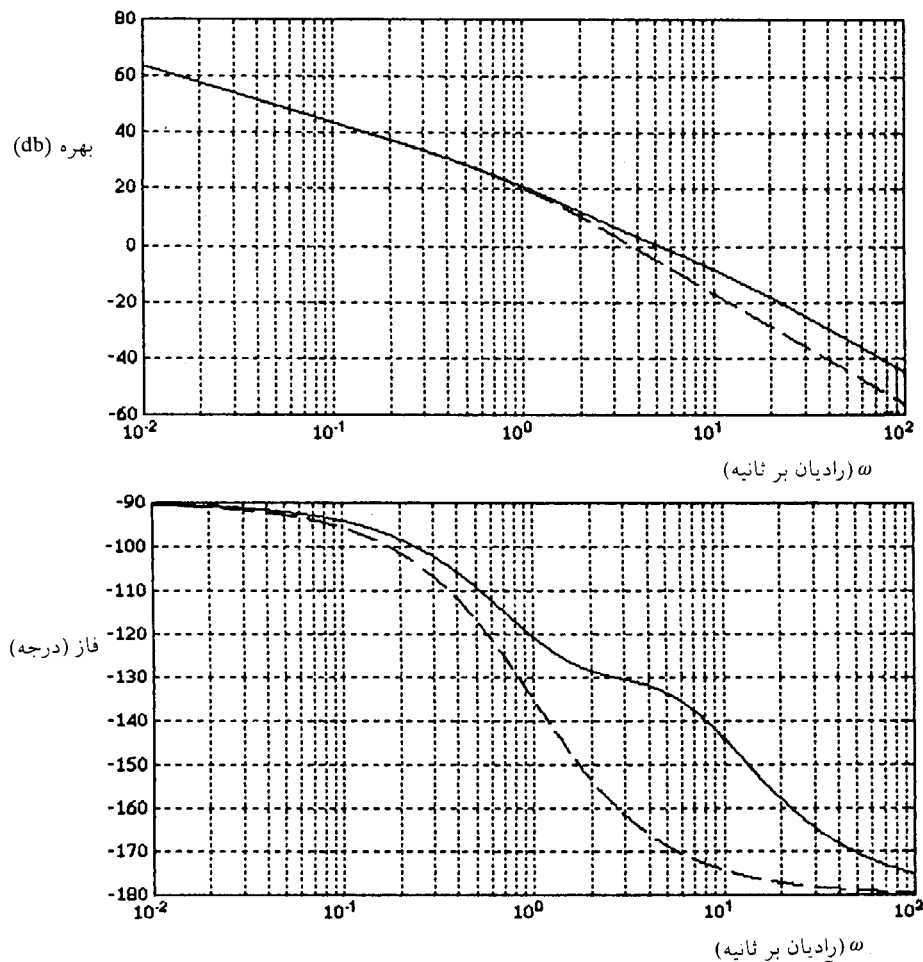
بنابراین تابع تبدیل جبران ساز پیش فاز عبارتست از

$$G_c(s) = ۲۸۰/۸۹۹ \frac{s + ۲/۹۶}{s + ۱۱/۰۸۹}$$

نمودارهای دامنه و زاویه فاز سیستم‌های جبران نشده و جبران شده در شکل ۲۹-۶ رسم شده‌اند. تابع تبدیل حلقه - باز سیستم جبران شده عبارتست از

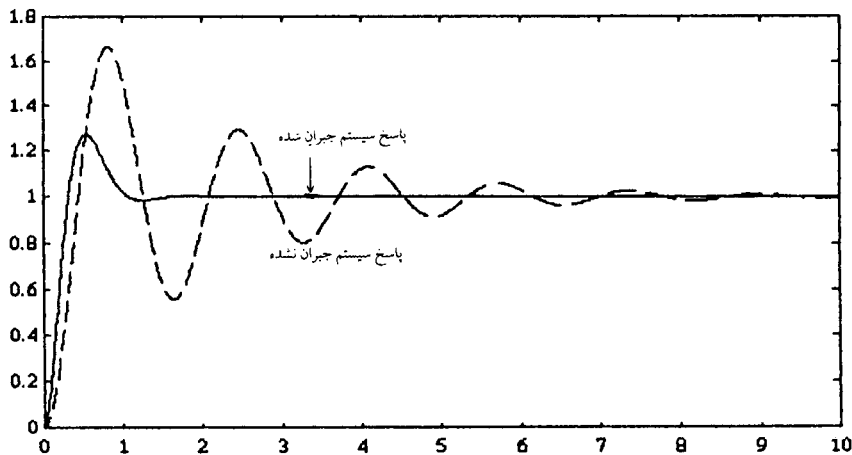
$$G_c(s)G(s) = ۲۸۰/۸۹۹ \frac{s + ۲/۹۶}{s + ۱۱/۰۸۹} \frac{۰/۲}{s(s+1)}$$

منحنی‌های پیوسته در شکل ۲۹-۶، نمودارهای دامنه و فاز این تابع تبدیل را نشان می‌دهند. حاشیه‌های بهره و فاز سیستم جبران شده به ترتیب عبارتند از ۴۷° و ۰dB که مشخصه طراحی را برآورده می‌سازند. پاسخهای پله واحد سیستم جبران نشده و جبران شده نیز در شکل ۲۹-۶، رسم شده‌اند. همانطور که مشاهده می‌گردد، پاسخ سیستم جبران نشده نوسانی ولی پاسخ سیستم جبران شده با مقدار حداقل فراجهش و زمان استقرار مناسب، بدون نوسانات اضافی است.



شکل ۲۹-۶ دیاگرام بود سیستم‌های جبران نشده و جبران شده، نمودار نشان داده شده با خط چین نمودار سیستم جبران نشده و نمودار نشان داده شده با خط پیوسته نمودار سیستم جبران شده است.

۲-۴-۶ طراحی جبران سازهای پس فاز با استفاده از روش پاسخ فرکانسی
 اثر جبران ساز پس فاز بر روی سیستم جبران نشده، معرفی یک عنصر فاز منفی در ناحیه میانه گسترۀ فرکانسی و اهمیت دادن به پاسخ فرکانس پایین‌تر در مقایسه با پاسخ فرکانسی بالاتر است. لذا همانند یک فیلتر پایین‌گذر عمل می‌کند.



شکل ۳۰-۶ پاسخ زمانی سیستم جبران نشده و جبران شده به ورودی پله واحد

مراحل طراحی یک جبران ساز پس فاز با استفاده از روش پاسخ فرکانسی، در زیر آمده است:

۱- تابع تبدیل جبران ساز پس فاز عبارتست از

$$G_c(s) = K_c \beta \frac{Ts + 1}{\beta Ts + 1} \quad (3-4-6)$$

با تعریف $K_c \beta = K$ ، تابع تبدیل حلقه - باز سیستم جبران شده در شکل ۱۷-۶ با معادله (۳-۴-۶) عبارتست از

$$G_c(s)G(s) = K \frac{Ts + 1}{\beta Ts + 1} G(s) \quad (4-4-6)$$

K را به گونه‌ای تعیین خواهیم کرد که مقدار مطلوب ثابت خطای استاتیکی بدست آورده شود.

۲- با بهره بدست آمده از مرحله ۱ طراحی، نمودار بود سیستم جبران نشده $KG(s)$ را رسم کنید. از نمودار بود رسم شده، حاشیه بهره و حاشیه فاز را تعیین کنید. اگر مشخصه‌های مطلوب حاشیه بهره و فاز برآورده نشده باشند، به عبارت دیگر مقدار حاشیه بهره و حاشیه فاز، مقدار مطلوب نباشد، تخصیص مقدار مطلوب حاشیه فاز را تعیین کنید. حاشیه

فاز لازم عبارتست از حاشیه فاز معین شده بعلاوه 5° تا 12° فاز اضافی. این 5° تا 12° فاز اضافی جهت جبران کردن پس فاز ایجاد شده توسط جبران ساز پس فاز به مقدار تعیین شده حاشیه فاز اضافه می‌گردد. اکنون فرکانس را تعیین کنید که در آن زاویه فاز تابع تبدیل حلقه - باز برابر با 180° بعلاوه حاشیه فاز لازم است. این فرکانس به عنوان فرکانس تقاطع بهره جدید انتخاب می‌شود.

۳- برای جلوگیری از اثرات منفی پس فاز ناشی از جبران ساز پس فاز، قطب و صفر جبران ساز پس فاز را باید به مقدار متنابهی پایین‌تر از فرکانس تقاطع بهره جدید قرار دهیم. بنابراین فرکانس شکست $\omega = 1/T$ ، متناظر با صفر جبران ساز پس فاز را یک اکتاو تا یک دهه پایین‌تر از فرکانس تقاطع بهره جدید قرار دهید. (این مقدار بستگی به ثابت زمانیهای جبران ساز خواهد داشت، دقت کنید که این ثابت زمانیها باید خیلی بزرگ شوند)

۴- تضعیف لازم جهت پایین آوردن منحنی دامنه به dB در فرکانس تقاطع بهره جدید را تعیین کنید. توجه کنید که مقدار این تضعیف برابر با $-20 \log \beta$ است و لذا با این مقدار تعیین شده تضعیف، می‌توان β را محاسبه کرد. سرانجام، فرکانس شکست دوم جبران ساز، متناظر با قطب آن را از $\omega = 1/(\beta T)$ تعیین کنید.

۵- با استفاده از مقادیر بدست آمده K و β بهره جبران ساز را بدست می‌آوریم:

$$K_c = K/\beta \quad (5-4-6)$$

مثال ۸-۶

تابع تبدیل حلقه - باز یک سیستم جبران نشده با فیدبک واحد عبارتست از

$$G(s) = \frac{450}{s(s+5)(s+40)}$$

مطلوب است که سیستم را به گونه‌ای جبران کنیم که ثابت خطای سرعت استاتیکی برابر $1/(2\pi/5)$ ، حاشیه فاز حداقل 45° و حاشیه بهره حداقل 15dB باشد.

برای جبران سیستم از یک جبران ساز پس فاز استفاده می‌کنیم. تابع تبدیل جبران ساز پس فاز با معادله (۳-۴-۶) داده شده است، لذا تابع تبدیل حلقه - باز سیستم جبران شده

عبارتست از

$$G_c(s)G(s) = K_c \frac{s + \frac{1}{T}}{s + \frac{1}{\beta T}} \frac{450}{s(s+5)(s+40)}$$

با تعریف $K = K_c \beta$ ، K را باید به گونه‌ای انتخاب کنیم که شرط داده شده بروی ثابت خطای سرعت استاتیکی برآورده شود. بنابراین

$$\begin{aligned} K_v = \lim_{s \rightarrow 0} s G_c(s) G(s) &= \lim_{s \rightarrow 0} s \frac{K 450}{s(s+5)(s+40)} \\ &= K 2/25 = 22/5 \end{aligned}$$

یا

$$K = 10$$

با بهره $K = 10$ ، سیستم جبران شده، شرط داده شده بروی عملکرد حالت - ماندگار را برآورده خواهد کرد. دیاگرام بود تابع تبدیل

$$G_1(j\omega) = \frac{4500}{s(s+5)(s+40)}$$

(که در آن بهره سیستم، جبران شده است) در شکل ۳۱-۶ با خط چین رسم شده است. از نمودارهای دامنه و فاز، حاشیه‌های بهره و فاز تقریباً به ترتیب عبارتند از $23dB$ و $13/5^\circ$. مقدار مطلوب حاشیه فاز (با توجه به 12° در نظر گرفته شده) 57° می‌باشد. از آنجاییکه فرکانس متناظر با حاشیه فاز 57° برابر $2/783$ رادیان بر ثانیه است، فرکانس قطع بالای جبران ساز را در دو اکتاو پایین‌تر از این فرکانس، یعنی $696/0$ رادیان بر ثانیه، در نظر می‌گیریم. مقدار بهره تابع تبدیل جبران نشده در $696/0 = \omega$ برابر با $16/962dB$ است. از این‌رو

$$2 \cdot \log \beta = 16/962$$

و بنابراین

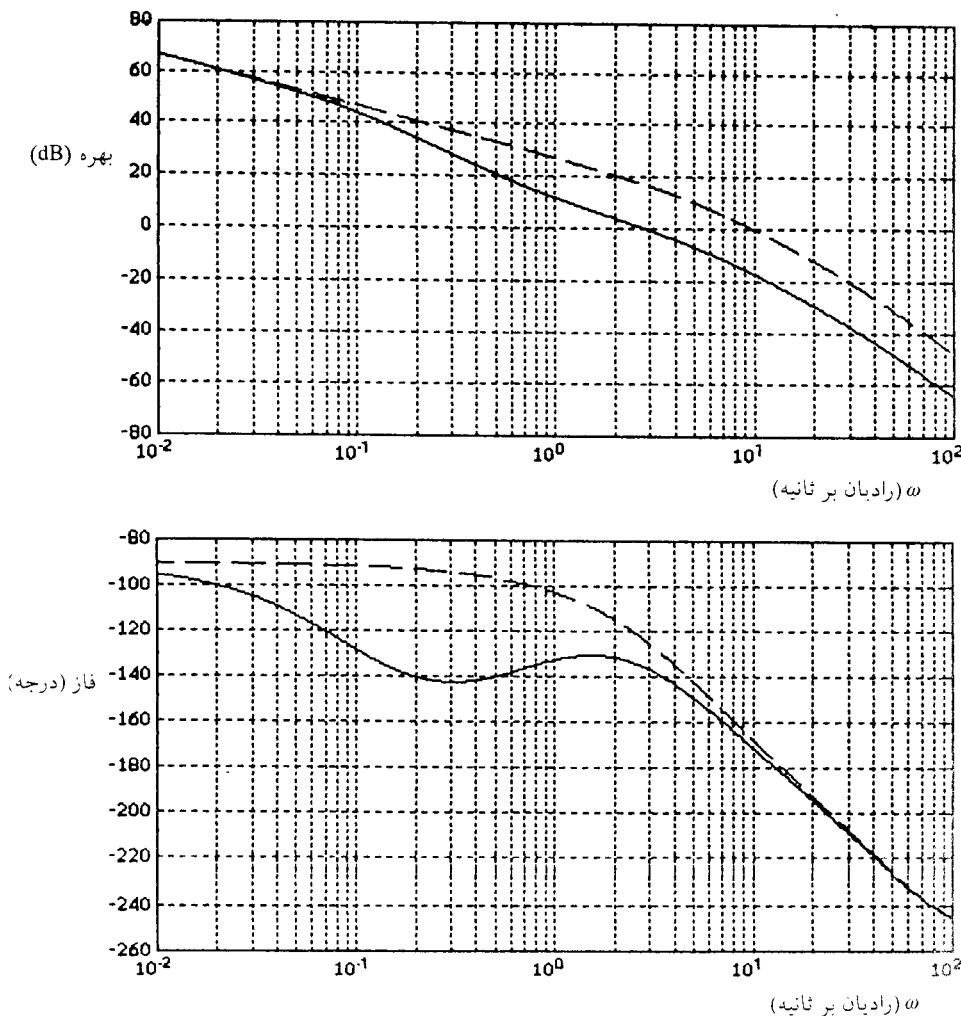
$$\beta = 7$$

فرکانس شکست بعدی جبران ساز که متناظر با قطب آن است، از رابطه زیر بدست می‌آید

$$(رادیان بر ثانیه) \quad \omega = 0/696/7 = 0/099$$

بنابراین تابع تبدیل جبران ساز عبارتست از

$$G_c(s) = K_c \frac{145 + 1}{10s + 1} = K_c (0/14) \frac{s + 0/696}{s + 0/099}$$



شکل ۳۱-۶ نمودارهای دامنه و فاز تابع تبدیل سیستم جبران نشده و جبران شده

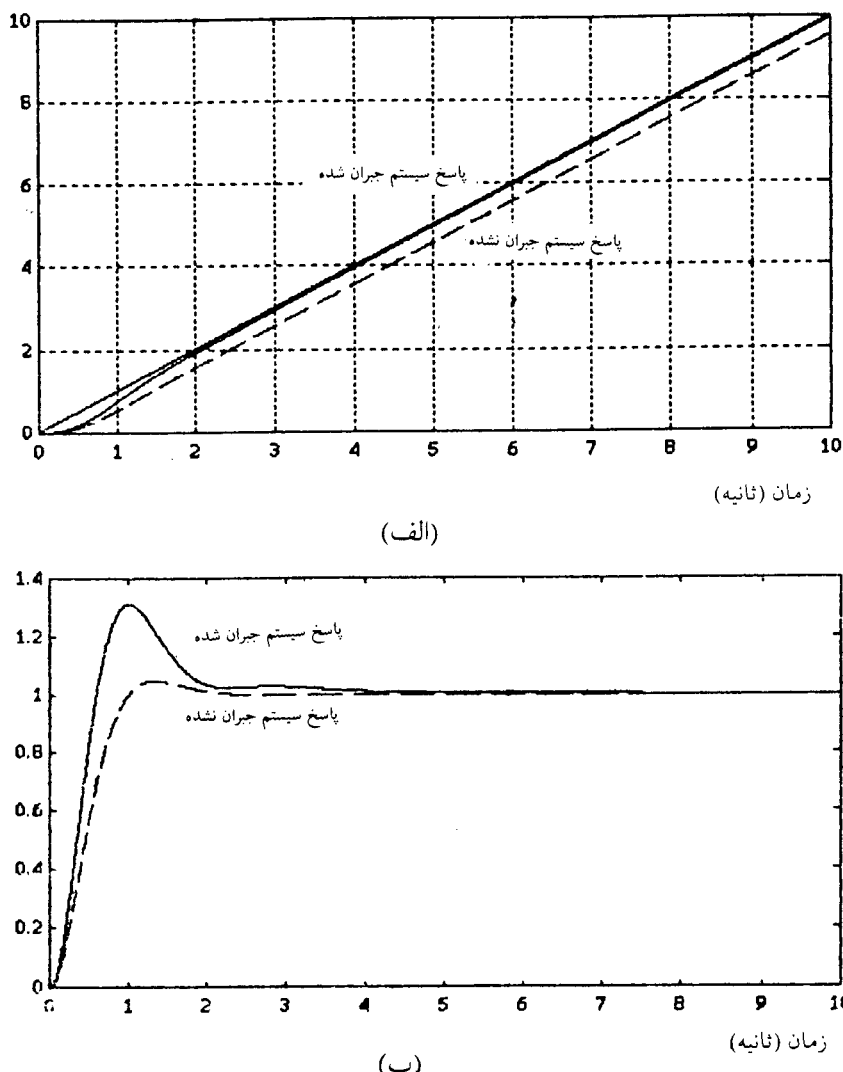
(نوجه کنید که مقدار فاز جبران ساز برابر با -90° است). برای تعیین بهره K_c داریم

$$K_c = \frac{K}{\beta} = \frac{1}{\sqrt{\gamma}} = 1/\sqrt{43}$$

تابع تبدیل حلقه - باز سیستم جبران شده به صورت زیر است

$$G_c(s)G(s) = \frac{900/9(s+0/696)}{s(s+0/099)(s+5)(s+40)}$$

دیاگرام بود (نمودارهای دامنه و زاویه فاز) این تابع تبدیل در شکل ۳۱-۶ رسم شده‌اند. از نمودارهای شکل ۳۱-۶ داریم که حاشیه‌های بهره و فلز سیستم جبران شده به ترتیب عبارتند از $B = 20\text{dB}$ و $\phi = 45^\circ$ ، که شرایط داده شده را برآورده می‌سازند. پاسخ سیستم‌های جبران نشده و جبران شده نیز به ورودی پله واحد و شبیب واحد در شکل ۳۲-۶ رسم شده‌اند.



شکل ۳۲-۶ خروجی‌های سیستم جبران نشده و جبران شده به ورودی‌های (الف) شبیب واحد (ب) پله واحد

نکاتی در رابطه با جبران سازهای پس فاز

- ۱- با توجه به ماهیت پایین گذر بودن جبران سازهای پس فاز (شکل ۶-۶)، جبران سازهای پس فاز استفاده از بهره بالاتری را در فرکانس‌های پایین امکان‌پذیر می‌سازند، که موجب بهبود عملکرد حالت -ماندگار می‌شود. همچنین در گستره حساس فرکانسی بالاتر، بهره را کاهش داده و حاشیه فاز را بهبود می‌بخشد.
- ۲- فرض کنید که صفر و قطب جبران ساز پس فاز به ترتیب در $-z = s-p$ و $s=Z/p$ قرار داشته باشند. مادامیکه صفر و قطب جبران ساز در نزدیکی مبداء هستند و نسبت Z/p برابر با فاکتور ضرب کننده لازم برای ثابت خطای سرعت استاتیکی است، موقعیت دقیق صفر و قطب چندان مهم نیست. با توجه به اینکه جبران ساز پس فاز یک قطب، در حوالی صفر و قطب خود، به سیستم حلقه - بسته اضافه می‌کند (جبران ساز یک درجه، درجه استاتیکی سیستم حلقه - بسته را افزایش می‌دهد)، و از آنجاییکه قطب‌های نزدیک به مبداء بسیار کند هستند و هر چه به مبداء نزدیکتر می‌شوند، کندر می‌گردد لذا باید دقت کرد که صفر و قطب جبران ساز، بدون جهت خیلی نزدیک مبداء قرار داده نشوند. اگرچه صفر جبران ساز اثر قطب حلقه - بسته ایجاد شده را که در نزدیکی آن است بسیار کم می‌کند ولی پاسخ بسیار کندگذرای ناشی از این قطب، موجب خرابی زمان استقرار سیستم خواهد شد.
- ۳- تضعیف ناشی از جبران ساز پس فاز، فرکانس تقاطع بهره را به یک نقطه فرکانسی پایین تر انتقال می‌دهد، که در آن حاشیه فاز قابل قبول باشد. بنابراین جبران ساز پس فاز، باعث کاهش پهنای باند سیستم می‌گردد. لذا پاسخ گذرای سیستم کندر خواهد گردید. دقت کنید که منحنی زاویه فاز $G(j\omega)$ در نزدیکی و بالای فرکانس تقاطع بهره جدید، تقریباً تغییری نمی‌کند.
- ۴- استفاده از جبران ساز پس فاز، موجب می‌گردد که در سیستم جبران شده حاشیه پایداری کاهش یابد. برای اجتناب از این پدیده نامطلوب، ثابت زمانی T را باید به اندازه کافی بزرگتر از بزرگترین ثابت زمانی سیستم انتخاب کرد.

۳-۴-۶ طراحی جبران سازهای پس - پیش فاز با استفاده از روش پاسخ فرکانسی
جبران سازهای پس - پیش فاز برای بهره گرفتن از مزایای هر دو جبران سازهای پس فاز و

پیش فاز طراحی می شوند و لذا مراحل طراحی آن براساس ترکیبی از روش‌های طراحی برای جبران سازهای نامبرده می باشد.

تابع تبدیل جبران ساز پس - پیش فاز عبارتست از

$$G_c(s) = K_c \frac{(T_1 s + 1)(T_2 s + 1)}{\left(\frac{T_1}{\beta} s + 1\right)(\beta T_2 s + 1)} \quad (6-4-6)$$

که در آن $\beta > 1$. قسمت پیش فاز جبران ساز (قسمت شامل T_1) با اضافه کردن زاویه پیش فاز و افزایش حاشیه فاز در فرکانس تقاطع بهره، منحنی پاسخ - فرکانسی را تغییر می دهد. در حالیکه قسمت پس فاز جبران ساز (قسمت شامل T_2), در نزدیک و بالای فرکانس تقاطع بهره تضعیفی ایجاد می کند و توسط آن امکان افزایش بهره در گستره فرکانس پایین پیدا می شود، که به نوبه خود به بهبود عملکرد حالت - ماندگار منجر می گردد.

مراحل طراحی یک جبران ساز پس - پیش فاز با استفاده از روش پاسخ - کانسی در زیر آمده است:

۱- تابع تبدیل حلقه - باز سیستم جبران شده در شکل ۶-۴-۶ با معادله (۶-۴-۶) عبارتست از

$$G_c(s)G(s) = K_c \frac{(T_1 s + 1)(T_2 s + 1)}{\left(\frac{T_1}{\beta} s + 1\right)(\beta T_2 s + 1)} G(s) \quad (7-4-6)$$

۲- نمودار بود تابع تبدیل (s) KG را رسم کنید. حاشیه بهره و حاشیه فاز سیستم جبران شده را محاسبه کنید. سپس فرکانس تقاطع بهره جدید را چنان انتخاب کنید که با زاویه پیش فاز لازم، حاشیه فاز مطلوب بدست آورده شود. همانند مرحله ۴ طراحی جبران ساز پیش فاز بخش ۶-۴-۱، با جایگزینی $\alpha = 1/\beta$ ، مقدار β را محاسبه کنید.

۳- پس از تعیین فرکانس تقاطع بهره جدید، فرکانس شکست قسمت پس فاز جبران ساز معادله (۶-۴-۶) را همانند مرحله ۳ طراحی جبران ساز پس فاز بخش ۶-۴-۲ محاسبه می کنیم. با تعیین T_2 و β بدست آمده در مرحله قبل، طراحی قسمت پس فاز تکمیل می شود.

۴- برای تعیین قسمت پیش فاز جبران ساز از منحنی دامنه نمودار بود تابع تبدیل $G(j\omega)$ ، مقدار دامنه تابع تبدیل را در فرکانس تقاطع بهره جدید پیدا می کنیم. جبران ساز پس -

پیش فاز باید نمودار دامنه تابع تبدیل جبران نشده را به گونه‌ای جبران کند که اندازه دامنه در این فرکانس dB شود. از این شرط، فرکانس شکست لازم برای جبران سازی را تعیین می‌کنیم.

۵- با رسم نمودار بود تابع تبدیل حلقه - باز جبران شده $G_c(j\omega)G(j\omega)$ ، دسترسی به مشخصه‌های عملکرد مطلوب را بررسی می‌کنیم. در صورت عدم دسترسی به این مشخصه‌ها، طراحی را دوباره انجام می‌دهیم.

مثال ۹-۶

تابع تبدیل حلقه - باز سیستمی با فیدبک واحد عبارتست از

$$G(s) = \frac{1}{s(s+0/6)(s+2)}$$

مطلوب است که ثابت خطای سرعت استاتیکی 15° (ثانیه)، حاشیه فاز 50° و حاشیه بهره سیستم جبران شده حداقل 15dB باشد.

برای جبران سیستم داده شده (که دارای پاسخ گذرا و ماندگار نامناسبی می‌باشد) از یک جبران ساز پس - پیش فاز داده شده با تابع تبدیل $(s+4-6)$ استفاده می‌کنیم. از شرط داده شده بروی ثابت خطای سرعت استاتیکی، بدست می‌آوریم

$$\begin{aligned} K_c &= \lim_{s \rightarrow 0} sG_c(s)G(s) = \lim_{s \rightarrow 0} sG_c(s) \frac{1}{s(s+0/6)(s+2)} \\ &= \frac{K_c}{1/2} = 15 \end{aligned}$$

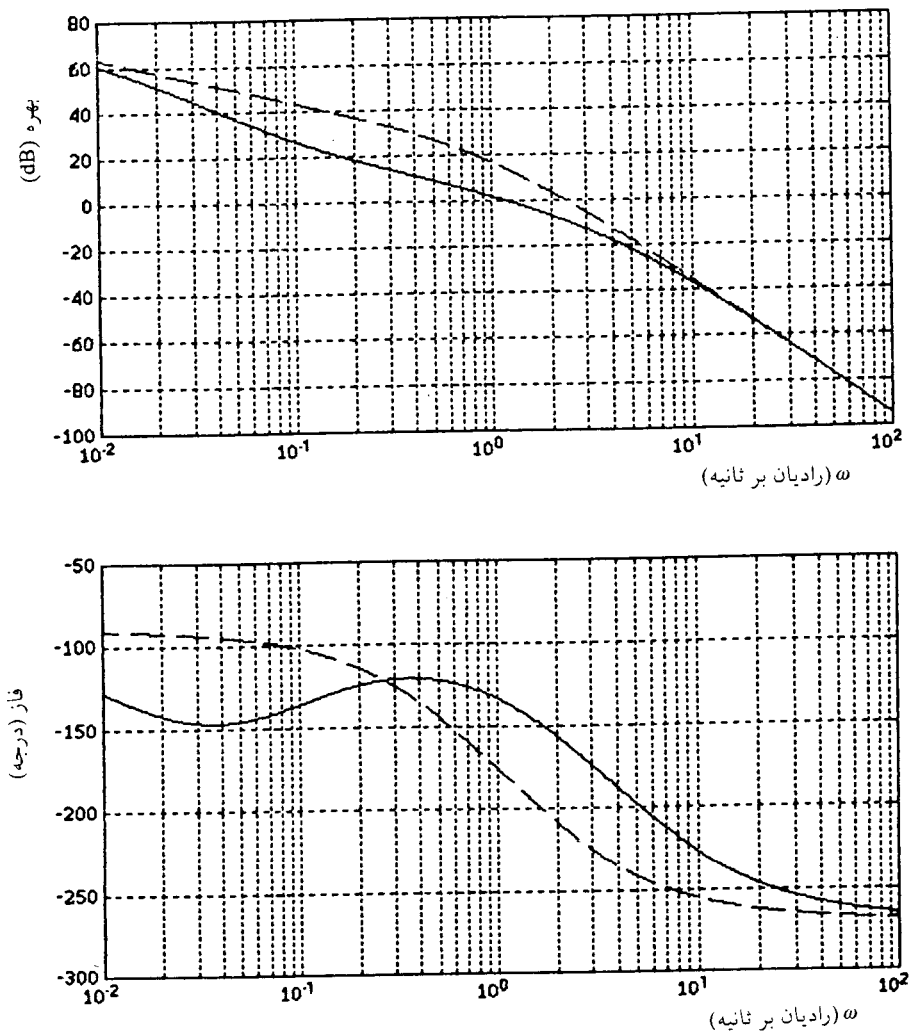
و یا

$$K_c = 18$$

دیاگرام بود سیستم جبران شده زیر

$$G_1(j\omega) = \frac{18}{j\omega(j\omega+0/6)(j\omega+2)}$$

در شکل ۶-۳۳ رسم شده است. زاویه فاز این تابع تبدیل حدوداً -230° است، که نشان می‌دهد زاویه پیش فاز لازم در این حالت 50° می‌باشد. با در نظر گرفتن خطای معمول در



شکل ۳-۶ نمودارهای دامنه و فاز تابع تبدیل سیستم جبران نشده و جبران شده

جبران ساز آن را ۵۵° فرض می‌کنیم.

نخستین قدم در طراحی یک جبران ساز پس-پیش فاز، انتخاب یک فرکانس تقاطع بهره جدید است. از نمودار زاویه فاز تابع تبدیل $(j\omega, G)$, دلیم که زاویه فاز $(j\omega, G)$ در $\omega = 1/1$ (رادیان بر ثانیه) برابر با -180° است. می‌توان فرکانس تقاطع بهره جدید را $1/1$ (رادیان بر ثانیه) انتخاب کرد. لذا زاویه پیش فاز لازم در $\omega = 1/1$ (رادیان بر ثانیه) حدوداً ۵۵° می‌باشد.

دقیقت کنید که این زاویه را می‌توان با یک جبران ساز پس - پیش فاز فراهم آورد.
بالاترین زاویه پیش فاز ϕ که از قسمت پیش فاز جبران ساز فراهم آورده می‌شود، رابطه
زیر را برآورده می‌سازد

$$\alpha = \frac{1}{\beta} = \frac{1 - \sin \phi}{1 + \sin \phi}$$

از این و

$$\beta = 10$$

با تعیین فرکانس تقاطع بهره جدید، فرکانس شکست قسمت پس فاز از جبران ساز پس -
پیش فاز را تعیین می‌کنیم. با انتخاب $\omega = 1/T_2$ (صفر قسمت پس فاز جبران ساز) یک دهه
پایین فرکانس تقاطع بهره جدید، تابع تبدیل قسمت پس فاز جبران ساز به صورت زیر بدست
می‌آید

$$\frac{s+0/11}{s+0/11}$$

برای طراحی قسمت پیش فاز تابع تبدیل جبران ساز، نخست مقدار دامنه تابع تبدیل را در
فرکانس تقاطع بهره جدید پیدا می‌کنیم. از شکل ۳۳-۶ داریم که $G(j\omega)$ برابر با 15dB
است. بنابراین جبران ساز پس - پیش فاز باید نمودار دامنه تابع تبدیل جبران نشده را به اندازه
 15dB در (رادیان بر ثانیه) $1/\omega$ جبران کند. برای آورده ساختن این شرط می‌توان خط
مستقیمی با شیب 20dB رسم کرد، که از نقطه $(1/\omega, 0)$ (رادیان بر ثانیه و -15dB) عبور کند. نقاط
قطع این خط با خطهای 0dB و -20dB - فرکانس‌های شکست قسمت پیش فاز جبران ساز را
بدست خواهند داد. بنابراین، تابع تبدیل قسمت پیش فاز جبران ساز پس - پیش فاز به صورت
زیر بدست خواهد آمد

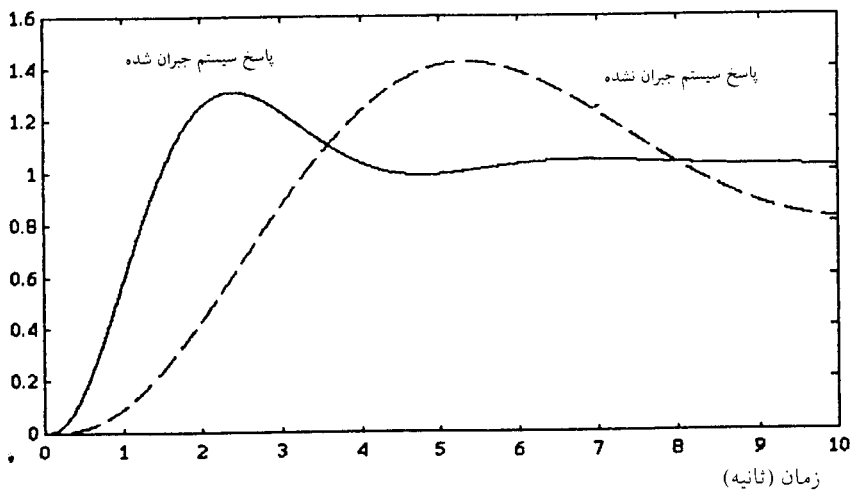
$$\frac{s+0/65}{s+6/5}$$

با ترکیب قسمتهای پس فاز و پیش فاز جبران ساز، تابع تبدیل جبران ساز عبارتست از

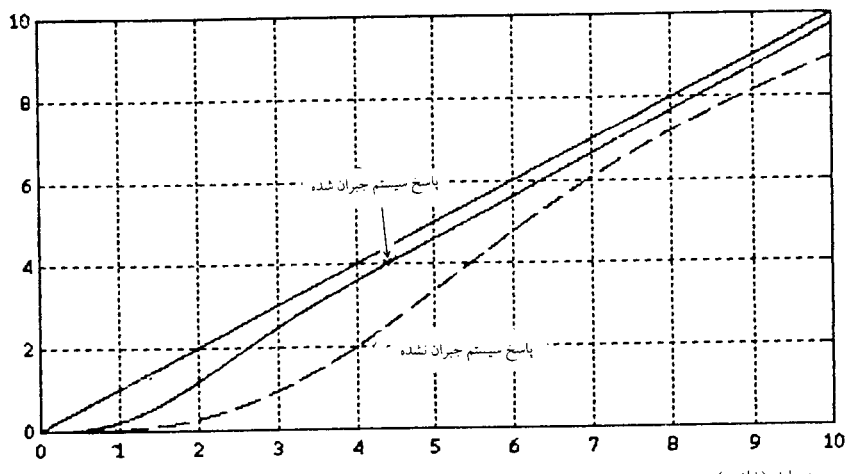
$$G_c(s) = \left(\frac{s+0/11}{s+0/11} \right) \left(\frac{s+0/65}{s+6/5} \right)$$

دیاگرام بود سیستم جبران شده $G_c(j\omega)G(j\omega)$ در شکل ۳۳-۶ رسم شده است. حاشیه‌های
بهره و فاز سیستم جبران شده به ترتیب حدوداً عبارتند از 15dB و 45° ، بنابراین کلیه

ملزومات طراحی برآورده شده است و پاسخهای پله واحد و شیب واحد سیستم‌های جبران نشده و جبران شده در شکل‌های ۳۴-۶ (الف) (ب) نشان داده شده‌اند.



(الف)



(ب)

شکل ۳۴-۶ خروجی‌های سیستم جبران نشده و جبران شده به ورودی‌های (الف) پله واحد (ب) شیب واحد

۴-۴-۶ جبران سازی با استفاده از چارت نیکولز

اصول طراحی جبران سازها با استفاده از چارت نیکولز، همان اصول طراحی جبران سازها با استفاده نمودارهای بود و نایکوئیست است. در اینجا نیز باید جبران سازی طراحی گردد تا چارت نیکولز را به گونه‌ای تغییر شکل دهد که مشخصه‌های عملکرد مطلوب پاسخ فرکانسی بدست آیند. با توجه به اینکه طراحی جبران سازهای پس فاز، پیش فاز و پس - پیش فاز را بطور مفصل در بخش‌های ۱-۴-۶ تا ۳-۴-۶ براساس مکان ریشه و نمودارهای بود بررسی کردیم، لذا در این بخش بدون ارایه مجدد جزئیات مراحل طراحی و جبران سازها تنها با بررسی دو مثال، کاربرد چارت نیکولز را در طراحی سیستم‌های کنترل نشان خواهیم داد. در مثال اول جبران سازی سیستم حلقه - باز با تغییر بهره به تنهایی امکان پذیر است و در مثال دوم از جبران ساز پیش فاز برای طراحی جبران ساز مناسب، سود خواهیم جست.

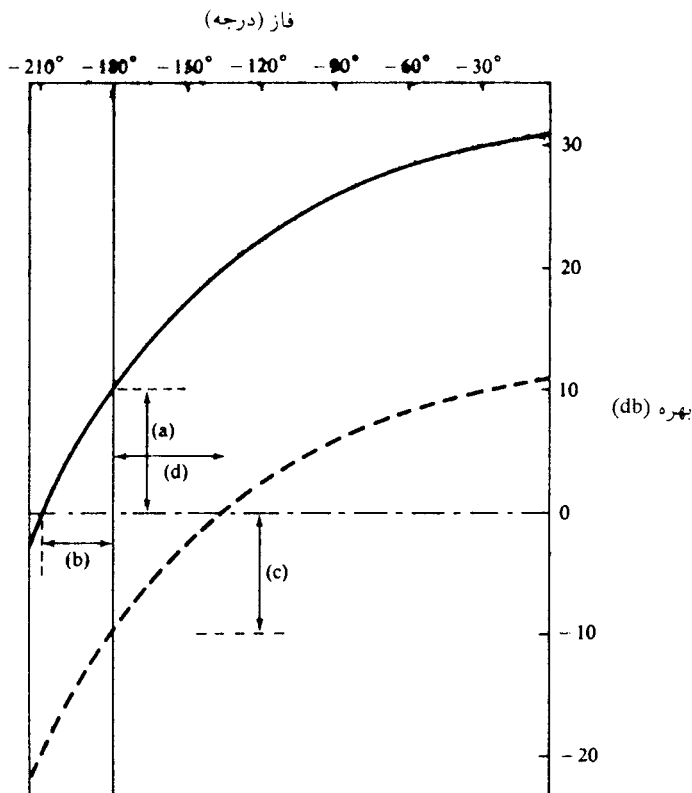
مثال ۱۰-۶

تابع تبدیل حلقه - باز سیستمی عبارتست از

$$G(j\omega) = \frac{200K}{(j\omega+1)(j\omega+2)(j\omega+3)}$$

نمودار بهره برحسب فاز این تابع تبدیل برای $K=1$ در شکل ۳۵-۶ رسم شده است. مطلوب آن است که سیستم حلقه - بسته دارای حاشیه فاز حداقل 40° و حاشیه بهره بین 8 تا 12 dB باشد. همانطور که از شکل ۳۵-۶ مشاهده می‌گردد، حاشیه فاز سیستم جبران نشده تقریباً $6/30$ - و حاشیه بهره آن $10/5$ dB است. با توجه به منفی بودن حاشیه‌های بهره و فاز، سیستم حلقه - بسته با فیدبک واحد ناپایدار است. در فرکانسی که زاویه فاز 180° می‌باشد، بهره تابع تبدیل جبران نشده $10/5$ dB است. اگر این بهره را به مقدار $20dB$ - کاهش دهیم، بهره کلی سیستم $9/5$ dB در زاویه فاز 180° - خواهد بود و لذا حاشیه فاز سیستم شده که در گستره تعیین شده قرار دارد.

افزایش بهره K باعث بالابدن نمودار بهره برحسب فرکانس برروی گلیه فرکانس‌ها شده و حال آنکه کاهش بهره K باعث پایین آوردن نمودار بهره برحسب فرکانس به همان مقدار در گلیه فرکانس‌ها می‌شود. بنابراین برای آنکه نمودار شکل ۳۵-۶ را به مقدار $20dB$ - کاهش دهیم



شکل ۶-۳۵ نمودار بهره بر حسب فاز برای مثال ۶-۱۰

سیستم جبران نشده، $K = 1$ (الف) حاشیه بهره (ب) حاشیه فاز

سیستم جبران شده، $K = 10$ (ج) حاشیه بهره (د) حاشیه فاز

بهره K را برابر با $1/0^\circ$ قرار می‌دهیم. با محاسبه حاشیه فاز پس از این جبران سازی توسط بهره در می‌یابیم که زاویه فاز سیستم در dB برابر با $-135/5^\circ$ است و لذا حاشیه فاز تقریباً $44/5^\circ$ می‌باشد که از مقدار حداقل تعیین شده بالاتر است.

چارت نیکولز یک جبران ساز پیش فاز در شکل ۶-۴ نشان داده شده است. زاویه فاز این جبران ساز در گستره میانه فرکانسی مثبت است. برای مقادیر کوچکتر α ، مقدار ستیغ فاز مثبت‌تر شده و مقدار بهره حالت ماندگار بر حسب dB بزرگ‌تر می‌شود ($\rightarrow \omega$).

چارت نیکولز یک جبران ساز پس فاز در شکل ۶-۸ نشان داده شده است. زاویه فاز این

جبران ساز در گستره میانه فرکانسی منفی است. برای مقادیر بزرگتر β مقدار ستیغ فاز منفی تر شده و مقدار بهره حالت - ماندگار برحسب dB بزرگتر می شود ($\omega \rightarrow 0$).

مثال ۱۱-۶

تابع تبدیل حلقه - باز زیر را در نظر بگیرید

$$G(j\omega) = \frac{20}{j\omega(j\omega+2)(j\omega+10)}$$

چارت نیکولز این تابع تبدیل در شکل ۳۶-۶، نشان داده شده است. از چارت نیکولز داریم که حاشیه فاز تابع تبدیل جبران نشده 40° و حاشیه بهره آن $21/6$ dB است. مطلوب است که حاشیه بهره سیستم جبران شده بین 8° تا 12° باشد و حاشیه فاز آن نیز بین 25° تا 30° باشد. همچنین شرایط حالت - ماندگار نیز تغییر محسوسی نکنند.

دقت کنید که در سیستم جبران نشده، رفتار حالت - ماندگار پاسخ رضایت‌بخش است، لیکن پاسخ گذراي آن بسیار کند است. شرایط عملکرد جدید موجبات سریعتر شدن پاسخ گذرا و حفظ حالت - ماندگار را فراهم می آوردد.

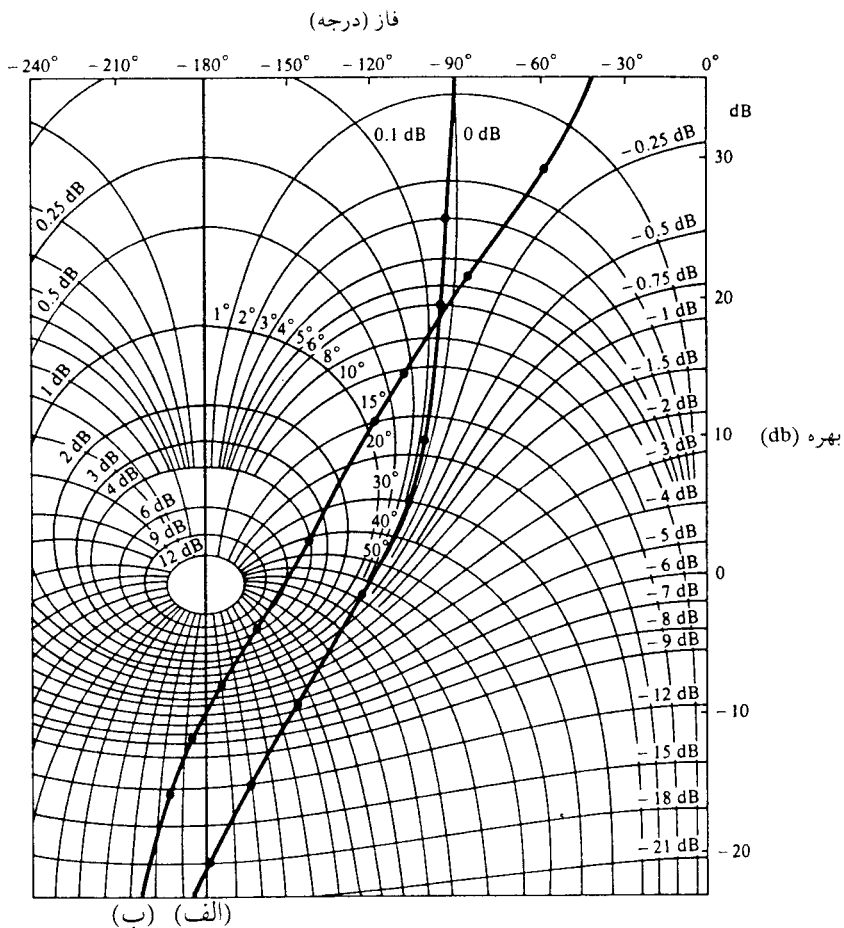
فرکانسی که در آن زاویه فاز تابع تبدیل جبران نشده، برابر با 180° است، $4/472$ رادیان بر ثانیه است و در این فرکانس باید یک افزایش 12 dB بهره داشته باشیم، ضمن آنکه فاز تابع تبدیل تغییر چندانی در این فرکانس نکند.

برای افزایش بهره به مقدار 4° ، می توان K_c را برابر با 4 قرار داد. برای آنکه در فرکانس های پایین این افزایش بهره باعث تغییر رفتار حالت - ماندگار نشود، باید آن را توسط رفتار جبران ساز در این ناحیه فرکانسی جبران کنیم. در واقع از تابع تبدیل جبران ساز پیش فاز داریم

$$\lim_{s \rightarrow 0} G_c(s) = \alpha = \frac{1}{4}$$

و لذا $\alpha = 25^\circ$. دقต کنید که در فرکانس های پایین، بهره کلی سیستم همانند قبل یک شده و در فرکانس های بالا بهره سیستم $12/0$ dB افزایش خواهد داشت.

اگر تغییری در زاویه فاز تابع تبدیل جبران نشده، در فرکانسی که برای آن بهره کلی $12/0$ dB بوده رخ ندهد، این فرکانس فرکانسی خواهد شد که در آن بهره کلی برای $(s) G_c(s)$ تابع تبدیل جبران نشده با تنظیم بهره B خواهد بود. با بکارگیری این فرکانس و معادله



شکل ۶-۶ چارت نیکولز مثال ۱۱-۶ (الف) سیستم جبران نشده (ب) سیستم جبران شده

زاویه فاز، حاشیه فاز سیستم را تعیین خواهیم کرد. با حل معادله زیر

$$|G(j\omega)| = \frac{20}{\omega(\omega^2 + 4)^{1/2}(\omega^2 + 100)} = 0/25 \quad [-12/44 \text{dB}]$$

داریم $\omega = 545$ رادیان بر ثانیه، در این فرکانس زاویه فاز تابع تبدیل را پیدا می‌کنیم

$$\angle G(j\omega) = -90^\circ - \tan^{-1} \left[\frac{\omega}{2} \right] - \tan^{-1} \left[\frac{\omega}{10} \right] = -154^\circ$$

و لذا حاشیه فاز تابع تبدیل $25/4^{\circ}$ است که در گستره تعیین شده 25° تا 35° می باشد. با این حاشیه بهره و حاشیه فاز اهداف طراحی برآورده شده‌اند و تنها مسئله تعیین فرکانس شکست یا صفر تابع تبدیل جبران ساز است که با انتخاب T باید به گونه‌ای تعیین گردد که تقریباً هیچ تغییر فازی در $2/454 = \omega$ رادیان بر ثانیه رخ ندهد. با سعی و خطا می‌توان دریافت که انتخاب $\frac{1}{\alpha T} = \frac{4}{245} < 0$ ، تضمین خواهد کرد که هیچ تغییر فازی از ناحیه جبران ساز در $\omega = 2/454 = 1/T = 0/0.25$ رادیان بر ثانیه رخ نمی‌دهد و از این‌رو می‌توان به عنوان نمونه $1/0.25 = 4/\alpha T$ را انتخاب کرد. بنابراین تابع تبدیل جبران ساز پیش فاز مناسب برای برآورده ساختن شرایط عملکرد داده شده عبارتست از

$$G_C(j\omega) = \frac{j\omega + 0/0.25}{j\omega + 0/1}$$

نمودار چارت نیکولز تابع تبدیل حلقه - باز جبران شده در شکل ۳۶-۶ نشان داده شده است. فرکانسی که در آن بهره dB است، تقریباً $2/453 = \omega$ رادیان بر ثانیه است و حال آنکه این فرکانس $7/90 = \omega$ رادیان بر ثانیه در سیستم جبران نشده بوده است. بنابراین با بکارگیری جبران ساز پیش فاز پهنه‌ای باند سیستم افزایش پیدا می‌کند و پاسخ گذرای سیستم به مقدار قابل ملاحظه‌ای بهبود یافته است. بعلاوه حاشیه‌های بهره و فاز نیز به ترتیب $9/9dB$ و $27/20^{\circ}$ هستند که در حد قابل قبولی می‌باشند.

مسایل

۱-۶. مدار الکترونیکی زیر با استفاده از تقویت کننده‌های عملیاتی را در نظر بگیرید:

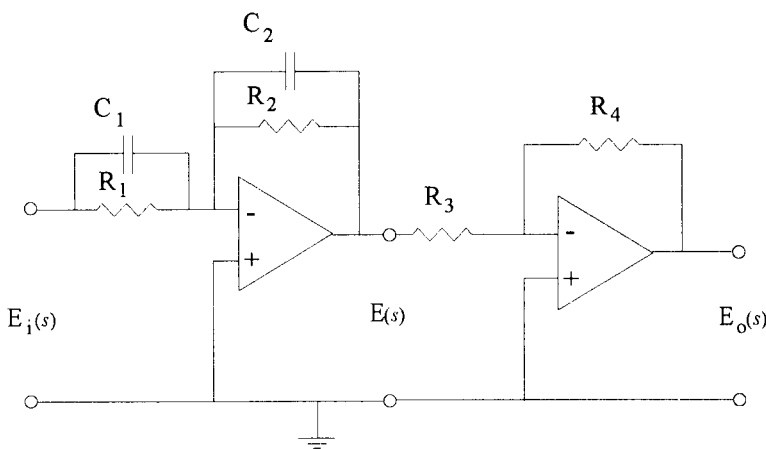
(الف) تابع تبدیل مدار را بنویسید.

(ب) نشان دهید که با انتخاب مناسب پارامترهای R_1 ، C_1 و R_2 ، C_2 این مدار می‌تواند تحقق فیزیکی یک جبران ساز پیش فاز یا پس فاز باشد.

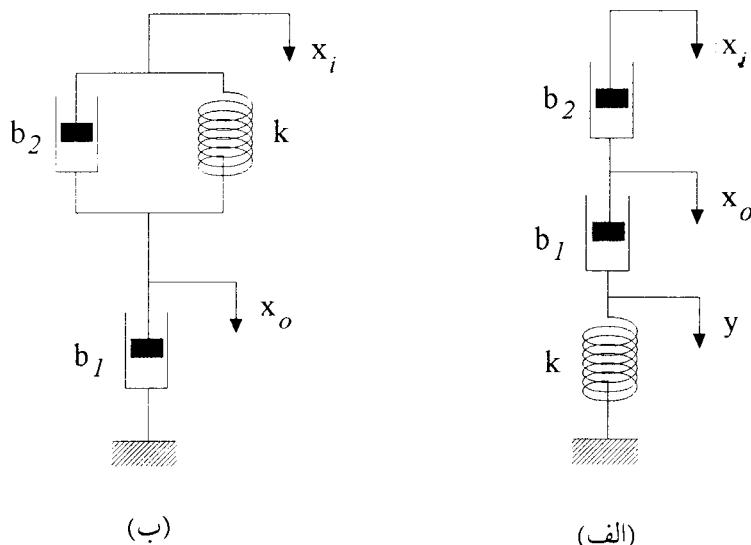
۲-۶. سیستم‌های مکانیکی زیر را در نظر بگیرید:

(الف) نشان دهید که سیستم مکانیکی شکل ۳۸-۶ (الف)، تحقق مکانیکی یک جبران ساز پیش فاز است.

(ب) نشان دهید که سیستم مکانیکی شکل ۳۸-۶ (ب)، تحقق مکانیکی یک جبران ساز پس فاز است.

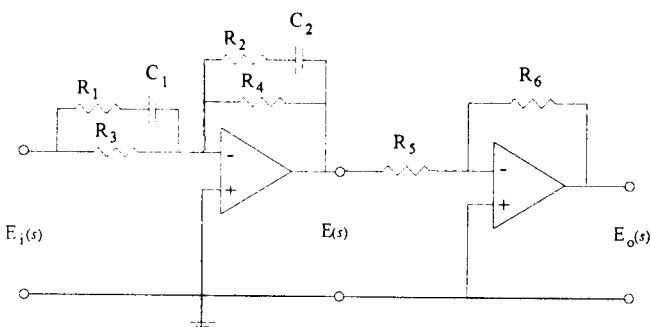


شکل ۳۷-۶



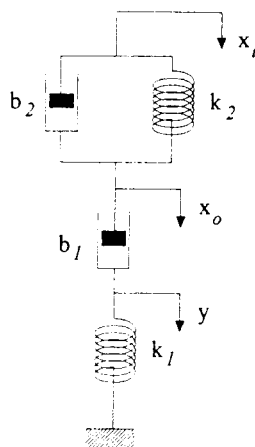
شکل ۳۸-۶

۶-۳-۶. مدار الکترونیکی زیر با استفاده از تقویت کننده های عملیاتی را در نظر بگیرید:
نشان دهید که این مدار تحقق فیزیکی یک جبران ساز پس - پیش فاز است.



شکل ۳۹-۶

۴-۶. مدار مکانیکی زیر را در نظر بگیرید:



شکل ۴۰-۶

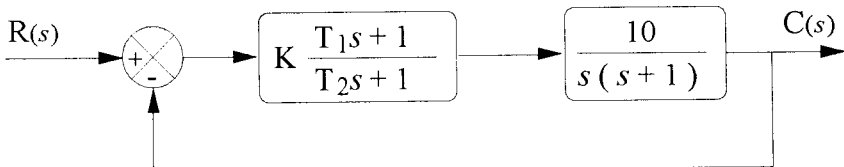
نشان دهید که این مدار تحقق مکانیکی یک جبران ساز پس - پیش فاز است.

۵-۶.تابع تبدیل حلقه - باز یک سیستم حلقه - بسته عبارتست از

$$G(s) = \frac{K}{s(s+1)(s+2)(s+3)}$$

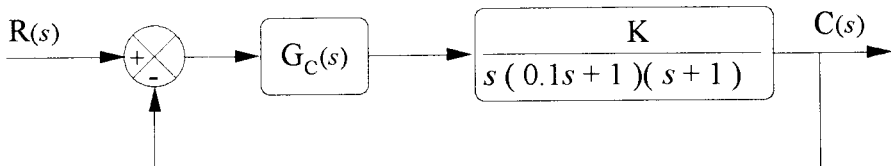
بهره K را چنان تعیین کنید که نسبت میرایی قطبهای حلقه - بسته سیستم 5° باشند.

۶-۶- مقادیر K , T_1 و T_2 سیستم نشان داده شده در شکل ۴۱-۶ را چنان پیدا کنید که، نسبت میرایی و فرکانس طبیعی غیر میرایی قطب‌های غالب حلقه - بسته سیستم به ترتیب، 5° و $\omega_n = 3$ (رادیان بر ثانیه) باشند.



شکل ۴۱-۶ سیستم کنترل مسئله ۶-۶

۷-۶- سیستم حلقه - بسته نشان داده شده در شکل ۴۲-۶ را در نظر بگیرید. یک جبران ساز پیش فاز ($G_C(s)$) چنان طراحی کنید که، حاشیه بهره سیستم حداقل 8dB , حاشیه فاز سیستم 45° و ثابت خطای سرعت K , برابر 4 (ثانیه) باشند.



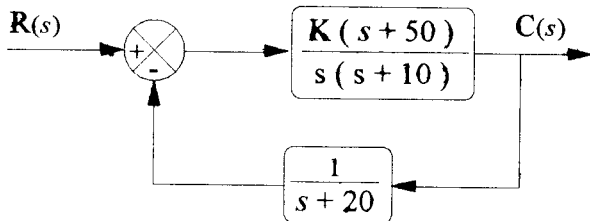
شکل ۴۲-۶ سیستم کنترل مسئله ۷-۶

۸-۶-تابع تبدیل حلقه - باز سیستمی عبارتست از

$$G(s) = \frac{25}{s(1 + \frac{1}{4}s)(1 + \frac{1}{16}s)}$$

مطلوب است که حاشیه‌های بهره و فاز سیستم به ترتیب حداقل $1/5\text{dB}$ و 15° باشند. پایداری سیستم حلقه - باز را بررسی کرده و با طراحی یک جبران ساز مناسب پیش فاز سیستم حلقه - بسته را جبران کنید.

۹-۶- برای سیستم نشان داده شده در شکل ۴۳-۶ بهره K را چنان تعیین کنید که حاشیه فاز سیستم حلقه - بسته حداقل 30° و حاشیه بهره آن حداقل 10dB باشد.



شکل ۴۲-۶ سیستم کنترل مسئله ۹-۶

۱۰-۶. تابع تبدیل حلقه - باز سیستمی عبارتست از

$$G(s) = \frac{40}{s(s+0/25)(1+0/25)}$$

سیستم حلقه - بسته با فیدبک واحد با یک جبران ساز سری

$$G_C(s) = \frac{0/1(1+0/15)}{1+0/0.15}$$

جبران شده است. با رسم مکان ریشه سیستم جبران نشده و سیستم جبران شده، اثر جبران سازی را بررسی کنید.

۱۱-۶. تابع تبدیل حلقه - باز سیستمی عبارتست از

$$G(s) = \frac{K_v}{s(1+0/25)(1+0/0.625)}$$

با رسم نمودار بود سیستم جبران نشده، پایداری آنرا بررسی کنید. یک جبران ساز پس - پیش فاز چنان طراحی کنید که حاشیه بهره سیستم جبران شده حداقل 50° باشد.

۱۲-۶. تابع تبدیل حلقه - باز سیستمی عبارتست از

$$G(s) = \frac{4}{s(s+0/5)}$$

با رسم نمودار بود سیستم جبران نشده، یک جبران ساز پس - پیش فاز چنان طراحی کنید که نسبت میرایی قطب‌های حلقه - بسته $0/5$ ، فرکانس طبیعی غیر میرای آنها 5 (رادیان بر ثانیه) و ثابت خطای سرعت استاتیکی سیستم جبران شده 1 (ثانیه) 80 باشد.

۱۴-۶- تابع تبدیل جبران نشده سیستمی عبارتست از

$$G(s) = \frac{K}{s(0.5s + 1)}$$

با رسم نمودار بود سیستم، یک جبران ساز پس فاز، چنان طراحی کنید که ثابت خطای سرعت استاتیکی آن حداقل 1° (ثانیه) 20 بوده و حاشیه فاز آن نیز 45° باشد.

۱۴-۶- تابع تبدیل حلقه - باز سیستمی عبارتست از

$$G(s) = \frac{K}{s^2}$$

با بکارگیری نمودار مکان ریشه سیستم، جبران ساز پیش فازی چنان طراحی کنید که سیستم جبران شده مشخصه های زیر را برآورده سازد:

زمان استقرار حداکثر 4 ثانیه ، فراجهش حداکثر برای پاسخ پله واحد کمتر از 30%

۱۵-۶- سیستم کنترل نشان داده شده در شکل ۴۴-۶ را در نظر بگیرید. بهره های K و K_h را چنان تعیین کنید که مشخصه های طراحی زیر برآورده گردند:

۱- نسبت میرایی قطب های حلقه - بسته برابر با $5/0$

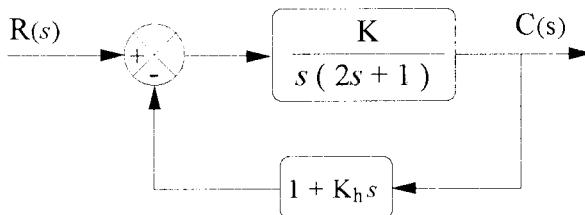
۲- زمان استقرار کوچکتر یا مساوی 2 ثانیه

۳- ثابت خطای سرعت استاتیکی بزرگتر یا مساوی 1° (ثانیه) 50

$$0 < K_h < 4$$

۱۶-۶- تابع تبدیل حلقه - باز سیستمی عبارتست از

$$G(s) = \frac{40}{s(s+2)(s+8)}$$



شکل ۱۵-۶ ۴۴-۶ سیستم کنترل مسئله

یک جبران ساز پیش فاز برای سیستم چنان طراحی کنید که حاشیه فاز آن 45° و حاشیه بهره آن 10 dB باشند. این جبران ساز را با استفاده از (الف) دیاگرام بود، (ب) چارت نیکولز طراحی کنید.

۶-۱۷- تابع تبدیل حلقه - باز سیستمی عبارتست از

$$G(s) = \frac{K}{s(s+5)(s+10)}$$

یک جبران ساز پس فاز برای سیستم چنان طراحی کنید که حاشیه فاز آن 45° و حاشیه بهره آن 10 dB باشند. این جبران ساز را با استفاده از (الف) مکان ریشه (ب) چارت نیکولز طراحی کنید.

- مراجع فصل ششم -

- [6-1] Truxal J. G., *Control systems synthesis*, McGraw-Hill Book Company, New York, 1955.
- [6-2] Evans W. R., *Control systems synthesis by the root locus method*, Trans. AIEE, Vol. 69, pp 66, 1950.
- [6-3] Horowitz I. M., *Synthesis of feedback systems*, Academic Press, 1963.
- [6-4] MacFarlane A. G. J., *Frequency response methods in control systems*, IEEE Press, 1979.
- [6-5] Bode H. W., *Network analysis and feedback design*, New York, Van Nostrand Reinhold, 1945.
- [6-6] Ziegler J. G. and Nichols N. B., *Optimum settings for automatic controllers*, ASME Trans, 64, pp 759-768, 1942.
- [6-7] Astrom K. J. and B. Wittenmark, *Adaptive Control*, Addison-Wesley, 1995.
- [6-8] Leigh J. R., *Applied control theory*, IEE Series in Control Engineering, No. 18, 1987.
- [6-9] Marshall J. E., *Control of Time delay systems*, IEE Series in Control Engineering, No. 10., 1978.
- [6-10] Porter B., *Genetic design of control systems*, J. SICE, Vol. 34, No. 5, May 1995.

کتاب شناسی

در این فصل تنها جبران سازهای سری مورد بررسی قرار گرفته‌اند، برای آشنایی با سایر روش‌های جبران سازی (مانند جبران سازی پیشرو و فیدبک) می‌توان به مراجع [11] و [3] مراجعه کرد. مراجع [6-1]، [6-3] و [6-4] و [6-5] جزء اولین کتابهایی هستند که در زمینه طراحی سیستم‌های کنترل کلاسیک نوشته شده‌اند، لذا برای بررسی اولین روش‌های طراحی سیستم‌های کنترل می‌توان به این مراجعه مراجعه نمود.

روش‌های بسیاری برای تعیین قطب و صفر جبران سازهای پس فاز، پیش فاز و پس - پیش فاز وجود دارد. یکی از سر راست‌ترین این روش‌ها در مرجع [2] آورده شده است. روش‌های مؤثر دیگری نیز برای تعیین قطبها و صفرهای جبران سازها وجود دارند، برای مثال می‌توان به روش‌های ارایه شده در مراجع [1]، [3]، [4] و [25] اشاره کرد، که عمدتاً با روش‌های ارایه شده در [2] متفاوت می‌باشند و در طراحی سیستم‌های خطی کنترل به طور مؤثری می‌توانند مورد استفاده قرار گیرند. مبحث مهم جبران سازی با حذف صفر - قطب در فصل نهم [3] مورد بررسی قرار گرفته است. کنترل کننده‌های PID نیز که به صورت حالت خاصی از جبران سازها در این فصل ارایه گردیدند، خود از مهم‌ترین نوع کنترل کننده‌های صنعتی می‌باشند. برای مطالعه این کنترل کننده‌ها و طراحی آنها با مکان ریشه و نمودارهای پاسخ فرکانس به مراجع [2] و [3] مراجعه شود. روش‌های تنظیم پارامترهای این کنترل کننده‌ها در فصل هشتم [6-7]، چهارم [6-8] و همچنین مقاله [6-6] مفصل‌آمده بودند. مرجع [6-8] روش‌های مختلف طراحی کنترل کننده‌های کاربردی را به طور نسبتاً ساده‌ای ارایه کرده است. برای یک روش تنظیم هوشمند پارامترهای کنترل کننده PID به مرجع [10-6] مراجعه کنید.

طراحی جبران سازها با چارت نیکولز نیز به طور مفصل در مراجع [1] و [3]، آمده است. مرجع [17]، روش‌های طراحی را به طور خلاصه فشرده با ارایه فلوچارت مناسب برای سیستم‌های زمان - پیوسته و زمان - گستته آورده است و برای یک مراجعه سریع، و سطحی مناسب است. در مرجع [18] تحقیق فیزیکی بسیاری از کنترل کننده‌ها و جبران سازها، به صورت مدارات الکترونیکی داده شده است و لذا برای یک مطالعه کاربردی و سخت‌افزاری کنترل کننده‌ها و جبران سازها مناسب می‌باشد.

یکی از مراجعی که کاربرد نمودارهای نایکوئیست و معکوس آنها را در طراحی بطور

مختصر در نظر گرفته است [5] می‌باشد. برای بررسیهای ساده در طراحی به کمک نمودارهای نایکوئیست از این مرجع استفاده شود.

بسیاری از سیستم‌های صنعتی دارای تأخیر می‌باشند. از این‌رو طراحی سیستم‌های کنترل برای سیستم‌های تأخیردار می‌تواند بسیار مهم باشد. مرجع [6-9] این مطلب را به طور مشخص مورد بحث قرار داده است.

۷

تحلیل و طراحی سیستم‌های کنترل در فضای حالت

اهداف فصل:

- ۱- آشنایی با مفاهیم فضای حالت
- ۲- حل معادلات حالت و خروجی
- ۳- کاربرد تبدیل لاپلاس در فضای حالت
- ۴- آشنایی با معادله مشخصه سیستم و نقش آن در تحلیل سیستم
- ۵- معرفی ایده‌های کنترل پذیری و رؤیت پذیری
- ۶- حذف صفر - قطب درتابع تبدیل و تحلیل آن در فضای حالت
- ۷- طراحی سیستم‌های کنترل در فضای حالت: جایابی قطب
- ۸- آشنایی با رؤیتگرها و تخمین متغیرهای حالت سیستم

۱-۷ مقدمه

در بخش ۵-۲ با توصیف فضای حالت سیستم‌های کنترل آشنا شدیم. معادلات حالت و خروجی یک سیستم با چند ورودی و چند خروجی در حالت کلی، عبارتند از

$$\dot{\mathbf{x}}(t) = \mathbf{A}\mathbf{x}(t) + \mathbf{B}\mathbf{u}(t)$$

$$\mathbf{y}(t) = \mathbf{C}\mathbf{x}(t) + \mathbf{D}\mathbf{u}(t)$$

که همان معادله (۱۳-۵-۲) می‌باشد. در این معادلات $\mathbf{x}(t)$ بردار n -بعدی حالت، $\mathbf{u}(t)$ بردار m -بعدی ورودی و $\mathbf{y}(t)$ بردار l -بعدی خروجی، \mathbf{A} ماتریس $n \times n$ حالت، \mathbf{B} ماتریس $n \times m$ ورودی، \mathbf{C} ماتریس $l \times n$ خروجی و \mathbf{D} ماتریس $l \times m$ انتقال سیستم هستند. این نحوه نمایش، برای توصیف سیستم‌های پیچیده صنعتی با چند ورودی و چند خروجی بسیار مناسب است و همانطور که در این فصل خواهیم دید، بسیاری از محاسبات خسته کننده در تحلیل و طراحی این سیستم‌ها را می‌توان به سادگی در فضای حالت توسط یک کامپیوتر انجام داد.

شوری کنترل کلاسیک یا سنتی^۱، که قسمت اعظم این کتاب در فصلهای ۲ تا ۶ به آن اختصاص دارد، براساس رابطه ورودی - خروجی یا تابع تبدیل در حوزه s بنا نهاده شده است و بسیاری از این تئوری‌ها برای سیستم‌های چند ورودی و چند خروجی و یا سیستم‌های مرتبه بالا صورت بسیار پیچیده‌ای به خود می‌گیرند. حال آنکه در بخش ۵-۲ مشاهده شد که تابع تبدیل هر سیستمی از هر مرتبه‌ای و می‌توان به یک دسته از n معادلات دیفرانسیل مرتبه اول تبدیل کرد و به صورت معادلات فضای حالت مرتبه اول بالا نمایش داد. این نمایش بردار - ماتریسی، توصیف ریاضی سیستم‌های مرتبه بالا را بسیار ساده می‌کند و افزایش تعداد متغیرهای حالت (مرتبه سیستم یا تعداد قطب‌های تابع تبدیل برای یک نمایش می‌نیمال)، تعداد ورودیها یا تعداد خروجیها هیچکدام پیچیدگی معادلات را افزایش نمی‌دهد. در واقع تحلیل سیستم‌های بسیار پیچیده چند ورودی و چند خروجی را می‌توان با روش‌هایی انجام داد که تنها اندکی از روش‌های تحلیل سیستم مرتبه یک اسکالر پیچیده‌تر می‌باشند. (آیا

این چنین ادعایی در رابطه با تحلیلهای ارایه شده در فصلهای قبل براساس روابط ورودی و خروجی ڈامکان پذیر است؟)

در این فصل علاوه بر تحلیل، به طراحی در فضای حالت نیز خواهیم پرداخت. در فصل ششم، طراحی کلاسیک یا سنتی سیستم‌های کنترل براساس روشهای ترسیمی مکان ریشه، نمودارهای بود، تایکوئیست و چارت نیکولز را بررسی کردیم. مشخصه‌های این طراحیها عبارتند از:

- تنها پارامترهای مهم، ورودی، خروجی و سیگنال خطأ هستند.
- طراحیها براساس تابع تبدیل حوزه دانجام می‌گیرد.
- تنها به سیستم‌های خطی، تغییرناپذیر با زمان، یک ورودی و یک خروجی قابل اعمالند.
- روشهای کلاسیک طراحی را نمی‌توان در طراحی بهینه و یا تطبیقی سیستم‌های کنترل که عمدها تغییرپذیر با زمان و یا غیر خطی هستند بکار بست.
- روشهای طراحی براساس سعی و خطأ هستند و سیستم‌های کنترل طراحی شده توسط افراد مختلف یا یک فرد در دفعات متعدد با هم متفاوت هستند. لذا این سیستم‌ها یک سیستم بهینه را در حالت کلی بدست نخواهند داد.
- در طراحیها کلاسیک سیستم‌های کنترل، شرایط اولیه سیستم نادیده گرفته می‌شود. از طرف دیگر، طراحی سیستم‌های کنترل در فضای حالت دست‌یابی به موقعیت مطلوب قطبها (یا معادله مشخصه) را امکان‌پذیر می‌سازد و بسادگی می‌توان سیستم‌هایی را طراحی کرد که نسبت به یک شاخص عملکرد تعیین شده بهینه باشند. در این طراحیها، عامل سعی و خطأ به حداقل می‌رسد و طراحی سیستم‌های چند متغیره نیز به همین ترتیب انجام می‌پذیرد. با توجه به اینکه روشهای فضای حالت حوزه زمانی هستند، انجام محاسبات لازم را می‌توان بسادگی توسط یک کامپیوتر دیجیتال انجام داد. در این فصل جهت آشنایی با این طراحیها، تنها به ساده‌ترین نوع طراحی که جایای قطب با فیدبک حالت و طراحی رؤیتگر است می‌پردازیم و اشاره بسیار مختصراً نیز به کنترل بهینه خواهیم نمود. در تحلیل و طراحیها این فصل تنها سیستم‌های خطی و تغییرناپذیر با زمان در نظر گرفته خواهد شد.

۲-۷ حل معادلات حالت و خروجی

معادله حالت و خروجی زیر را در نظر بگیرید

$$\dot{x}(t) = Ax(t) + Bu(t) \quad (1-2-7)$$

$$y(t) = Cx(t) \quad (2-2-7)$$

اگر معادله حالت (۱-۲-۷) را به ازاء یک ورودی معین و شرایط اولیه داده شده حل کنیم، پاسخ متغیرهای حالت سیستم را به ورودی اعمال شده به سیستم بدست می‌آوریم. با جایگزینی بردار حالت محاسبه شده $x(t)$ از معادله (۱-۲-۷) در معاله خروجی (۲-۲-۷) پاسخ سیستم را به ازاء همان ورودی و شرایط اولیه بدست آورده‌ایم. دقت کنید که اگر برای مثال، معادلات حالت و خروجی (۱-۲-۷) و (۲-۲-۷) معادلات توصیف کننده مدار الکتریکی در نظر گرفته شده در مثال ۳-۵-۲ باشند، برای ولتاژ اعمال شده به مدار، رفتار متغیرهای حالت که در این مثال جریان حلقه اول و ولتاژ خازن هستند را می‌توان با حل معادله (۱-۲-۷) تعیین کرد. رفتار خروجی مدار که همان ولتاژ خازن است نیز در حالت کلی از معادله (۲-۲-۷) بدست آورده می‌شود.

معادله حالت (۱-۲-۷) از دو قسمت همگن^۱، $(t)Ax$ و تابع وادراند^۲، $(t)Bu$ تشکیل می‌شود. قبل از آنکه به حل کامل معادله حالت پردازیم، معادله اسکالر دیفرانسیل زیر را در نظر بگیرید

$$\dot{x}(t) = ax(t) \quad (3-2-7)$$

که در آن a یک اسکالر است و شرایط اولیه معادله دیفرانسیل $x(t_0)$ است. پاسخ معادله (۳-۲-۷) عبارتست از

$$x(t) = e^{a(t-t_0)}x(t_0) \quad (4-2-7)$$

جایگزینی معادله (۴-۲-۷) در معادله (۳-۲-۷) بسادگی نشان خواهد داد که معادله (۴-۲-۷) پاسخ معادله (۳-۲-۷) است. اکنون اگر معادله همگن حالت را به صورت زیر در نظر بگیریم

$$\dot{x}(t) = Ax(t) \quad (5-2-7)$$

1- Homogeneous part

2- Forcing function

از مقایسه معادله های (۷-۲-۵) و (۷-۲-۳)، پاسخ قسمت همگن معادله حالت ($u(t) \equiv 0$) عبارتست از

$$x(t) = e^{A(t-t_0)} x(t_0) \quad (7-2-7)$$

که در آن ($x(t_0)$) بردار اولیه حالت است. مسئله اصلی در محاسبه $x(t)$ بددست آوردن تابع نمائی ماتریس A ، $\exp[At]$ است. همانطور که تابع نمائی e^{at} در معادله (۷-۲-۴) را می توان برای $t = 0$ به صورت سری بی نهایت زیر محاسبه کرد

$$e^{at} = 1 + \frac{at}{1!} + \frac{(at)^2}{2!} + \frac{(at)^3}{3!} + \dots + \frac{(at)^k}{k!} + \dots \quad (7-2-7)$$

تابع نمائی ماتریس A در معادله (۷-۲-۶) نیز برای $t = 0$ مانند سری بی نهایت ($7-2-7$) محاسبه می گردد. داریم

$$e^{At} = \exp[At] = 1 + \frac{At}{1!} + \frac{(At)^2}{2!} + \frac{(At)^3}{3!} + \dots + \frac{(At)^k}{k!} + \dots \quad (8-2-7)$$

بنابراین $\exp[At]$ نیز یک ماتریس مربع با اندازه A است. به ماتریس $\exp[At]$ ماتریس انتقال حالت^۱ یا ماتریس اساسی^۲ گفته می شود. با توجه به اهمیت ماتریس انتقال حالت، روشهای زیادی نیز برای محاسبه این ماتریس وجود دارد که برای دستیابی به آنها، در صورت نیاز به مرجع اول همین فصل مراجعه شود.

روش تبدیل لاپلاس در حل معادله همگن حالت ($0 \equiv (s)U$). با گرفتن تبدیل لاپلاس از معادله (۷-۲-۵) برای $t = 0$ ، بددست می آوریم

$$sX(s) - X(0) = AX(s) \quad (9-2-7)$$

و با

$$[sI - A]X(s) = X(0) \quad (10-2-7)$$

با ضرب کردن طرفین معادله (۱۰-۲-۷) در $[sI - A]^{-1}$ در ، داریم
 $X(s) = [sI - A]^{-1} X(0) \quad (11-2-7)$

با گرفتن عکس تبدیل لاپلاس از معادله (۱۱-۲-۷)، برای کلید ≥ 1 بددست می آوریم

$$\mathbf{x}(t) = \mathcal{L}^{-1} \left\{ [sI - A]^{-1} \right\} \mathbf{x}(0) \quad (12-2-7)$$

مقایسه معادله های (12-2-7) و (6-2-7)، نتیجه می دهد

$$e^{At} = \mathcal{L}^{-1} \left\{ [sI - A]^{-1} \right\} \quad (13-2-7)$$

معادله (13-2-7)، روش تبدیل لاپلاس برای محاسبه ماتریس انتقال حالت است.
اگر ماتریس انتقال حالت را با $\Phi(t)$ نمایش دهیم، معادله های (12-2-7) و (13-2-7)،

عبارتند از

$$\mathbf{x}(t) = \Phi(t) \mathbf{x}(0) \quad (14-2-7)$$

معادله (14-2-7) را پاسخ ورودی - صفر¹ معادله حالت (با $t=0$) می نامند.

مثال ۱-۷

پاسخ سیستم زیر

$$\dot{\mathbf{x}}(t) = \begin{bmatrix} 0 & 1 \\ -3 & -4 \end{bmatrix} \mathbf{x}(t)$$

را برای بردار اولیه حالت $\mathbf{x}(0) = [1 \ 0]^T$ بدست آورید.

نخست ماتریس انتقال حالت را تعیین می کنیم. برای تعیین این ماتریس داریم

$$sI - A = \begin{bmatrix} s & 0 \\ 0 & s \end{bmatrix} - \begin{bmatrix} 0 & 1 \\ -3 & -4 \end{bmatrix} = \begin{bmatrix} s & -1 \\ 3 & s+4 \end{bmatrix}$$

معکوس ماتریس $[sI - A]$ عبارتست از

$$[sI - A]^{-1} = \frac{1}{(s+3)(s+1)} \begin{bmatrix} s+4 & 1 \\ -3 & s \end{bmatrix}$$

ماتریس انتقال حالت را با گرفتن عکس تبدیل لاپلاس از معادله بالا و به کارگیری یک جدول تبدیل لاپلاس، بدست می آوریم

$$\Phi(t) = \mathcal{L}^{-1} \left\{ [sI - A]^{-1} \right\}$$

$$= \frac{1}{2} \begin{bmatrix} 2e^{-t} - e^{-3t} & e^{-t} - e^{-3t} \\ 3e^{-3t} - 3e^{-t} & 3e^{-3t} - e^{-t} \end{bmatrix}$$

1- Zero-input response

معادله (۱۴-۲-۷)، پاسخ سیستم را به شرایط اولیه داده شده می‌دهد. لذا

$$\begin{aligned} x(t) &= \Phi(t)x(0) \\ &= \frac{1}{2} \begin{bmatrix} 2e^{-t} - e^{-2t} & e^{-t} - e^{-2t} \\ 2e^{-2t} - 2e^{-t} & 2e^{-2t} - e^{-t} \end{bmatrix} \begin{bmatrix} 1 \\ -1 \end{bmatrix} \\ &= \frac{1}{2} \begin{bmatrix} 2e^{-t} \\ -2e^{-t} \end{bmatrix} = \begin{bmatrix} e^{-t} \\ -e^{-t} \end{bmatrix} \end{aligned}$$

حل کامل معادلات حالت و خروجی. معادله اسکالر دیفرانسیلی زیر را در نظر بگیرید

$$\dot{x}(t) = ax(t) + bu(t) \quad (15-2-7)$$

معادله (۱۵-۲-۷) را به صورت زیر بازنویسی کنید

$$\dot{x}(t) - ax(t) = bu(t) \quad (16-2-7)$$

با ضرب طرفین معادله (۱۶-۲-۷) در e^{-at} ، بدست می‌آوریم

$$e^{-at} [\dot{x}(t) - ax(t)] = \frac{d}{dt} [e^{-at}x(t)] = e^{-at}bu(t)$$

انتگرال‌گیری از این معادله بین ۰ و t می‌دهد

$$x(t) = e^{at}x(0) + e^{at} \int_0^t e^{-a\tau} bu(\tau) d\tau \quad (17-2-7)$$

اولین عبارت در معادله (۱۷-۲-۷) ناشی از شرایط اولیه ($x(0)$) است، و دومین عبارت در پاسخ به ورودی $u(t)$ بدست آمده است.

معادله حالت زیر را در نظر بگیرید

$$\dot{x}(t) = Ax(t) + Bu(t) \quad (18-2-7)$$

که در آن $x(t)$ بردار n -بعدی، $u(t)$ بردار m -بعدی، A ماتریس ثابت $n \times n$ و B ماتریس ثابت $n \times m$ است. با مقایسه معادله اسکالر (۱۵-۲-۷)، و معادله بردار ماتریسی (۱۸-۲-۷)، و با استفاده از روندی مانند مراحل بالا، پس از بازنویسی معادله (۱۸-۲-۷)، و پیش ضرب کردن طرفین معادله بازنویسی شده در e^{-At} ، داریم

$$e^{-At} [\dot{x}(t) - Ax(t)] = \frac{d}{dt} [e^{-At}x(t)] = e^{-At}Bu(t) \quad (19-2-7)$$

انتگرال‌گیری از طرفین معادله (۲-۷-۱۹)، بین 0 و t ، بدست می‌دهد

$$e^{-At} \mathbf{x}(t) = \mathbf{x}(0) + \int_0^t e^{-A\tau} B u(\tau) d\tau \quad \text{و یا}$$

$$\mathbf{x}(t) = e^{At} \mathbf{x}(0) + \int_0^t e^{A(t-\tau)} B u(\tau) d\tau \quad (20-2-7)$$

معادله (۲۰-۲-۷)، پاسخ کامل معادله حالت سیستم به ورودی $u(t)$ با شرایط اولیه $\mathbf{x}(0)$ است. اگر $\mathbf{x}(0) = 0$ باشد، آنگاه با جایگزینی بردار اولیه حالت صفر در معادله (۲۰-۲-۷)، پاسخ حالت - صفر^۱ سیستم بدست خواهد آمد.

با جایگزینی $\mathbf{x}(t)$ در معادله خروجی $y(t) = Cx(t)$ ، پاسخ سیستم (خروجی) به ورودی معین با شرایط اولیه داده شده به صورت زیر بدست می‌آید

$$y(t) = Ce^{At} \mathbf{x}(0) + \int_0^t Ce^{A(t-\tau)} B u(\tau) d\tau \quad (21-2-7)$$

روش تبدیل لاپلاس در حل معادله کامل حالت و خروجی. با گرفتن تبدیل لاپلاس از معادله (۱۸-۲-۷)، داریم

$$sX(s) - \mathbf{x}(0) = AX(s) + BU(s) \quad (22-2-7)$$

بازنویسی معادله (۲۲-۲-۷)، می‌دهد

$$X(s) = [sI - A]^{-1} \mathbf{x}(0) + [sI - A]^{-1} BU(s) \quad (23-2-7)$$

عکس تبدیل لاپلاس معادله (۲۳-۲-۷)، عبارتست از

$$\mathbf{x}(t) = \mathcal{L}^{-1} \left\{ [sI - A]^{-1} \right\} \mathbf{x}(0) + \mathcal{L}^{-1} \left\{ [sI - A]^{-1} BU(s) \right\} \quad (24-2-7)$$

با استفاده از انتگرال کانولوشنی و نمایش $\Phi(t)$ ، معادله (۲۴-۲-۷) می‌دهد

$$\mathbf{x}(t) = \Phi(t) \mathbf{x}(0) + \int_0^t \Phi(t-\tau) u(\tau) d\tau \quad (25-2-7)$$

در معادله‌های (۲۰-۲-۷)، (۲۱-۲-۷) و (۲۵-۲-۷) فرض کردہ‌ایم که زمان اولیه $\mathbf{x}(0) = 0$ باشد.

برای $t \neq t_0$ می‌توان به طور مشابهی از مراحل بالا برای تعیین پاسخ سیستم استفاده کرد. در این صورت

$$\mathbf{x}(t) = e^{A(t-t_0)} \mathbf{x}(t_0) + \int_{t_0}^t e^{A(t-\tau)} B u(\tau) d\tau \quad (26-2-7)$$

و

$$\mathbf{y}(t) = C e^{A(t-t_0)} \mathbf{x}(t_0) + \int_{t_0}^t C e^{A(t-\tau)} B u(\tau) d\tau \quad (27-2-7)$$

مثال ۲-۷

سیستم زیر را در نظر بگیرید

$$\begin{aligned}\dot{\mathbf{x}}(t) &= \begin{bmatrix} 0 & 1 \\ -3 & -4 \end{bmatrix} \mathbf{x}(t) + \begin{bmatrix} 0 \\ 1 \end{bmatrix} u(t) \\ \mathbf{y}(t) &= \begin{bmatrix} 1 & 0 \end{bmatrix} \mathbf{x}(t)\end{aligned}$$

خروجی سیستم را برای ورودی پله واحد و شرایط اولیه $\mathbf{x}(0) = [1 \ 0]^T$ بدست آورید.

ماتریس انتقال حالت سیستم را از مثال ۲-۱ بدست آوردیم. داریم

$$(sI - A)^{-1} = \frac{1}{(s+3)(s+1)} \begin{bmatrix} s+4 & 1 \\ -3 & s \end{bmatrix}, \quad \Phi(t) = \frac{1}{2} \begin{bmatrix} 3e^{-t} - e^{-3t} & e^{-t} - e^{-3t} \\ 3e^{-3t} - 3e^{-t} & 3e^{-3t} - e^{-t} \end{bmatrix}$$

از معادله (۲۰-۲-۷)، بدست می‌آوریم

$$\begin{aligned}\mathbf{x}(t) &= \begin{bmatrix} e^{-t} \\ -e^{-t} \end{bmatrix} + \int_0^t \frac{1}{2} \begin{bmatrix} 3e^{-(t-\tau)} - e^{-3(t-\tau)} & e^{-(t-\tau)} - e^{-3(t-\tau)} \\ 3e^{-3(t-\tau)} - 3e^{-(t-\tau)} & 3e^{-3(t-\tau)} - e^{-(t-\tau)} \end{bmatrix} \begin{bmatrix} 0 \\ 1 \end{bmatrix} d\tau \quad (1) \\ &= \begin{bmatrix} e^{-t} \\ -e^{-t} \end{bmatrix} + \frac{1}{2} \int_0^t \begin{bmatrix} e^{t-\tau} - e^{3\tau-3t} \\ 3e^{3\tau-3t} - e^{t-\tau} \end{bmatrix} d\tau \\ &= \begin{bmatrix} e^{-t} \\ -e^{-t} \end{bmatrix} + \frac{1}{6} \begin{bmatrix} 2 - 3e^{-t} + e^{-3t} \\ 3e^{-t} - 3e^{-3t} \end{bmatrix} \\ &= \begin{bmatrix} \frac{1}{3} + \frac{1}{2}e^{-t} + \frac{1}{6}e^{-3t} \\ -\frac{1}{3}e^{-t} - \frac{1}{2}e^{-3t} \end{bmatrix}\end{aligned}$$

ولذا از معادله خروجی داریم

$$y(t) = \frac{1}{3} + \frac{1}{2}e^{-t} + \frac{1}{6}e^{-3t}$$

هم چنین از روش تبدیل لاپلاس، داریم

$$(sI - A)^{-1}BU(s) = \frac{1}{(s+3)(s+1)} \begin{bmatrix} 1 \\ s \end{bmatrix} \frac{1}{s}$$

و

$$\begin{aligned} X(s) &= \frac{1}{(s+3)(s+1)} \begin{bmatrix} s+4 & 1 \\ -3 & s \end{bmatrix} \begin{bmatrix} 1 \\ -1 \end{bmatrix} + \frac{1}{(s+3)(s+1)} \begin{bmatrix} 1 \\ s \end{bmatrix} \\ &= \frac{1}{(s+3)(s+1)} \left\{ \begin{bmatrix} s+3 \\ -(s+3) \end{bmatrix} + \begin{bmatrix} 1 \\ s \end{bmatrix} \right\} \end{aligned}$$

و برای خروجی سیستم بدست می‌آوریم

$$Y(s) = \frac{s^2 + 3s + 1}{s(s+3)(s+1)}$$

که عکس تبدیل لاپلاس می‌دهد

$$y(t) = \frac{1}{3} + \frac{1}{2}e^{-t} + \frac{1}{6}e^{-3t}$$

۳-۷ معادله مشخصه

در بخش ۳-۵-۲، رابطه بین تابع تبدیل و معادله فضای حالت را بیان کردیم. در آن بخش نشان داده شد که نمایش فضای حالت سیستمی داده شده به صورت زیر

$$\dot{x}(t) = Ax(t) + Bu(t) \quad (1-3-7)$$

$$y(t) = Cx(t) + Du(t) \quad (2-3-7)$$

با نمایش تابع تبدیل آن

$$Y(s) = G(s)U(s) \quad (3-3-7)$$

بعد از گرفتن تبدیل لاپلاس از معادله‌های (۱-۳-۷) و (۲-۳-۷)، و با یکسری عملیات جبری، بدین صورت با هم مرتبط می‌باشند:

$$G(s) = C(sI - A)^{-1}B + D \quad (4-3-7)$$

با استفاده از تعریف معکوس ماتریس

$$(sI - A)^{-1} = \frac{\text{adj}(sI - A)}{|sI - A|} \quad (5-3-7)$$

و جایگزینی از معادله (5-3-7) در معادله (4-3-7)، بدست می‌آوریم

$$G(s) = \frac{C\{\text{adj}(sI - A)\} B + |sI - A| D}{|sI - A|} \quad (6-3-7)$$

مخرج معادله (6-3-7) عبارتست از

$$|sI - A| = s^n + a_{n-1}s^{n-1} + \dots + a_1s + a_0. \quad (7-3-7)$$

این معادله را معادله مشخصه^۱ ماتریس A می‌نامند. صفرهای این چند جمله‌ای (ریشه‌های معادله مشخصه)، مقادیر ویژه^۲ ماتریس A بوده و همانطور که از معادله (6-3-7) مشخص است، این مقادیر ویژه همان قطب‌های تابع تبدیل G(s) هستند.

پایداری سیستم. با توجه به اینکه پایداری سیستم‌ها، از موقعیت قطب‌های تابع تبدیل آنها تعیین می‌گردد و مقادیر ویژه ماتریس حالت سیستم A همان قطب‌های تابع تبدیل (۵) هستند، لذا برای بررسی پایداری سیستم در فضای حالت می‌توان مقادیر ویژه A را تعیین کرد. مقادیر ویژه A حقیقی یا مختلف مزدوج می‌باشند. دقت کنید که ضرایب معادله مشخصه (7-3-7)، حقیقی هستند ($a_0, \dots, a_{n-1} \in \mathbb{R}$) و از این‌رو ریشه‌های آن حقیقی و یا به صورت مختلف مزدوج می‌باشند. نتایج پایداری را می‌توان به صورت زیر خلاصه کرد:

اگر مقادیر ویژه حقیقی A همگی منفی باشند، سیستم پایدار است.

اگر مقادیر ویژه مختلف مزدوج A همگی قسمتهای حقیقی منفی داشته باشند، سیستم پایدار است.

اگر مقادیر ویژه A موهومی محض باشند، سیستم پایدار بحرانی است (پاسخ نوسانات سینوسی غیرمیرا دارد). اگر مقادیر ویژه موهومی محض A تکراری باشند (چند قطب موهومی محض در یک نقطه بروی محور موهومی داشته باشد)، سیستم ناپایدار است.

اگر حتی یکی از مقادیر ویژه در سمت راست محور موهومی قرار گرفته باشد، سیستم ناپایدار است.

مثال ۳-۷

ماتریس حالت سیستمی عبارتست از

$$A = \begin{bmatrix} 0 & 1 & 0 \\ 0 & 0 & 1 \\ -6 & -11 & -6 \end{bmatrix}$$

معادله مشخصه سیستم عبارتست از

$$\begin{aligned} |\lambda I - A| &= \left| \lambda \begin{bmatrix} 1 & 0 & 0 \\ 0 & 1 & 0 \\ 0 & 0 & 1 \end{bmatrix} - \begin{bmatrix} 0 & 1 & 0 \\ 0 & 0 & 1 \\ -6 & -11 & -6 \end{bmatrix} \right| \\ &= \begin{vmatrix} \lambda & -1 & 0 \\ 0 & \lambda & -1 \\ 6 & 11 & \lambda+6 \end{vmatrix} \\ &= \lambda^3 + 6\lambda^2 + 11\lambda + 6 \\ &= (\lambda + 1)(\lambda + 2)(\lambda + 3) = 0 \end{aligned}$$

مقادیر ویژه ماتریس A ، قطب‌های سیستم، عبارتند از

$$\lambda_1 = -1, \quad \lambda_2 = -2, \quad \lambda_3 = -3$$

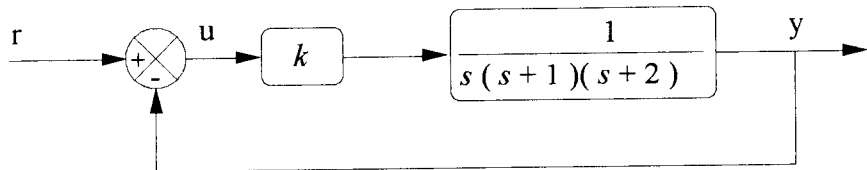
و لذا سیستم پایدار است.

مثال ۴-۷

سیستم نشان داده شده در شکل ۱-۷ را در نظر بگیرید. مطلوب است که پابداری سیستم را با تعیین مقادیر ویژه ماتریس حالت سیستم، برای تغییرات بهره k تعیین کنیم. برای نوشتن معادلات حالت و خروجی سیستم، می‌توان نخست معادلات فضای حالت تابع تبدیل حلقه - باز را نوشت و سپس با اعمال فیدبک در معادلات حلقه - باز فضای حالت، معادلات حلقه - بسته فضای حالت سیستم از ۲ تا ۱ را بدست آورد. هم چنین می‌توان با انتخاب متغیرهای حالت مناسب، مستقیماً معادلات فضای حالت حلقه - بسته را نوشت.

تابع تبدیل حلقه - باز سیستم کنترل شکل ۱-۷ عبارتست از

$$G(s) = \frac{k}{s(s+1)(s+2)}$$



شکل ۱-۷ یک سیستم کنترل

معادلات فضای حالت حلقه - باز عبارتند از (بخش ۱-۵-۲، معادلات ۱۲-۵-۲ و ۱۳-۵-۲ را ببینید).

$$\dot{\mathbf{x}}(t) = \begin{bmatrix} 0 & 1 & 0 \\ 0 & 0 & 1 \\ 0 & -2 & -3 \end{bmatrix} \mathbf{x}(t) + \begin{bmatrix} 0 \\ 0 \\ 1 \end{bmatrix} u(t)$$

$$y(t) = [k \ 0 \ 0] \mathbf{x}(t)$$

برای اعمال فیدبک، داریم $u = r - C\mathbf{x}$ و لذا

$$\dot{\mathbf{x}}(t) = \begin{bmatrix} 0 & 1 & 0 \\ 0 & 0 & 1 \\ 0 & -2 & -3 \end{bmatrix} \mathbf{x}(t) + \begin{bmatrix} 0 \\ 0 \\ 1 \end{bmatrix} (r(t) - [k \ 0 \ 0] \mathbf{x}(t))$$

$$= \begin{bmatrix} 0 & 1 & 0 \\ 0 & 0 & 1 \\ -k & -2 & -3 \end{bmatrix} \mathbf{x}(t) + \begin{bmatrix} 0 \\ 0 \\ 1 \end{bmatrix} r(t)$$

$$y(t) = [k \ 0 \ 0] \mathbf{x}(t)$$

بدیهی است که ماتریس‌های ورودی B و خروجی C در پایداری سیستم نقشی ایفاء نمی‌کنند. قطب‌های سیستم مقادیر ویژه ماتریس حالت سیستم حلقه - بسته A هستند. از این‌رو، معادله مشخصه سیستم را تشکیل می‌دهیم

$$|\lambda I - A| = \begin{vmatrix} \lambda & -1 & 0 \\ 0 & \lambda & -1 \\ k & 2 & \lambda + 3 \end{vmatrix} = \lambda^3 + 2\lambda^2 + 2\lambda + k$$

ریشه‌های این معادله باید همگی در سمت چپ محور موهومی قرار داشته باشند. برای بررسی موقعیت ریشه‌های معادله مشخصه، از آزمون پایداری جوری استفاده می‌کنیم:

$$\begin{array}{c|cc} \lambda^3 & 1 & 2 \\ \lambda^2 & 3 & k \\ \lambda^1 & \frac{6-k}{3} & \\ \lambda^0 & k & \end{array}$$

و لذا برای پایداری داریم $k < 6$.

روش دیگر نوشتمن معادلات فضای حالت آن است که تابع تبدیل حلقه - باز را به صورت نشان داده شده در شکل ۲-۷ درآوریم. با انتخاب متغیرهای حالت نشان داده شده در شکل ۲-۷، معادلات حالت و خروجی سیستم حلقه - بسته عبارتند از

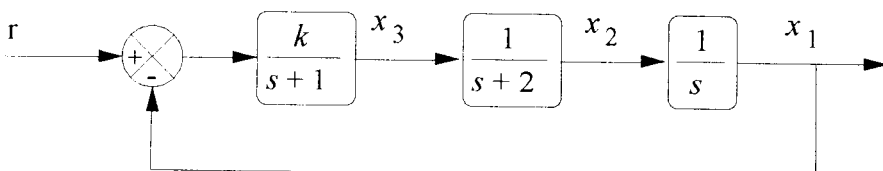
$$\dot{\mathbf{x}}(t) = \begin{bmatrix} 0 & 1 & 0 \\ 0 & -2 & 1 \\ -k & 0 & -1 \end{bmatrix} \mathbf{x}(t) + \begin{bmatrix} 0 \\ 0 \\ k \end{bmatrix} r(t)$$

$$y(t) = \begin{bmatrix} 1 & 0 & 0 \end{bmatrix} \mathbf{x}(t)$$

این نمایش فضای حالت دیگری از همان سیستم است. معادله مشخصه این نمایش فضای حالت عبارتست از

$$|\lambda I - A| = \begin{vmatrix} \lambda & -1 & 0 \\ 0 & \lambda+2 & -1 \\ k & 0 & \lambda+1 \end{vmatrix} = \lambda^3 + 3\lambda^2 + 2\lambda + k$$

که همانند معادله مشخصه نمایش قبلی فضای حالت است. این نتیجه در حالت کلی نیز صادق است و به صورت زیر بیان می‌گردد:



شکل ۲-۷ سیستم کنترل شکل ۱-۷

«معادله مشخصه یک سیستم برای نمایش‌های مختلف فضای حالت آن یکسان است.» مطلب فوق کاملاً بدینه است، زیرا کلیه نمایش‌های مختلف فضای حالت یک سیستم، یک تابع تبدیل منحصر بفرد را خواهند داد و چند جمله‌ای مخرج تابع تبدیل که همان معادله مشخصه سیستم است، نیز منحصر بفرد می‌باشد. تنها نکته‌ای که باید به آن اشاره شود این است که معادلات فضای حالت در نظر گرفته شده تاکنون می‌نیمال بوده‌اند (به بخش ۵-۲ برای تعریف مدل فضای حالت می‌نیمال مراجعه کنید). در صورتیکه نمایش فضای حالتی از یک سیستم می‌نیمال نباشد، درجه چند جمله‌ای مشخصه آن بزرگتر از درجه چند جمله‌ای معادله مشخصه نمایش فضای حالت می‌نیمال خواهد بود.

۴-۷ کنترل پذیری و رؤیت پذیری

مفاهیم و ایده‌های موجود در کنترل مدرن و تحلیل و طراحی فضای حالت بر دو دسته‌اند: دسته اول مفاهیمی مانند پایداری و مشخصه‌های پاسخ حالت گذرا و ... که در کنترل کلاسیک نیز مطرح بوده‌اند و در اینجا تنها نحوه برخورد با آنها فرق کرده است، دسته دوم مفاهیمی هستند که مختص تحلیل و طراحی در فضای حالت می‌باشند. کنترل پذیری و رؤیت پذیری از مفاهیم دسته دوم می‌باشند. این ایده‌ها اول بار توسط کالمان^۱ مطرح گردیده‌اند.

۱-۴-۷ مفاهیم کنترل پذیری و رؤیت پذیری

معادلات حالت و خروجی یک سیستم در حالت کلی عبارتند از:

$$\dot{\mathbf{x}}(t) = \mathbf{A}\mathbf{x}(t) + \mathbf{B}\mathbf{u}(t) \quad (1-4-7)$$

$$\mathbf{y}(t) = \mathbf{C}\mathbf{x}(t) + \mathbf{D}\mathbf{u}(t) \quad (2-4-7)$$

دیاگرام بلوکی این نمایش خطی تغییرناپذیر با زمان، در شکل ۲۸-۲ فصل دوم نشان داده شده است. در این توصیف سیستم، ورودی $(t)\mathbf{u}$ و خروجی $(t)\mathbf{y}$ توسط یک رابط، حالت سیستم $\mathbf{x}(t)$ ، با هم مرتبط شده‌اند.

نمایش شکل ۲۸-۲، معادلات (۱-۴-۷) و (۲-۴-۷)، یک نمایش حلقه - باز از سیستم است. برای بستن حلقه سیستم می‌توان از پس خوراندن اطلاعات لازم در رابطه با پاسخ

سیستم توسط بردار حالت ($x(t)$) استفاده کرد. ورودی کنترل را به صورت زیر تعریف کنید:

$$u(t) = -Kx(t) \quad (3-4-7)$$

که در آن K یک ماتریس $m \times n$ فیدبک با عناصر ثابت است. دقت کنید که بردار حالت n -بعدی، بردار ورودی m -بعدی و بردار خروجی m -بعدی در نظر گرفته شده‌اند. از این‌رو ماتریس فیدبک حالت K , $n \times m$ می‌باشد و برای سیستم‌های یک ورودی، K یک بردار $n \times 1$ خواهد بود.

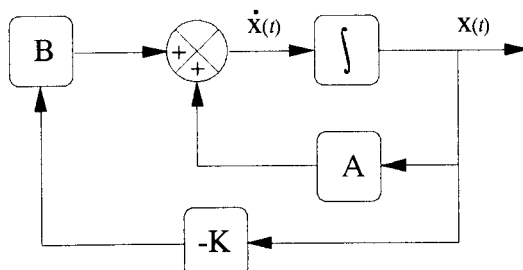
با جایگزینی معادله (3-4-7) در (3-4-1)، معادله حلقه - بسته حالت عبارتست از

$$\dot{x}(t) = (A - BK)x(t) \quad (4-4-7)$$

دیاگرام بلوکی سیستم حلقه - بسته، در شکل ۳-۷ نشان داده شده است. معادله (4-4-7)، یک معادله همگن حالت است و لذا همانند معادله (۶-۲-۷)، پاسخ آن بدین صورت داده می‌شود

$$x(t) = \exp \left[(A - BK)(t - t_0) \right] x(t_0) \quad (5-4-7)$$

معادله (5-4-7) نشان می‌دهد که برای ماتریس‌های داده شده A و B و بردار حالت اولیه (t_0) $x(t_0)$ می‌توان در حالت کلی با تعییر ماتریس فیدبک حالت K بر رفتار $x(t)$ تأثیر گذاشت. اما تا چه اندازه تغییر دادن K بر روی متغیرهای حالت سیستم ($x_i(t), i=1, \dots, n$) تأثیر خواهد گذاشت و یا اینکه آیا می‌توان K را به گونه‌ای انتخاب کرد که بردار حالت ($x(t)$) در زمانی مانند t مقدار دلخواه ($x_{(t)}$) را داشته باشد و یا اینکه بردار حالت ($x(t)$) به ازاء $t \rightarrow \infty$ به یک مقدار حالت - ماندگار برسد؟ تمامی این پرسشها را می‌توان در این سؤال خلاصه کرد که آیا سیستم داده شده کنترل پذیر حالت است؟



شکل ۳-۷ سیستم حلقه - بسته با فیدبک حالت

قبل از آنکه به ارایه تعریف کنترل پذیری سیستم پردازیم، سیستم اسکالار زیر را در نظر بگیرید

$$\dot{x}(t) = ax(t) + bu(t) \quad (6-4-7)$$

معادله (6-4-7)، همان معادله (1-4-7)، برای حالت اسکالار است. با تعریف

$$u(t) = -kx(t) \quad (5-4-7)$$

و جایگزینی (5-4-7) در (6-4-7)، داریم

$$\dot{x}(t) = (a - bk)x(t) \quad (6-4-7)$$

و یا

$$x(t) = \exp \left[(a - bk)(t - t_0) \right] x(t_0) \quad (7-4-7)$$

معادله های (6-4-7) و (7-4-7)، به وضوح نشان می دهند که تغییر پارامتر k بر روی رفتار متغیر حالت $x(t)$ تأثیر خواهد گذاشت، اگر و فقط اگر اسکالار b مخالف صفر باشد. اگر b صفر باشد آنگاه $x(t)$ به صورت معینی که به پارامترهای ثابت a و (t_0) x بستگی خواهد داشت، رفتار می کند و پارامتر k هیچ تأثیری در رفتار سیستم نخواهد کرد. برای b مخالف صفر، با انتخاب k به صورت $\frac{a}{b}$ $x(t)$ پاسخ سیستم پایدار و برای $\frac{a}{b} < 0$ ناپایدار خواهد بود. تعريف کنترل پذیری. سیستم توصیف شده با (1-4-7) را کنترل پذیر حالت¹ گویند، اگر یک کنترل (t) u وجود داشته باشد که حالت $x(t)$ را به هر حالت مطلوب $x(t)$ در زمان محدود $t_1 - t_0$ انتقال دهد. اگر نتوان کنترول (t) u را پیدا کرد که بردار حالت اولیه را به هر بردار حالت نهایی مطلوب انتقال دهد، سیستم را کنترل ناپذیر حالت² گویند.

بدیهی است که سیستم اسکالار داده شده با (6-4-7) برای $a \neq b$ ، کنترل پذیر و برای $a = b$ ، کنترل ناپذیر است. در سیستم های غیر اسکالار (سیستم های داده شده با معادله های بردار - ماتریسی (1-4-7)) تعیین کنترل پذیری و یا کنترل ناپذیری به سادگی سیستم های اسکالار صورت نمی پذیرد و برای این کار آزمونهای ویژه ای وجود دارد که در بخش بعد به توضیح آنها خواهیم پرداخت.

رؤیت پذیری. سیستم اسکالر داده شده با معادله (۸-۴-۷) را در نظر بگیرید. اگر معادله خروجی این سیستم به صورت زیر باشد

$$y(t) = c_1 x_1(t) \quad (8-4-7)$$

که در آن c_1 یک اسکالر است، آنگاه به شرط آنکه $c_1 \neq 0$ باشد، با مشاهده خروجی $y(t) = c_1 x_1(t)$ داده شده با معادله (۸-۴-۷)، می‌توان رفتار متغیر حالت $x_1(t)$ را تعیین کرد. به این چنین سیستمی که بتوان با اندازه‌گیری خروجی و مشاهده آن، در رابطه با کلیه متغیرهای حالت اطلاعاتی کسب نمود، رؤیت پذیر گویند. برای روشنتر شدن مطلب به سیستم زیر توجه کنید

$$\begin{bmatrix} \dot{x}_1(t) \\ \dot{x}_2(t) \end{bmatrix} = \begin{bmatrix} -1 & 0 \\ 0 & -2 \end{bmatrix} \begin{bmatrix} x_1(t) \\ x_2(t) \end{bmatrix}$$

$$y(t) = [c_1 \ c_2] \begin{bmatrix} x_1(t) \\ x_2(t) \end{bmatrix}$$

در این حالت ورودی سیستم صفر است. معادله حالت و خروجی سیستم را بدین صورت بازنویسی می‌کنیم

$$\dot{x}_1(t) = -x_1(t)$$

$$\dot{x}_2(t) = -2x_2(t)$$

$$y(t) = c_1 x_1(t) + c_2 x_2(t)$$

بدیهی است که اگر $c_1 = 0$ باشد، با مشاهده خروجی هیچ اطلاعاتی در رابطه با متغیر حالت $x_1(t)$ بدست نمی‌آید. همچنین اگر $c_2 = 0$ باشد، با مشاهده خروجی هیچ اطلاعاتی در رابطه با متغیر حالت $x_2(t)$ نیز بدست نمی‌آید. در هر دو حالت سیستم را رؤیت ناپذیر گویند. در واقع، این سیستم تنها در صورتی رؤیت پذیر است که اسکالرهای c_1 و c_2 هر دو مخالف صفر باشند. به عبارت دیگر، هر دو متغیر حالت در خروجی ظاهر می‌شوند.

در نمایش سیستم‌ها ممکن است برخی از متغیرهای حالت متناظر با متغیرهای فیزیکی قابل اندازه‌گیری در سیستم نباشند و یا اینکه بدلایلی نتوان متغیرهای حالت فیزیکی سیستم را اندازه‌گیری کرد، در این موارد باید بتوان بردار حالت سیستم را از داده‌های ورودی - خروجی

تعیین نمود، برای تعیین بردار حالت از داده‌های ورودی - خروجی، سیستم باید رؤیت‌پذیر باشد.

تعریف رؤیت‌پذیری. سیستم داده شده با معادلات (۱-۴-۷) و (۲-۴-۷) را رؤیت‌پذیر^۱ گویند، اگر بتوان بردار حالت سیستم $(t)x$ را بروی یک گستره محدود زمانی مانند t_1 تا t_2 از مشاهده خروجی، بر روی همان گستره تعیین کرد.

دقت کنید که در تعریف و ایده کنترل‌پذیری ماتریس (بردار) خروجی C نقشی ایفاء نمی‌کند و هم چنین در تعریف و ایده رؤیت‌پذیری ماتریس (بردار) ورودی B نقشی ایفاء نمی‌کند. بنابراین کنترل‌پذیری به ورودی $(t)y$ ، بردار حالت $(t)x$ و ماتریس‌های A و B بستگی دارد و حال آنکه رؤیت‌پذیری به خروجی $(t)y$ ، بردار حالت $(t)x$ و ماتریس‌های A و C بستگی دارد. این وابستگیها در آزمونهای کنترل‌پذیری و رؤیت‌پذیری بیشتری آشکار خواهد شد.

۲-۴-۷ آزمونهای کنترل‌پذیری و رؤیت‌پذیری

آزمونهای زیادی در رابطه با تعیین کنترل‌پذیری و رؤیت‌پذیری سیستم وجود دارند. در اینجا، ساده‌ترین آنها را بدون اثبات ارایه خواهیم کرد. [برای آزمونهای دیگر و اثبات این آزمونها به مراجع همین فصل مراجعه شود].

آزمون کنترل‌پذیری. سیستم داده شده با معادله حالت (۱-۴-۷) را کنترل‌پذیر کامل حالت (یا کنترل‌پذیر) گویند اگر ماتریس کنترل‌پذیری Φ_c تعریف شده به صورت زیر

$$\Phi_c = \begin{bmatrix} B & : & AB & : & \dots & : & A^{n-1}B \end{bmatrix} \quad (9-4-7)$$

دارای رتبه کامل باشد و یا به عبارت دیگر n بردار مستقل خطی داشته باشد [برای تعاریف رتبه ماتریس و استقلال یا وابستگی خطی بردارها به مراجع همین فصل مراجعه شود]. در صورتیکه سیستم دارای یک ورودی باشد، ماتریس Φ_c یک ماتریس $n \times n$ است و شرط کنترل‌پذیری سیستم، ناویژه بودن ماتریس کنترل‌پذیری Φ_c ($|\Phi_c| \neq 0$) است.

مثال ۵-۷

سیستم زیر را در نظر بگیرید

$$\dot{\mathbf{x}}(t) = \begin{bmatrix} 0 & 1 \\ -2 & -3 \end{bmatrix} \mathbf{x}(t) + \begin{bmatrix} 0 \\ 1 \end{bmatrix} u(t)$$

ماتریس کنترل پذیری این سیستم عبارتست از

$$\begin{aligned}\Phi_c &= [B \quad : \quad AB] \\ &= \begin{bmatrix} 0 & : & 1 \\ 1 & : & -3 \end{bmatrix}\end{aligned}$$

از آنجاییکه $\text{rk}(\Phi_c) = 2$ رتبه می‌باشد، سیستم کنترل پذیر کامل حالت است.

مثال ۶-۷

سیستم زیر را در نظر بگیرید

$$\dot{\mathbf{x}}(t) = \begin{bmatrix} 1 & 2 \\ 0 & -2 \end{bmatrix} \mathbf{x}(t) + \begin{bmatrix} 1 \\ 0 \end{bmatrix} u(t)$$

ماتریس کنترل پذیری این سیستم عبارتست از

$$\begin{aligned}\Phi_c &= [B \quad : \quad AB] \\ &= \begin{bmatrix} 1 & : & 1 \\ 0 & : & 0 \end{bmatrix}\end{aligned}$$

رتبه ماتریس کنترل پذیری برابر ۱ است و هم چنین $\text{rk}(\Phi_c) = 1$ است، لذا سیستم کنترل ناپذیر است.

مثال ۷-۷

ماتریس حالت سیستمی با دو ورودی عبارتست از

$$A = \begin{bmatrix} \alpha & 0 & 0 \\ 0 & \alpha & 0 \\ 0 & 0 & \alpha \end{bmatrix}$$

که در آن $\alpha \neq 0$ است، ماتریس کنترل پذیری سیستم برای ماتریس ورودی $B = [bij]$ عبارتست از $(i=1,2,3, j=1,2)$

$$\Phi_C = \begin{bmatrix} B & : & AB & : & A^T B \end{bmatrix}$$

$$= \begin{bmatrix} b_{11} & b_{12} & \alpha b_{11} & \alpha b_{12} & \alpha^T b_{11} & \alpha^T b_{12} \\ b_{21} & b_{22} & \alpha b_{21} & \alpha b_{22} & \alpha^T b_{21} & \alpha^T b_{22} \\ b_{31} & b_{32} & \alpha b_{31} & \alpha b_{32} & \alpha^T b_{31} & \alpha^T b_{32} \end{bmatrix}$$

رتبه این ماتریس همواره برابر با ۲ است و لذا سیستم کنترل ناپذیر می‌باشد.
آزمون رؤیت‌پذیری. سیستم توصیف شده با معادله‌های (۱-۴-۷) و (۲-۴-۷)، رؤیت‌پذیر است اگر ماتریس رؤیت‌پذیری Φ_0 ، تعریف شده به صورت زیر

$$\Phi_0 = \begin{bmatrix} C \\ \dots \\ CA \\ \dots \\ \vdots \\ \dots \\ CA^{n-1} \end{bmatrix} \quad (10-4-7)$$

دارای رتبه کامل باشد. برای سیستم‌های با یک خروجی، آزمون رؤیت‌پذیری آن است که ماتریس رؤیت‌پذیری $n \times n$ ناویژه باشد ($|\Phi_0| \neq 0$).

مثال ۸-۷

سیستم زیر را در نظر بگیرید

$$\dot{x}(t) = \begin{bmatrix} \cdot & 1 \\ -2 & -3 \end{bmatrix} x(t) + \begin{bmatrix} \cdot \\ 1 \end{bmatrix} u(t)$$

$$y(t) = \begin{bmatrix} 1 & 1 \end{bmatrix} x(t)$$

ماتریس رؤیت‌پذیری این سیستم عبارتست از

$$\Phi = \begin{bmatrix} C \\ \dots \\ CA \end{bmatrix} = \begin{bmatrix} 1 & 1 \\ -2 & -2 \end{bmatrix}$$

رتبه این ماتریس برابر با یک است، از این‌رو سیستم رؤیت‌نایپذیر می‌باشد.

مثال ۹-۷

سیستم زیر را در نظر بگیرید

$$\dot{\mathbf{x}}(t) = \begin{bmatrix} 0 & -2 \\ 1 & -4 \end{bmatrix} \mathbf{x}(t) + \begin{bmatrix} 1 \\ 1 \end{bmatrix} u(t)$$

$$y(t) = \begin{bmatrix} 0 & 1 \end{bmatrix}$$

ماتریس رؤیت‌پذیری این سیستم عبارتست از

$$\Phi = \begin{bmatrix} C \\ \dots \\ CA \end{bmatrix} = \begin{bmatrix} 0 & 1 \\ 1 & -4 \end{bmatrix}$$

رتبه این ماتریس برابر با ۲ است و ماتریس ناویژه است، لذا سیستم کاملاً رؤیت‌پذیر می‌باشد.

مثال ۱۰-۷

سیستم زیر را در نظر بگیرید

$$\dot{\mathbf{x}}(t) = \begin{bmatrix} 0 & 1 & 0 \\ 0 & 0 & 1 \\ -6 & -11 & -6 \end{bmatrix} \mathbf{x}(t) + \begin{bmatrix} 0 \\ 0 \\ 1 \end{bmatrix} u(t)$$

$$y(t) = \begin{bmatrix} 4 & 5 & 1 \end{bmatrix} \mathbf{x}(t)$$

ماتریس رؤیت پذیری سیستم عبارتست از

$$\Phi_0 = \begin{bmatrix} C \\ \dots \\ CA \\ \dots \\ CA^T \end{bmatrix}$$

$$= \begin{bmatrix} 4 & 5 & 1 \\ -6 & -7 & -1 \\ 6 & 5 & -1 \end{bmatrix}$$

رتبه این ماتریس برابر ۲ است، ولذا سیستم رؤیت ناپذیر می‌باشد.
 نتایج بدست آمده از آزمونهای کنترل پذیری و رؤیت پذیری کاملاً مستقل از هم هستند.
 بدین معنی که سیستمی ممکن است کنترل پذیر و رؤیت پذیر بوده و یا اینکه کنترل ناپذیر یا
 رؤیت ناپذیر باشد، به مثال زیر توجه کنید.

مثال ۱۱-۷

نمایش فضای حالت زیر را در نظر بگیرید

$$\begin{bmatrix} \dot{x}_1(t) \\ \dot{x}_2(t) \\ \vdots \\ \dot{x}_n(t) \end{bmatrix} = \begin{bmatrix} \lambda_1 & & & \\ & \lambda_2 & & \\ & & \ddots & \\ & & & \ddots & & \lambda_n \end{bmatrix} \begin{bmatrix} x_1(t) \\ x_2(t) \\ \vdots \\ x_n(t) \end{bmatrix} + \begin{bmatrix} b_1 \\ b_2 \\ \vdots \\ b_n \end{bmatrix} u(t) \quad (11-۴-۷)$$

$$y(t) = [c_1 \ c_2 \ \dots \ c_n] \begin{bmatrix} x_1(t) \\ x_2(t) \\ \vdots \\ x_n(t) \end{bmatrix} \quad (12-۴-۷)$$

به این نمایش، نمایش قطعی^۱ فضای حالت سیستم می‌گویند. اگر مقادیر ویژه ماتریس حالت سیستم (قطبهای سیستم) حقیقی و متفاوت باشند، می‌توان با تبدیل مناسب معادلات فضای حالت (۱-۴-۷) و (۲-۴-۷) را به صورت قطعی داده شده با معادلات (۱۱-۴-۷) و (۱۲-۴-۷)، تبدیل کرد. معادلات (۱۱-۴-۷) و (۱۲-۴-۷)، معادلندا

$$\begin{aligned}\dot{x}_i(t) &= \lambda_i x_i(t) + b_i u(t) \quad (i = 1, \dots, n) \\ y(t) &= \sum_{i=1}^n c_i x_i(t)\end{aligned}\tag{۱۳-۴-۷}$$

از معادله (۱۳-۴-۷) مشاهده می‌شود که سیستم در صورتی کنترل پذیر است که کلیه b_i ها مخالف صفر باشند و در صورتی رؤیت پذیر است که کلیه c_i ها مخالف صفر باشند. ماتریس کنترل پذیری سیستم عبارتست از

$$\Phi_c = \begin{bmatrix} b_1, \lambda_1 b_1, \lambda_1^2 b_1, \dots, \lambda_1^{n-1} b_1 \\ b_2, \lambda_2 b_2, \lambda_2^2 b_2, \dots, \lambda_2^{n-1} b_2 \\ \vdots \quad \vdots \quad \vdots \quad \vdots \quad \vdots \\ b_n, \lambda_n b_n, \lambda_n^2 b_n, \dots, \lambda_n^{n-1} b_n \end{bmatrix}$$

در صورتیکه هر کدام از b_i ها صفر شوند ماتریس Φ_c ویژه خواهد شد و اگر همگی b_i ها مخالف صفر باشند، ماتریس Φ_c ناویژه می‌شود. هم چنین ماتریس رؤیت پذیری سیستم عبارتست از

$$\Phi_o = \begin{bmatrix} c_1 & c_2 & \dots & c_n \\ \lambda_1 c_1 & \lambda_2 c_2 & \dots & \lambda_n c_n \\ \lambda_1^2 c_1 & \lambda_2^2 c_2 & \dots & \lambda_n^2 c_n \\ \vdots & \vdots & \vdots & \vdots \\ \lambda_1^{n-1} c_1 & \lambda_2^{n-1} c_2 & \dots & \lambda_n^{n-1} c_n \end{bmatrix}$$

در صورتیکه هر کدام از c_i ها صفر شوند ماتریس Φ_o ویژه خواهد شد و اگر همگی c_i ها

مخالف صفر باشند، Φ ناویژه می‌شود. موارد زیر را در نظر بگیرید:

- الف - کلیه a_i ها مخالف صفر، کلیه c_i ها مخالف صفر : سیستم کنترل پذیر و رؤیت پذیر
- ب - حداقل یک b_i مساوی صفر، c_i ها مخالف صفر : سیستم کنترل ناپذیر ولی رؤیت پذیر
- ج - کلیه a_i ها مخالف صفر، حداقل یک c_i مساوی صفر : سیستم کنترل پذیر ولی رؤیت ناپذیر
- د - حداقل یک b_i مساوی صفر، حداقل یک c_i مساوی صفر : سیستم کنترل ناپذیر و رؤیت ناپذیر

۳-۴-۷ کنترل پذیری و رؤیت پذیری در توابع تبدیل

یک سیستم فیزیکی را در نظر بگیرید. تاکنون دو نمایش را برای توصیف این سیستم بکار گرفته‌ایم. این دو، نمایش تابع تبدیل و نمایش فضای حالت می‌باشند. در بخش ۵-۲ با بکارگیری روش تابع تبدیل به نمایش فضای حالت سیستم دست پیدا کردیم. در بخش قبل مشخصه‌های کنترل پذیری و رؤیت پذیری را براساس نمایش فضای حالت ارائه کردیم، لیکن مشخصه‌های یک سیستم فیزیکی معین، به نمایش خاص بکار گرفته شده بستگی ندارند و در اینجا به بررسی کنترل پذیری و رؤیت پذیری سیستم از دیدگاه تابع تبدیل می‌پردازیم. به دو نکته مهم جهت یادآوری توجه کنید:

- ۱- نمایش فضای حالت $\{A, B, C, D\}$ و تابع تبدیل $G(s)$ سیستم، با رابطه زیر به هم مرتبط هستند

$$G(s) = C(sI - A)^{-1}B + D \quad (14-4-7)$$

- ۲- تحقق می‌نماید^۲: یک توصیف فضای حالت $\{A, B, C, D\}$ را یک تحقق می‌نماید. تحقیق‌های یک تابع تبدیل منحصر بفرد نیستند.

- ۳- تحقق می‌نماید^۳: یک توصیف فضای حالت $\{A, B, C, D\}$ را یک تحقق می‌نماید گویند، اگر تعداد متغیرهای حالت بکار گرفته شده برای توصیف سیستم حداقل باشد.

ایده تحقق می‌نماید رابطه بسیار نزدیکی با کنترل‌پذیری و رؤیت‌پذیری سیستم دارد. در واقع می‌توان نشان داد که اگر $\{A, B, C, D\}$ نمایش فضای حالت سیستمی باشد، هنگامیکه تابع تبدیل $(s)G$ را از رابطه $(14-4-7)$ بدست می‌آوریم، اگر در تشکیل تابع تبدیل صفر و قطب مشترکی پیدا شوند و برای تعیین $(s)G$ با درجه حداقل، مجبور به حذف صفر و قطب شویم، آن تحقق کنترل‌ناپذیر یا رؤیت‌ناپذیر (یا هر دو) خواهد بود.

مثال ۱۲-۷

تابع تبدیل زیر را در نظر بگیرید

$$G(s) = \frac{1}{s+3}$$

یک تحقق مرتبه ۱ این تابع تبدیل عبارتست از

$$A = -3, \quad B = 1, \quad C = 1$$

این تحقق کنترل‌پذیر و رؤیت‌پذیر است.

یک تحقق غیرمی‌نماید مرتبه ۲ تابع تبدیل عبارتست از

$$A = \begin{bmatrix} -3 & 0 \\ 0 & -2 \end{bmatrix}, \quad B = \begin{bmatrix} 1 \\ 0 \end{bmatrix}, \quad C = \begin{bmatrix} 1 & 0 \end{bmatrix}$$

با توجه به نتایج مثال ۱۱-۷، این تحقق کنترل‌ناپذیر و رؤیت‌ناپذیر است.

یک تحقق دیگر مرتبه ۲ تابع تبدیل عبارتست از

$$A = \begin{bmatrix} 0 & -6 \\ 1 & -5 \end{bmatrix}, \quad B = \begin{bmatrix} 2 \\ 1 \end{bmatrix}, \quad C = \begin{bmatrix} 0 & 1 \end{bmatrix}$$

این تحقق کنترل‌ناپذیر ولی رؤیت‌پذیر است.

آخرین تحقق مرتبه ۲ تابع تبدیل عبارتست از

$$A = \begin{bmatrix} 0 & 1 \\ -6 & -5 \end{bmatrix}, \quad B = \begin{bmatrix} 0 \\ 1 \end{bmatrix}, \quad C = \begin{bmatrix} 2 & 1 \end{bmatrix}$$

این تحقق کنترل‌پذیر ولی رؤیت‌ناپذیر است.

تابع تبدیل متناظر با تحقق اول عبارتست از

$$G(s) = \frac{1}{s+3}.$$

و تابع تبدیل متناظر با سه تحقق مرتبه دوم دیگر، عبارتست از

$$G(s) = \frac{(s+2)}{(s+2)(s+3)} = \frac{1}{s+3}$$

دقت کنید که تحقق اول می‌نیمال و سایر تتحققها غیرمی‌نیمال هستند و در تتحققهای غیرمی‌نیمال حذف قطب - صفر^۱ رخ می‌دهد. این تتحققها کنترل ناپذیر، رؤیت ناپذیر (یا هر دو) می‌باشند. در واقع هر تحقق مرتبه بالاتر از یک در این مثال، تحقق غیرمی‌نیمال خواهد بود و دو مسئله را به همراه خواهد داشت:

۱- حذف قطب - صفر در تابع تبدیل

۲- عدم کنترل پذیری یا رؤیت پذیری (یا هر دو)

از طرف دیگر هر تحقق مرتبه اول یا می‌نیمال کنترل پذیر و رؤیت پذیر است و در تشکیل تابع تبدیل و حذف صفر - قطب رخ نخواهد داد.

نتایج بدست آمده از مثال بالا را به صورت زیر خلاصه می‌کنیم:

۱- تابع تبدیل $G(s)$ نشان دهنده یک سیستم کنترل پذیر و رؤیت پذیر است، اگر حذف صفر - قطب در آن رخ ندهد.

۲- یک تحقق می‌نیمال از یک سیستم، یک تحقق کنترل پذیر و رؤیت پذیر است.

۳- تابع تبدیل $G(s)$ ، نشان دهنده یک سیستم کنترل ناپذیر یا رؤیت ناپذیر یا هر دو است، اگر حذف صفر - قطب در آن رخ ندهد.

۵-۷ طراحی سیستم‌های کنترل در فضای حالت

در بخش‌های ۴-۳ و ۵-۳، تأثیر موقعیت قطب‌های غالب را بروی پاسخ حالت گذرا بررسی کردیم. اگر قطب‌های غالب در سمت راست محور موهومی باشند پاسخ سیستم ناپایدار است، اگر به صورت غیرمکرر بر روی محور موهومی باشند پاسخ سیستم نوسانی غیر میرا است، اگر نزدیک به محور موهومی در سمت چپ محور موهومی باشند پاسخ سیستم نوسانی میرا ولی بسیار کند با نوسانات زیاد می‌باشد و در صورتیکه در سمت چپ محور موهومی و دورتر از آن قرار گیرند، پاسخ سریعتر خواهد شد.

روش طراحی که در این بخش مورخواهیم کرد، جایابی قطب^۱ با فیدبک حالت^۲ است. هدف از این طراحی آن است که پاسخ مطلوب سیستم حلقه - بسته را با تعیین قطبهای حلقه - بسته در مکانهای مناسب و جایابی آنها توسط فیدبک حالت، بدست آوریم. مکان مناسب قطبهای یا از سعی و خطا بدست می‌آید (به عبارت دیگر با بکارگیری شبیه‌سازیهای مناسب موقعیتهای مختلف قطبهای را امتحان کرده و یک موقعیت که بهترین پاسخ را بدست بدهد، تعیین می‌کنیم) و یا اینکه از اطلاعاتی که از رفتار گذراي سیستم داده شده است (مانند فراجهش حداکثر، زمان استقرار و ...) موقعیت مناسب قطبهای را تعیین می‌کنیم. در هر صورت با انتخاب مکان مناسب قطبهای را از فیدبک حالت برای انتقال قطبهای حلقه - باز و جایابی آنها در مکانهای مطلوب استفاده خواهیم کرد.

۱-۵-۷ جایابی قطب با فیدبک حالت

ایده اصلی طراحی جایابی قطب آن است که موقعیت مطلوب قطبهای حلقه - بسته داده شده‌اند، کنترل فیدبک حالت را باید چنان تعیین کنیم تا قطبهای حلقه - بسته را در این مکانها جای دهد. توصیف فضای حالت یک سیستم در حالت کلی عبارتست از

$$\dot{\mathbf{x}}(t) = \mathbf{A}\mathbf{x}(t) + \mathbf{B}\mathbf{u}(t) \quad (1-5-7)$$

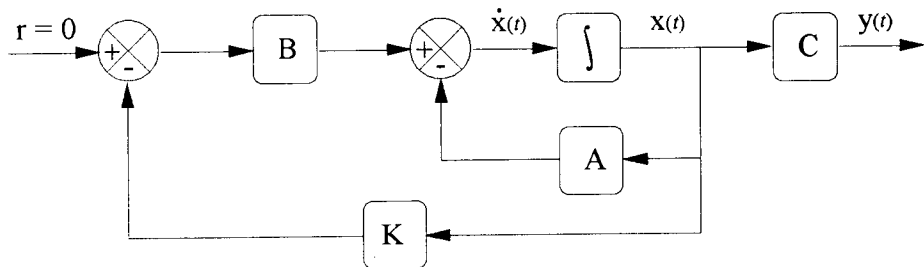
که در آن $\mathbf{x}(t)$ بردار n -بعدی حالت و $\mathbf{u}(t)$ بردار m -بعدی ورودی است. بردار ورودی کنترل $\mathbf{u}(t)$ به صورت زیر تعریف می‌شود

$$\mathbf{u}(t) = -\mathbf{K}\mathbf{x}(t) \quad (2-5-7)$$

که در آن \mathbf{K} یک ماتریس $m \times n$ از پارامترهای فیدبک حالت است. در واقع طراحی جایابی قطب با فیدبک حالت، به تعیین پارامترهای این ماتریس منجر می‌شود. با جایگزینی معادله (۲-۵-۷) در معادله (۱-۵-۷)، بدست می‌آوریم

$$\dot{\mathbf{x}}(t) = [\mathbf{A} - \mathbf{B}\mathbf{K}] \mathbf{x}(t) \quad (3-5-7)$$

شکل ۴-۷ سیستم حلقه - بسته با فیدبک حالت را نشان می‌دهد. (برای ورودیهای مرجع غیر صفر و ایجاد حالت ردیابی با فیدبک حالت به مراجع همین فصل و بخش کتابشناسی مراجعه



شکل ۷-۷ سیستم حلقه - بسته با فیدبک حالت

$$\text{کنید. معادله مشخصه سیستم حلقه - بسته عبارتست از} \\ | \lambda I - A + BK | = 0 \quad (4-5-7)$$

معادله (۴-۵-۷) نشان می دهد که با انتخاب مناسب ماتریس K می توان تمامی قطب‌های حلقه - بسته را در مکانهای مطلوب جایابی کرد. در صورتیکه سیستم تنها یک ورودی داشته باشد، K یک بردار $1 \times n$ خواهد بود. شرط لازم و کافی برای وجود K جهت جایابی کلیه قطبها، آن است که سیستم تحت کنترل، کنترل پذیر کامل حالت باشد. لذا قبل از شروع به طراحی باید کنترل پذیری سیستم را مورد بررسی قرار دهیم. مراحل طراحی فیدبک حالت را می توان به صورت زیر خلاصه کرد:

۱- با تشکیل ماتریس کنترل پذیری سیستم C داده شده با معادله (۴-۴-۷)، کنترل پذیری سیستم را بررسی کنید. در صورت کنترل پذیر بودن، جایابی تمامی قطب‌های حلقه - باز در مکانهای مطلوب امکان پذیر است.

۲- با تعیین قطب‌های مطلوب حلقه - بسته در $\lambda_1, \lambda_2, \dots, \lambda_n$ ، معادله مشخصه مطلوب سیستم حلقه - بسته را بنویسید:

$$(s - \lambda_1)(s - \lambda_2) \dots (s - \lambda_n) = s^n + a_{n-1}s^{n-1} + \dots + a_1s + a_0$$

۳- معادله مشخصه سیستم حلقه - بسته (با پارامترهای تعیین نشده بهره فیدبک K) را با محاسبه دترمینان زیر بنویسید:

$$| sI - A + BK | = 0$$

۴- دو معادله مشخصه تعیین شده در مراحل ۲ و ۳ را مساوی قرار دهید، با حل معادلات

بدست آمده از مساوی قرار دادن ضرایب توانهای متناظر به پارامترهای ماتریس K را محاسبه کنید.

مثال ۱۳-۷

سیستم زیر را در نظر بگیرید

$$\dot{\mathbf{x}}(t) = \begin{bmatrix} 0 & 1 \\ 2 & -3 \end{bmatrix} \mathbf{x}(t) + \begin{bmatrix} 0 \\ 1 \end{bmatrix} u(t)$$

قطبهای حلقه - باز سیستم عبارتند از

$$\lambda I - A = \begin{vmatrix} \lambda & -1 \\ -2 & \lambda + 3 \end{vmatrix} = \lambda^2 + 3\lambda - 2$$

بديهی است که سیستم حلقه - باز ناپايدار است و حداقل يك قطب در سمت راست محور موهومی دارد (توجه کنيد که تغيير علامتی در ضرایب معادله مشخصه رخ داده است).
ماتریس کنترل پذیری سیستم عبارتست از

$$\Phi_c = [B \quad : \quad AB] \\ = \begin{bmatrix} 0 & : & 1 \\ 1 & : & -3 \end{bmatrix}$$

و لذا سیستم کنترل پذیر کامل حالت است. فرض کنید که محل قطبهای مطلوب حلقه - بسته در ۱ و ۴- باشند (پايدارسازی^۱ سیستم حلقه - باز ناپايدار) در اين صورت معادله مشخصه مطلوب عبارتست از

$$(s+4)(s+1) = s^2 + 5s + 4$$

معادله مشخصه سیستم حلقه - بسته با بردار فيدبک حالت $\{k_1, k_2\} = K$ ، بدین صورت می باشد

$$|sI - A + BK| = s^2 + s(3+k_2) + k_1 - 2$$

با مساوی قرار دادن ضرایب توانهای مشابه در داريم:

$$s^2 : k_1 - 2 = 4$$

$$s^1 : k_2 + 3 = 5$$

و لذا $K=6$ بردار بهره فیدبک حالت خواهد بود.

مثال ۱۴-۷

سیستم زیر را در نظر بگیرید

$$\dot{\mathbf{x}}(t) = \begin{bmatrix} 0 & -2 \\ 1 & -3 \end{bmatrix} \mathbf{x}(t) + \begin{bmatrix} 1 \\ 1 \end{bmatrix} u(t)$$

ماتریس کنترل پذیری این سیستم عبارتست از

$$\Phi_c = \begin{bmatrix} B & \vdots & AB \end{bmatrix} = \begin{bmatrix} 1 & -2 \\ 1 & -2 \end{bmatrix}$$

و لذا سیستم کنترل ناپذیر است. اگر بخواهیم به این سیستم فیدبک حالت اعمال کنیم، داریم

$$|sI - A + BK| = s^2 + (k_1 + k_2 + 3)s + k_1 + k_2 + 2$$

که در آن $K=[k_1 \ k_2]$. فرض کنید که معادله مشخصه مطلوب $s^2 + 5s + 6$ باشد، در این صورت با مساوی قراردادن ضرایب توانهای مشابه در s^2 ، بدست می‌آوریم

$$k_1 + k_2 + 3 = 5$$

$$k_1 + k_2 + 2 = 6$$

بدیهی است که دستگاه معادلات بالا جوابی نخواهد داشت. از این‌رو، برای سیستم کنترل ناپذیر نمی‌توان یک بردار بهره فیدبک حالت K پیدا کرد که موقعیت مطلوب قطبها را بدست دهد.

مثال ۱۵-۷

معادلات حالت و خروجی سیستمی عبارتند از

$$\dot{\mathbf{x}}(t) = \begin{bmatrix} 0 & 1 & 0 \\ 0 & 0 & 1 \\ -6 & -4/0.3 & -1/0.2 \end{bmatrix} \mathbf{x}(t) + \begin{bmatrix} 0 \\ 0 \\ 1 \end{bmatrix} u(t)$$

$$y(t) = \begin{bmatrix} 1 & 0 & 0 \end{bmatrix} \mathbf{x}(t)$$

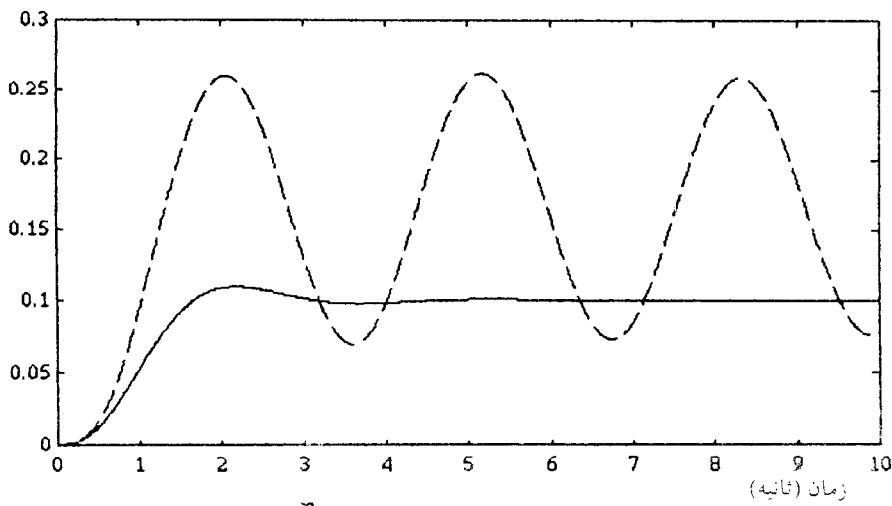
قطبهای سیستم حلقه - باز عبارتند از $\{j_1 \pm 1/5, -0/0\}$ ، همانطور که از شکل ۵-۷ مشاهده می‌شود، پاسخ پله واحد این سیستم (با توجه به نزدیک بودن قطبهای مختلف مزدوج به محور موهومی) نوسانی می‌باشد. برای اصلاح پاسخ زمانی سیستم، قطبهای سیستم را در $\{j_1 \pm 2, -0/0\}$ قرار می‌دهیم. با تشکیل ماتریس کنترل پذیری برای این سیستم داریم که رتبه ماتریس کنترل پذیری سیستم، کامل است و لذا سیستم کنترل پذیر می‌باشد. معادله مشخصه حلقه - بسته مطلوب عبارتست از

$$s^3 + 4s^2 + 9s + 10 = 0$$

از مساوی قرار دادن ضرایب توانهای مشابه در s ، بردار بهره فیدبک حالت به صورت زیر بدست خواهد آمد

$$K = [4/0 \quad 4/97 \quad 2/48]$$

پاسخ پله واحد سیستم حلقه - بسته در شکل ۵-۷ نشان داده شده است. بدینهی است که مشخصه‌های پاسخ پله واحد سیستم حلقه - بسته، بسیار بهتر از پاسخ سیستم حلقه - باز است.



شکل ۵-۷ پاسخ سیستم‌های حلقه - باز و حلقه - بسته مثال ۱۵-۷، پاسخ سیستم حلقه - باز با خط چین ر پاسخ سیستم حلقه - بسته با خط پیوسته نشان داده شده است.

۲-۵-۷ طراحی رؤیتگر

در طراحی جایابی قطب با فیدبک حالت، همانطور که در شکل ۴-۷ نشان داده شده است، بردار حالت دانسته فرض شده است و همچنین فرض شده است که می‌توان این بردار را مستقیماً اندازه‌گیری کرد و ورودی کنترل را با ضریب معلومی از این بردار اندازه‌گیری شده، تشکیل داد. حال آنکه بردار حالت ممکن است صرفاً یک کمیت ریاضی باشد و از نظر فیزیکی مفهومی نداشته باشد، در اینصورت قابل اندازه‌گیری توسط متغیرهای فیزیکی سیستم نیست و نمی‌توان آن را فیدبک کرد. از طرف دیگر، اگر چه ممکن است که بردار حالت از متغیرهای فیزیکی سیستم تشکیل شده باشد، لیکن اندازه‌گیری و فیدبک کلیه این متغیرها یا بعضی از آنها عملأً امکان‌پذیر نباشد. به عنوان نمونه متغیر ممکن است در موقعیتی باشد که اندازه‌گیری آن با وسایل موجود ممکن نباشد و یا به کارگیری وسایل پیشرفته اندازه‌گیری مقرن به صرفه نباشد (برای مثال در درجه حرارت‌های بسیار بالا یا پایین، عملکردهای فوق العاده سریع و دقیق، ...) و یا اینکه ممکن است به دلیل وجود نویز شدید، اندازه‌گیری آلوده به نویز و غیر دقیق باشد. در این چنین مواردی باید از روش‌هایی برای محاسبه یا تخمین مقدار هر متغیر حالت استفاده کرد. با تخمین^۱ یا بازسازی^۲ متغیرهای حالت، از بردار حالت تخمین زده شده^۳ برای تشکیل بردار کنترل استفاده خواهد شد.

سیستم دینامیکی که بردار حالت را تخمین می‌زند، رؤیتگر^۴ نامیده می‌شود. در این بخش با بکارگیری متغیرهای قابل اندازه‌گیری ورودی و خروجی سیستم در یک الگوریتم تخمین یا فرایند بازسازی بردار حالت، بردار حالت تخمین زده شده را محاسبه می‌کنیم و نشان خواهیم داد که پس از گذشتن یک حالت گذرای سریع، مقادیر بردار حالت تخمین زده شده و بردار حالت واقعی یکی خواهند شد. با بکارگیری رؤیتگر در سیستم، دینامیک آن جزیی از دینامیک سیستم حلقه - بسته خواهد شد و لذا اثر مستقیمی بر عملکرد سیستم حلقه - بسته می‌گذارد. از اینرو انتخاب مناسب دینامیک رؤیتگر، در طراحی جایابی قطب با فیدبک حالت بسیار مهم است.

1- Estimation

2- Reconstruction

3- Estimated

4- Observer

رؤیتگر حالت. سیستم توصیف شده با معادلات حالت و خروجی زیر را در نظر بگیرید

$$\dot{\mathbf{x}}(t) = \mathbf{A}\mathbf{x}(t) + \mathbf{B}\mathbf{u}(t) \quad (5-5-7)$$

$$\mathbf{y}(t) = \mathbf{C}\mathbf{x}(t) \quad (6-5-7)$$

که در آن ماتریس‌های \mathbf{A} , \mathbf{B} و \mathbf{C} معلوم فرض شده‌اند، همچنین ورودی و خروجی سیستم، $\mathbf{u}(t)$ و $\mathbf{y}(t)$ نیز قابل اندازه‌گیری هستند. بردار حالت $\mathbf{x}(t)$ را بدلاًیلی نمی‌توان مستقیماً اندازه‌گیری گرفت. یک روش ساده بازسازی بردار حالت شبیه‌سازی معادله‌های حالت و خروجی داده شده با معادله‌های (5-5-7) و (6-5-7)، توسط یک کامپیووتر است که همان ورودی اعمال شده به سیستم را به آن نیز اعمال می‌کنیم. متغیرهای حالت $x_i(t)$ ($i=1, \dots, n$) بدست آمده از نتایج شبیه‌سازی و متغیرهای حالت واقعی تنها در صورتی (با اعمال ورودی یکسان) یکسان خواهد بود که شرایط اولیه سیستم شبیه‌سازی شده و واقعی یکی باشند. اما در عمل سیستم واقعی تحت انواع اغتشاشات و نویزهایی قرار خواهد گرفت که شبیه‌سازی آنها عمل‌اً غیرممکن است و لذا بین خروجی سیستم واقعی و خروجی سیستم شبیه‌سازی شده تفاوتی ایجاد خواهد شد. برای در نظر گرفتن و جبران کردن این خطای ایجاد شده آن را به عنوان ورودی دیگری به سیستم شبیه‌سازی شده اعمال می‌کنیم. معادلات حالت و خروجی سیستم دینامیکی رؤیتگر عبارتند از

$$\hat{\mathbf{x}}(t) = \mathbf{A}\hat{\mathbf{x}}(t) + \mathbf{B}\mathbf{u}(t) + \mathbf{L}(\mathbf{y}(t) - \hat{\mathbf{y}}(t)) \quad (7-5-7)$$

$$\hat{\mathbf{y}}(t) = \mathbf{C}\hat{\mathbf{x}}(t) \quad (8-5-7)$$

که در آن $\hat{\mathbf{x}}(t)$ و $\hat{\mathbf{y}}(t)$ به ترتیب بردار حالت و خروجی تخمین زده شده هستند، \mathbf{L} نیز ماتریس رؤیتگر^۱ ($n \times \ell$) است. مسئله طراحی رؤیتگر، تعیین مناسب ماتریس \mathbf{L} است. برای بررسی نقش ماتریس \mathbf{L} و نحوه تعیین آن، خطای رؤیت^۲ را به صورت زیر تعریف کنیم

$$\mathbf{e}(t) \equiv \mathbf{x}(t) - \hat{\mathbf{x}}(t) \quad (9-5-7)$$

با کم کردن معادله (5-5-7)، از معادله (7-5-7)، بکارگیری معادله‌های (6-5-7) و (8-5-7) و تعریف خطای رؤیت، بدست می‌آوریم

$$\dot{\mathbf{e}}(t) = (\mathbf{A} - \mathbf{L}\mathbf{C})\mathbf{e}(t) \quad (10-5-7)$$

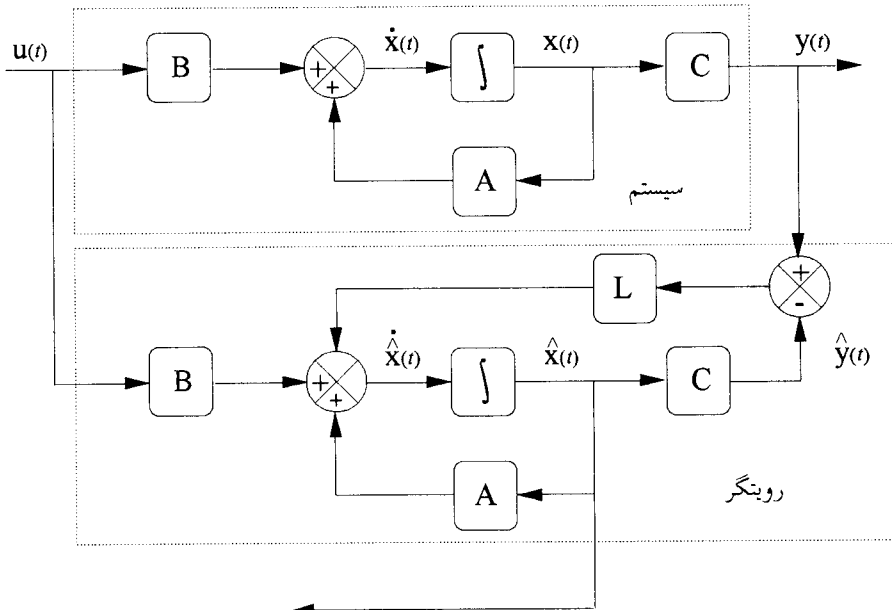
با انتخاب مناسب ماتریس L (توجه کنید در صورتیکه سیستم تنها یک خروجی داشته باشد، L یک بردار $1 \times n$ است)، می توان مقادیر ویژه $A-LC$ را در سمت چپ محور موهومی قرار داد. بنابراین مقدار حالت - ماندگار (t) برای هر شرط اولیه‌ای صفر است

$$\lim_{t \rightarrow \infty} e(t) = 0 \quad (11-5-7)$$

از معادله (10-5-7)، داریم که معادله خطای ورودی نداشته و تنها با شرایط اولیه تحریک می شود، بنابراین خطای رؤیتگر با ورودی سیستم تعیین نمی شود. مقدار حالت - ماندگار خطای برابر صفر است. توجه کنید که صرفنظر از ورودی اعمال شده به سیستم، خطای رؤیت همواره پس از گذراندن یک حالت گذرا صفر خواهد شد. در عمل باید ماتریس L را به گونه‌ای انتخاب کنیم که مقادیر ویژه $A-LC$ در سمت چپ مقادیر ویژه حلقه - بسته قرار گیرند. به عبارت دیگر، ماتریس L باید به گونه‌ای انتخاب گردد تا خطای تخمین با سرعت قابل قبولی صفر گردد و بر عملکرد سیستم حلقه - بسته اثر قابل ملاحظه‌ای نگذارد. می توان نشان داد که (برای جزئیات به مراجع همین فصل و بخش کتاب‌شناسی آن مراجعه کنید) شرط لازم و کافی برای جایابی قطب‌های رؤیتگر (تعیین مقادیر ویژه ماتریس $A-LC$ ، توسط ماتریس L ، رؤیت پذیری سیستم است. به عبارت دیگر، بتوان با مشاهده خروجی حالتها را تخمین زد. شمای کلی یک سیستم با رؤیتگر در شکل ۷-۶ نشان داده شده است. در رؤیتگر طراحی شده تمامی متغیرهای حالت، همانطور که در شکل ۷-۶ نشان داده شده است، تخمین زده می شوند. به رؤیتگری که تمامی متغیرهای حالت را تخمین می‌زند، رؤیتگر مرتبه کامل^۱ می‌گویند.

۳-۵-۷ سیستم حلقه - بسته فیدبک حالت با رؤیتگر

در فرایند جایابی قطب با فیدبک حالت در بخش ۱-۵-۷، فرض شده بود که بردار حالت واقعی (t) برای اندازه‌گیری و فیدبک در دسترس است. در بخش ۲-۵-۷، با فرض در دسترس نبودن بردار حالت روشنی را برای تخمین و بازسازی بردار حالت توسط رؤیتگر ارایه کردیم. در این بخش با فرض در دسترسی نبودن بردار حالت واقعی، یک رؤیتگر را در سیستم



شکل ۶-۷ سیستم با رؤیتگر

کنترل فیدبک حالت به کار می‌گیریم و از بردار حالت تخمین زده شده $(\hat{x}(t))$ به جای بردار حالت واقعی $(x(t))$ در سیستم کنترل استفاده می‌کنیم. فرایند طراحی در این صورت به دو مرحله تقسیم می‌شود:

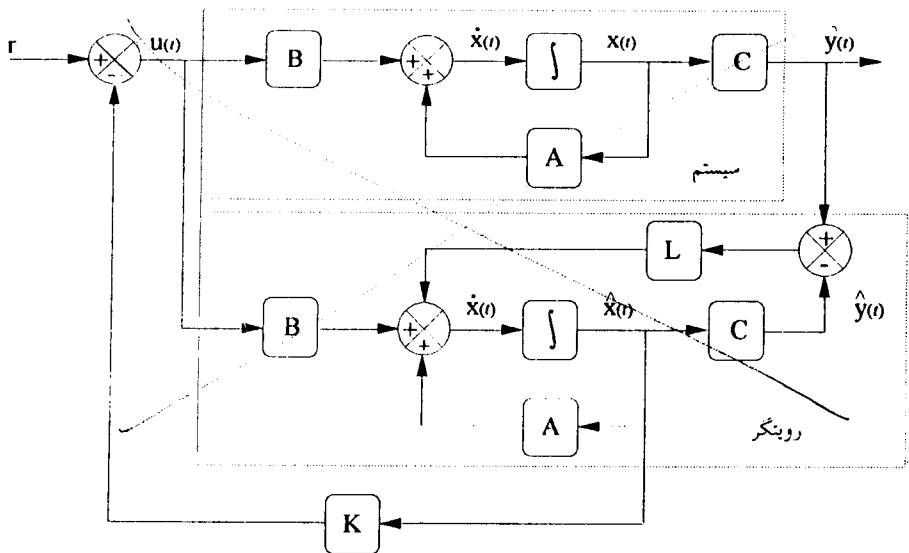
مرحله اول: تعیین یک ماتریس بهره فیدبک حالت K ، برای جایابی مطلوب قطبها در سیستم.

مرحله دوم: تعیین یک ماتریس بهره رؤیتگر L ، برای جایابی مطلوب قطبها رؤیتگر. برای مطالعه اثبات بکارگیری $(\hat{x}(t))$ به جای $(x(t))$ ، همانطور که در شکل ۶-۷ نشان داده شده است، سیستم کاملاً کنترل پذیر و رؤیت پذیر داده شده با معادلات حالت و خروجی زیر را در نظر بگیرید

$$\dot{x}(t) = Ax(t) + Bu(t) \quad (12-5-7)$$

$$y(t) = Cx(t) \quad (13-5-7)$$

$$\begin{aligned} &\text{برای کنترل فیدبک حالت، با حالت رؤیت شده } (\hat{x}(t)) \text{ داریم} \\ &u(t) = -K\hat{x}(t) \end{aligned} \quad (14-5-7)$$



شکل ۷-۷ سیستم کنترل فیدبک حالت با رؤینگر

با این کنترل از جایگزینی معادله (۱۴-۵-۷)، در معادله (۱۲-۵-۷)، بدست می‌آوریم

$$\dot{x}(t) = Ax(t) - BKx(t) \quad (15-5-7)$$

با اضافه کردن $-BKx(t) + BKx(t)$ - به طرف راست معادله (۱۵-۵-۷)، و بازنویسی آن بدست می‌آوریم

$$\dot{x}(t) = (A - BK)x(t) + BK(x(t) - \hat{x}(t)) \quad (16-5-7)$$

از معادله (۹-۵-۷)، داریم

$$\dot{x}(t) = (A - BK)x(t) + BKe(t) \quad (17-5-7)$$

با ترکیب معادله‌های (۱۷-۵-۷) و (۱۰-۵-۷) داریم

$$\begin{bmatrix} \dot{x}(t) \\ \dot{e}(t) \end{bmatrix} = \begin{bmatrix} A - BK & BK \\ 0 & A - LC \end{bmatrix} \begin{bmatrix} x(t) \\ e(t) \end{bmatrix} \quad (18-5-7)$$

معادله (۱۸-۵-۷)، دینامیک سیستم حلقه - بسته با کنترل فیدبک حالت و رؤینگر را

توصیف می‌کند. معادله مشخصه سیستم حلقه - بسته عبارتست از

$$\begin{vmatrix} sI-A+BK & -BK \\ 0 & sI-A+LC \end{vmatrix} = 0.$$

و یا

$$|sI-A+BK| |sI-A+LC| = 0. \quad (19-5-7)$$

معادله (19-5-7)، نشان می‌دهد که قطب‌های حلقه - بسته سیستم کنترل فیدبک حالت با رؤیتگر از مجموع قطب‌های ناشی از طراحی جایابی قطب و قطب‌های ناشی از طراحی رؤیتگر تشکیل می‌شود. این بدان معنی است که طراحی رؤیتگر و جایابی قطب با فیدبک حالت، به طور جداگانه‌ای انجام می‌شوند. بنابراین دو مرحله فرایند طراحی به طور کامل مستقل از یکدیگر انجام می‌پذیرند.

قطب‌های مطلوب حلقه - بسته، به گونه‌ای تعیین می‌گردند تا مشخصه‌های عملکرد سیستم حلقه - بسته برآورده شوند. قطب‌های رؤیتگر نیز به گونه‌ای تعیین می‌گردند تا پاسخ رؤیتگر بسیار سریعتر از پاسخ سیستم باشد. یک قاعده سرانگشتی برای تعیین محل قطب‌های رؤیتگر آن است که آنها را به گونه‌ای انتخاب کنیم که پاسخ رؤیتگر حداقل ۲ تا ۵ برابر سریعتر از پاسخ سیستم باشد. بالاترین سرعت رؤیتگر با پارامترهایی مانند نویز و مسئله حساسیت در سیستم‌های کنترل عملی محدود می‌شود.

مثال ۱۶-۷

سیستم کاملاً رؤیت‌پذیر زیر را در نظر بگیرید

$$\dot{x}(t) = \begin{bmatrix} -3 & 1 \\ 0 & -2 \end{bmatrix} x(t) + \begin{bmatrix} 0 \\ 1 \end{bmatrix} u(t)$$

$$y(t) = \begin{bmatrix} 1 & 0 \end{bmatrix} x(t)$$

برای تخمین بردار حالت سیستم، بردار بهره رؤیتگر L را به صورت زیر تعریف می‌کنیم

$$L = \begin{bmatrix} l_1 \\ l_2 \end{bmatrix}$$

که در آن α_1 و α_2 پارامترهایی هستند که در طراحی رؤیتگر تعیین می‌گردند. معادله مشخصه سیستم دینامیکی رؤیتگر عبارتست از

$$\begin{aligned} |sI - A + LC| &= \begin{vmatrix} s+3+\ell_1 & -1 \\ \ell_2 & s+2 \end{vmatrix} \\ &= s^2 + (\omega + \ell_1)s + (\omega + 2\ell_1 + \ell_2) \\ &= 0 \end{aligned}$$

پارامترهای α_1 و α_2 را از مساوی قراردادن معادله مشخصه سیستم دینامیکی رؤیتگر، با معادله مشخصه مطلوب رؤیتگر بدست می‌آوریم. اگر بخواهیم قطبها رؤیتگر در ۱ و -۶ قرار گیرند، معادله مشخصه مطلوب رؤیتگر عبارتست از

$$(s+6)(s+1) = s^2 + 7s + 6$$

با مساوی قرار دادن ضرایب توانهای مشابه در $L = [2 -4 -4 -2]$ داریم. معادله دینامیکی رؤیتگر از معادله $(7-5-7)$ و $(8-5-7)$ ، عبارتست از

$$\begin{aligned} \dot{\hat{x}}(t) &= \begin{bmatrix} -3 & 1 \\ 0 & -2 \end{bmatrix} \hat{x}(t) + \begin{bmatrix} 0 \\ 1 \end{bmatrix} u(t) + \begin{bmatrix} 2 \\ -4 \end{bmatrix} (y(t) - \hat{y}(t)) \\ \hat{y}(t) &= \begin{bmatrix} 1 & 0 \end{bmatrix} \hat{x}(t) \end{aligned}$$

و یا با جایگزینی $y(t) = Cx(t)$ ، داریم

$$\dot{\hat{x}}(t) = \begin{bmatrix} -5 & 1 \\ 4 & -2 \end{bmatrix} \hat{x}(t) + \begin{bmatrix} 0 \\ 1 \end{bmatrix} u(t) + \begin{bmatrix} 2 \\ -4 \end{bmatrix} y(t)$$

با توجه به مثال بالا، مراحل طراحی یک رؤیتگر نیز همانند مراحل طراحی جایابی قطب با فیدبک حالت است. این مراحل عبارتند از:

۱- با تشکیل ماتریس رؤیت‌پذیری Φ_0 داده شده با معادله $(10-4-7)$ ، رؤیت‌پذیری سیستم را بررسی کنید. در صورت رؤیت‌پذیر بودن، طراحی رؤیتگر (جایابی قطبها رؤیتگر) امکان‌پذیر است.

۲- قطبها مطلوب رؤیتگر را تعیین کنید. این قطبها باید به گونه‌ای انتخاب شوند که سرعت پاسخ رؤیتگر حداقل ۲ تا ۵ برابر سریعتر از پاسخ سیستم باشد. معادله مشخصه مطلوب رؤیتگر را با این قطبها بدست آورید.

۳- معادله مشخصه رؤیتگر را با محاسبه دترمینان زیر بنویسید:
 $|sI - A + LC| = 0$

که در آن L یک ماتریس $n \times n$ است (n تعداد متغیرهای حالت و ℓ تعداد خروجیها است).

۴- دو معادله مشخصه تعیین شده در مراحل ۲ و ۳ را مساوی قرار دهید. با حل معادلات بدست آمده از مساوی قرار دادن ضرایب متناظر k_1 پارامترهای z_{ij} ($i=1,\dots,n$, $j=1,\dots,\ell$) در ماتریس L را بدست آورید.

مثال ۱۷-۷

معادلهای حالت و خروجی سیستمی عبارتند از

$$\dot{x}(t) = \begin{bmatrix} 0 & 1 \\ -2 & 3 \end{bmatrix} x(t) + \begin{bmatrix} 0 \\ 1 \end{bmatrix} u(t)$$

$$y(t) = \begin{bmatrix} 1 & 0 \end{bmatrix} x(t)$$

قطبهای این سیستم در $+1$ و $+2$ قرار دارند و لذا سیستم حلقه - باز ناپایدار است. اگر بخواهیم از فیدبک متغیرهای حالت برای پایدارسازی سیستم استفاده کنیم، نخست باید کنترل پذیری سیستم را تعیین نمود. با فرض در دسترس نبودن متغیرهای حالت برای فیدبک، باید از یک رؤیتگر جهت تخمین متغیرهای حالت و فیدبک آنها استفاده کرد و لذا تعیین رؤیت پذیری سیستم نیز الزامی است. ماتریس‌های کنترل پذیری و رؤیت پذیری سیستم عبارتند از

$$\Phi_o = \begin{bmatrix} 1 & 0 \\ 0 & 1 \end{bmatrix}, \quad \Phi_c = \begin{bmatrix} 0 & 1 \\ 1 & 3 \end{bmatrix}$$

بنابراین سیستم کنترل پذیر و رؤیت پذیر است. قطبهای سیستم حلقه - بسته مطلوب را در $\{-3, -4\}$ و قطبهای رؤیتگر را در $\{-13, -12\}$ در نظر می‌گیریم. برای تعیین ماتریس بهره فیدبک دو معادله مشخصه مطلوب و حلقه - بسته را مساوی قرار می‌دهیم، از این‌و

$$\left| \begin{pmatrix} s & 0 \\ 0 & s \end{pmatrix} - \begin{pmatrix} 0 & 1 \\ -2 & 3 \end{pmatrix} + \begin{pmatrix} 0 \\ 1 \end{pmatrix} (k_1, k_2) \right| = \begin{vmatrix} s & -1 \\ 2+k_1 & s-3+k_2 \end{vmatrix}$$

$$= s^2 + s(-3+k_2) + 2+k_1$$

$$= s^2 + 4s + 12$$

ولذا $k=10$ است.

برای تعیین ماتریس بهره رؤینگر نیز به طریق مشابهی، دو معادله مشخصه مطلوب رؤینگر و معادله مشخصه رؤینگر را مساوی قرار می‌دهیم، از این‌رو

$$\begin{aligned} \left| \begin{pmatrix} s & 0 \\ 0 & s \end{pmatrix} - \begin{pmatrix} 0 & 1 \\ -2 & 3 \end{pmatrix} + \begin{pmatrix} l_1 \\ l_2 \end{pmatrix} (1 \ 0) \right| &= \begin{vmatrix} s+l_1 & -1 \\ 2+l_2 & s-3 \end{vmatrix} \\ &= s^2 + s(l_1 - 3) + 2 + l_2 \\ &= s^2 + 26s + 169 \end{aligned}$$

ولذا $L=[23 \ 167]^T$ است.

شکل‌های ۷-۸ (الف) و (ب)، به ترتیب رفتار متغیرهای حالت $(t)_1x$ و $(t)_2x$ را نشان می‌دهند. همانطور که از این شکل‌ها مشاهده می‌گردید، متغیرهای حالت تخمین زده شده $(t)_1\hat{x}$ و $(t)_2\hat{x}$ در کمتر از ۱ ثانیه به مقادیر واقعی متغیرهای حالت همگرا می‌شوند. شرایط اولیه تخمین $\begin{bmatrix} 1 \\ 0 \end{bmatrix} = \begin{bmatrix} 0 \\ 0 \end{bmatrix} \hat{x}$ است. در شکل ۷-۸ (ج)، خروجی سیستم حلقه - بسته واقعی و خروجی سیستم حلقه - بسته با فیدبک تخمین متغیرهای حالت نشان داده شده است. همانطور که مشخص است، سیستم حلقه - باز ناپایدار در هر دو حالت پایدار گردیده است و بعد از گذشت یک زمان حالت گذرا با همگرا شدن متغیر حالت تخمین زده شده به حالت واقعی خروجیها نیز به هم همگرا شده‌اند.

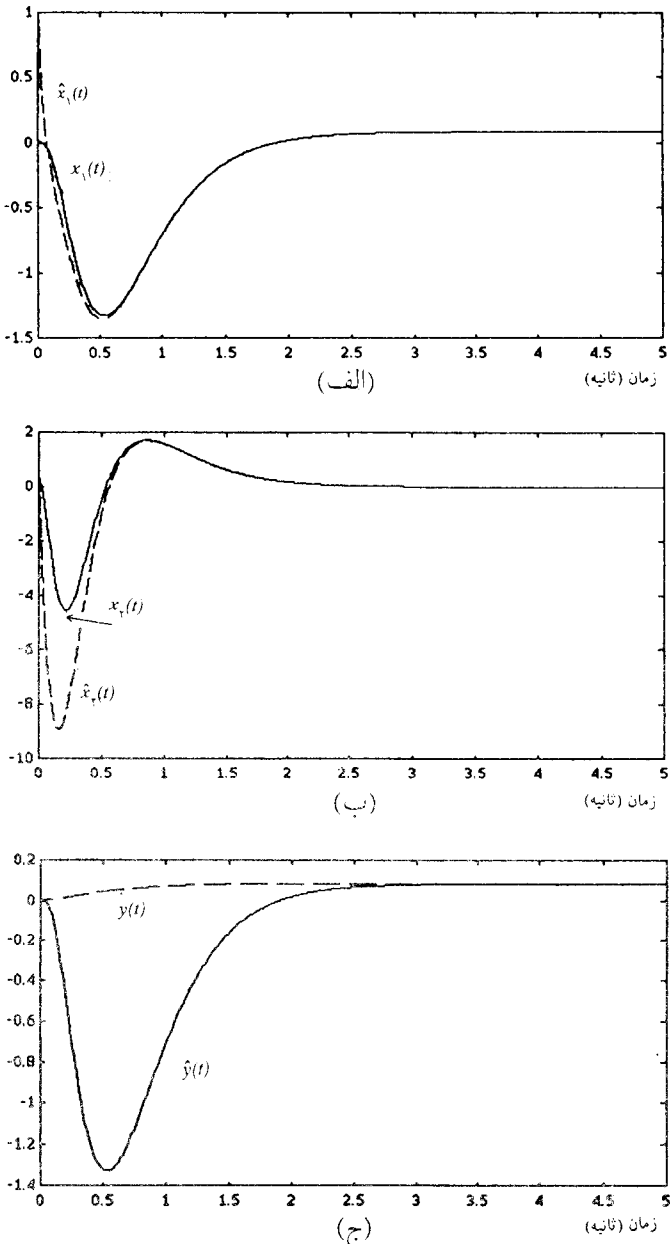
مسائل

۱-۱. معادلات حالت و خروجی سیستم‌های زیر را در نظر بگیرید:

$$\begin{aligned} \dot{\mathbf{x}}(t) &= \begin{bmatrix} 0 & 5 \\ 0 & -4 \end{bmatrix} \mathbf{x}(t) + \begin{bmatrix} 0 \\ 2 \end{bmatrix} u(t) \\ y(t) &= \begin{bmatrix} 1 & 0 \end{bmatrix} \mathbf{x}(t) \end{aligned} \quad (\text{الف})$$

$$\begin{aligned} \dot{\mathbf{x}}(t) &= \begin{bmatrix} -3 & -1 \\ 2 & 0 \end{bmatrix} \mathbf{x}(t) + \begin{bmatrix} 1 \\ 0 \end{bmatrix} u(t) \\ y(t) &= \begin{bmatrix} 1 & 1 \end{bmatrix} \mathbf{x}(t) \end{aligned} \quad (\text{ب})$$

برای شرایط اولیه صفر و ورودی پله واحد، پاسخ متغیرهای حالت و خروجی سیستم را با بکارگیری معادلات (۲۰-۲-۷) و (۲۱-۲-۷)، بدست آورید.



شكل ٨-٧ (أ) رفتار اولین متغیر حالت واقعی و تخمین زده شده. (ب) رفتار دومین متغیر حالت واقعی و تخمین زده شده. (ج) خروجیهای سیستم با رویتگر و بدون رویتگر.

۲-۷- پاسخ معادلات حالت و خروجی سیستم‌های زیر را بدست آورید:

$$\begin{aligned}\dot{\mathbf{x}}(t) &= \begin{bmatrix} 0 & 1 \\ -2 & -3 \end{bmatrix} \mathbf{x}(t) + \begin{bmatrix} 0 \\ 1 \end{bmatrix} u(t) \\ y(t) &= \begin{bmatrix} 0 & 1 \end{bmatrix} \mathbf{x}(t)\end{aligned}\quad (\text{الف})$$

شرط اولیه سیستم $x_1(0)$ و $x_2(0)$ می‌باشند و $u(t)$ نیز ورودی پله واحد است.

$$\dot{\mathbf{x}}(t) = \begin{bmatrix} 7 & -2 \\ 15 & -4 \end{bmatrix} \mathbf{x}(t) \quad (\text{ب})$$

شرط اولیه سیستم $1 = x_2(0) = x_1(0)$ است.

۳-۷- سیستم توصیف شده با معادله حالت زیر را در نظر بگیرید:

$$\dot{\mathbf{x}}(t) = A\mathbf{x}(t) + B u(t)$$

پاسخ بردار حالت را به ورودی‌های اعمال شده در زمان $t=0$ ، بدست آورید:

(الف) ورودی شبیه واحد.

(ب) ورودی ضربه واحد.

۴-۷- پاسخ معادلات حالت زیر را با استفاده از روش تبدیل لاپلاس بدست آورید

$$\dot{\mathbf{x}}(t) = \begin{bmatrix} 1 & 0 \\ 1 & 1 \end{bmatrix} \mathbf{x}(t) \quad (\text{الف})$$

با شرایط اولیه $\mathbf{x}(0) = [1 \ 1]^T$ و ورودی پله واحد.

$$\dot{\mathbf{x}}(t) = \begin{bmatrix} 0 & 1 \\ -2 & -3 \end{bmatrix} \mathbf{x}(t) + \begin{bmatrix} 1 \\ 0 \end{bmatrix} u(t) \quad (\text{ب})$$

با شرایط اولیه صفر و ورودی $u(t) = e^{-t}$ برای $t \geq 0$.

$$\dot{\mathbf{x}}(t) = \begin{bmatrix} -1 & 1 \\ 1 & 1 \end{bmatrix} \mathbf{x}(t) \quad (\text{ج})$$

با شرایط اولیه $x_1(0)$ و $x_2(0)$.

۵-۷- سیستم زیر را در نظر بگیرید

$$\frac{d^2x}{dt^2} + (\alpha + \beta) \frac{dx}{dt} + \alpha\beta x = u$$

که در آن α و β ثابت و u ورودی ضربه واحد است. شرایط اولیه سیستم عبارتند از

$$\dot{x}(0-) = \frac{dx(0-)}{dt} = 0$$

پاسخ سیستم را با استفاده از روش

(الف) تبدیل لاپلاس

(ب) فضای - حالت

بدست آورید.

۶-۷. ماتریس‌های حالت سیستم‌هایی در زیر داده شده‌اند. با نوشتن معادله مشخصه این سیستم‌ها و محاسبه مقادیر ویژه آنها، پایداری این سیستم‌ها را بررسی کنید.

$$A = \begin{bmatrix} 0 & 1 & 0 \\ 0 & 0 & 2 \\ -12 & 1 & -6 \end{bmatrix} \quad A = \begin{bmatrix} -1 & 3 \\ 2 & -2 \end{bmatrix} \quad A = \begin{bmatrix} 3 & 2 \\ 1 & 4 \end{bmatrix}$$

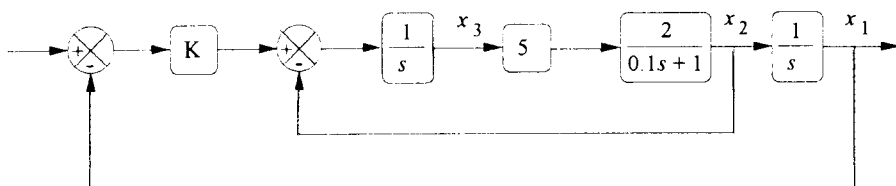
۷-۷. دیاگرام بلوکی یک سیستم کنترل موقعیت در شکل ۹-۷ نشان داده شده است. با نوشتن معادلات حالت آن، پایداری سیستم را به ازاء تغییرات بهره K تعیین کنید.

۸-۷. کنترل پذیری سیستم‌های زیر را تعیین کنید:

$$\dot{x}(t) = \begin{bmatrix} -3 & 1 \\ -2 & 1/5 \end{bmatrix} x(t) + \begin{bmatrix} 0 \\ 1 \end{bmatrix} u(t) \quad (\text{الف})$$

$$\dot{x}(t) = \begin{bmatrix} 1 & 1 \\ 0 & -1 \end{bmatrix} x(t) + \begin{bmatrix} 1 \\ 0 \end{bmatrix} u(t) \quad (\text{ب})$$

$$\dot{x}(t) = \begin{bmatrix} 1 & 1 \\ 2 & -1 \end{bmatrix} x(t) + \begin{bmatrix} 0 \\ 1 \end{bmatrix} u(t) \quad (\text{ج})$$



شکل ۹-۷ سیستم کنترل موقعیت مسئله ۷-۷

$$\dot{\mathbf{x}}(t) = \begin{bmatrix} 0 & 1 & -1 \\ 1 & 0 & 1 \\ 0 & 1 & -1 \end{bmatrix} \mathbf{x}(t) + \begin{bmatrix} 1 & 0 \\ 0 & 1 \\ 0 & 0 \end{bmatrix} u(t) \quad (\text{d})$$

$$\dot{\mathbf{x}}(t) = \begin{bmatrix} 1 & 2 & -1 \\ 0 & 1 & 0 \\ 1 & -4 & 2 \end{bmatrix} \mathbf{x}(t) + \begin{bmatrix} 0 \\ 0 \\ 1 \end{bmatrix} u(t) \quad (\text{e})$$

۷-۹- تابع تبدیل سیستمی عبارتست از

$$G(s) = \frac{K(s+a)(s+b)}{(s+a)(s+b)(s+c)(s+d)}$$

کنترل پذیری این سیستم را بررسی کنید.

۷-۱۰- رؤیت پذیری سیستم‌های زیر را تعیین کنید:

$$\begin{aligned} \dot{\mathbf{x}}(t) &= \begin{bmatrix} 1 & 1 \\ -2 & -1 \end{bmatrix} \mathbf{x}(t) + \begin{bmatrix} 0 \\ 1 \end{bmatrix} u(t) \\ y(t) &= \begin{bmatrix} 1 & 0 \end{bmatrix} \mathbf{x}(t) \end{aligned} \quad (\text{الف})$$

$$\begin{aligned} \dot{\mathbf{x}}(t) &= \begin{bmatrix} 0 & 1 & 0 \\ 0 & 0 & 1 \\ -6 & -11 & -6 \end{bmatrix} \mathbf{x}(t) + \begin{bmatrix} 0 \\ 0 \\ 1 \end{bmatrix} u(t) \\ y(t) &= \begin{bmatrix} 4 & 5 & 1 \end{bmatrix} \mathbf{x}(t) \end{aligned} \quad (\text{ب})$$

$$\begin{aligned} \dot{\mathbf{x}}(t) &= \begin{bmatrix} 1 & 1 \\ -1 & 1 \end{bmatrix} \mathbf{x}(t) + \begin{bmatrix} 2 & -1 \\ 1 & 0 \end{bmatrix} u(t) \\ y(t) &= \begin{bmatrix} 1 & 0 \\ -1 & 1 \end{bmatrix} \mathbf{x}(t) \end{aligned} \quad (\text{c})$$

$$\dot{\mathbf{x}}(t) = \begin{bmatrix} 2 & 0 & 0 \\ 0 & 2 & 0 \\ 0 & 3 & 1 \end{bmatrix} \mathbf{x}(t) \quad (d)$$

$$y(t) = \begin{bmatrix} 1 & 1 & 1 \end{bmatrix} \mathbf{x}(t)$$

$$\dot{\mathbf{y}}(t) = \begin{bmatrix} 1 & 1 & 1 \\ 1 & 2 & 3 \end{bmatrix} \mathbf{x}(t) \quad (e)$$

سیستم داده شده در (d) با معادله خروجی

۱۱-۷- معادلات حالت و خروجی زیر را در نظر بگیرید

$$\dot{\mathbf{x}}(t) = \begin{bmatrix} 1 & 0 & 0 \\ \alpha & -2 & 1 \\ -2 & 0 & -1 \end{bmatrix} \mathbf{x}(t) + \begin{bmatrix} 1 \\ 1 \\ 0 \end{bmatrix} u(t)$$

$$y(t) = \begin{bmatrix} -1 & 1 & 0 \end{bmatrix} \mathbf{x}(t)$$

کنترل پذیری و رؤیت پذیری سیستم را به ازاء مقادیر مختلف α بررسی کنید.

۱۲-۷- سیستم داده شده با معادلات زیر را در نظر بگیرید:

$$\dot{\mathbf{x}}(t) = \begin{bmatrix} 1 & 2 \\ 0 & -4 \end{bmatrix} \mathbf{x}(t) + \begin{bmatrix} 1 \\ 1 \end{bmatrix} u(t)$$

(الف) نشان دهید که سیستم ناپایدار است.

(ب) نشان دهید که با فیدبک حالت مناسب می توان سیستم را پایدار کرد.

(ج) بهره فیدبک حالت مناسبی که قطب‌های حلقه - بسته را در $\{-4\}$ قرار دهید، تعیین کنید.

۱۳-۷- سیستم زیر را در نظر بگیرید

$$\dot{\mathbf{x}}(t) = \begin{bmatrix} 1 & 3 & 2 & 4 \\ 2 & 1 & 0 & 6 \\ 0 & 0 & -1 & 2 \\ 0 & 0 & 0 & -2 \end{bmatrix} \mathbf{x}(t) + \begin{bmatrix} 1 \\ 2 \\ 0 \\ 0 \end{bmatrix} u(t)$$

پس از آزمون کنترل پذیری، در صورت امکان با فیدبک حالت قطبهای سیستم حلقه - بسته را در $\{-1, -2, -3, -4\}$ قرار دهید.

۱۴-۷ - سیستم زیر را در نظر بگیرید

$$\begin{aligned}\dot{\mathbf{x}}(t) &= \begin{bmatrix} 1 & 1 \\ 2 & 0 \end{bmatrix} \mathbf{x}(t) + \begin{bmatrix} 0 \\ 1 \end{bmatrix} u(t) \\ y(t) &= \begin{bmatrix} \alpha & 0 \end{bmatrix} \mathbf{x}(t)\end{aligned}$$

(الف) به ازاء چه مقادیری از α سیستم رؤیت ناپذیر است.

(ب) برای $\alpha = 0$ ، رؤیتگری طراحی کنید که خطای تخمین آن با قطبهای -1 و -2 به سمت صفر میل کند.

۱۵-۷ - سیستم زیر را در نظر بگیرید

$$\begin{aligned}\dot{\mathbf{x}}(t) &= \begin{bmatrix} 0 & 1 \\ 4 & 0 \end{bmatrix} \mathbf{x}(t) + \begin{bmatrix} \beta \\ 1 \end{bmatrix} u(t) \\ y(t) &= \begin{bmatrix} 1 & \alpha \end{bmatrix} \mathbf{x}(t)\end{aligned}$$

(الف) به ازاء چه مقادیری از α و β سیستم کنترل پذیر و رؤیت پذیر است.

(ب) برای $\alpha = \beta = 0$ ، قطبهای سیستم حلقه - بسته را با فیدبک حالت در $\{-1, -2\}$ و قطبهای رؤیتگر را در $\{-5, -6\}$ قرار دهید.

۱۶-۷ - پاسخ سیستم‌های داده شده در مسائل $12-7$ ، $13-7$ ، $14-7$ ، $15-7$ را برای شرایط اولیه دلخواه و ورودی پله واحد توسط یک برنامه کامپیوتروی مناسب رسم کنید.

مراجع فصل هفتم

[۷-۱] علی خاکی صدیق ، اصول کنترل مدرن ، انتشارات دانشگاه تهران، ۱۳۷۴

- [7-2] Blackman P.F, *Introduction to state-variable analysis*, Macmillan, 1977
- [7-3] Ogata K., *State space analysis of control systems*, Prentice-Hall, 1977
- [7-4] Borrie John A., *Modern control systems*, Prentice-Hall, 1986
- [7-5] Friedland B., *Control system design*, McGraw-Hill, 1987
- [7-6] Brogan William L., *Modern control theory*, Prentice-Hall, 1991
- [7-7] Rosenbrock H. H., *State-space and multivariable theory*, Nelson, 1970
- [7-8] Kailath, T., *Linear systems*, Prentice-Hall, 1980
- [7-9] Chen C.T., *Introduction to linear system theory*, Holt, Rinehart and Winston, 1970

کتاب شناسی

در زمینه تحلیل و طراحی سیستم‌های کنترل در فضای حالت، مراجع فراوانی وجود دارند. برای آشنایی بیشتر با مفاهیم اولیه فضای حالت، روش‌های پایه در تحلیل و طراحی فضای حالت و درک عمیق‌تر مفاهیم ارایه شده در این فصل به مرجع [۷-۱] مراجعه شود. تقریباً کلیه کتابهای مقدماتی در رابطه با تحلیل و طراحی سیستم‌های کنترل، فصل یا فصلهایی در ارتباط با تحلیل و طراحی فضای حالت دارند. مراجع [۲]، [۳] و [۴]، این مفاهیم را به صورت مقدماتی بیان کرده‌اند. مرجع [۷]، با بکارگیری مسائل حل شده فراوان پاره‌ای از مفاهیم فضای حالت را به طور ساده، توضیح داده است. مراجع [۷-۲] تا [۷-۵]، به طور تخصصی به بیان تحلیل و طراحی فضای حالت پرداخته‌اند. این مراجع، بیشتر به صورت مفهومی و مهندسی به مسئله فضای - حالت پرداخته‌اند. در [۷-۳]، نرم‌افزارهای مناسبی نیز برای تحلیل و طراحی سیستم‌های کنترل به روش فضای - حالت آورده شده است. جبر خطی یک وسیله بسیار مناسب و لازم برای بررسی تئوریک مفاهیم فضای - حالت است. مراجع [۷-۱] و [۷-۶] فصلهایی در ارتباط با مقدمات جبر خطی و آشنایی با آن آورده‌اند. برای بررسی دقیق ریاضی و ارایه اثباتهای قضایای فضای حالت و برخورد عمیق تئوریک با آن، به مراجع [۷-۵] تا [۷-۹] می‌توان مراجعه کرد. مرجع [۲۶] فضای حالت را در حوزه دیجیتال مورد بررسی قرار داده است. در این مرجع، فضای حالت زمان - پیوسته نیز به مقدار قابل توجهی توضیح داده شده است.

مراجع

- 1- D' Azzo, J. J. and C. H. Houpis, *Linear control system analysis and design*, 3rd ed., NewYork, McGraw-Hill Book Company, 1988
- 2- Ogata, K., *Modern control engineering*, Englewood Cliffs, N.J. Prentice-Hall, Inc., 1991
- 3- Kuo, B. C., *Automatic control systems*, Sixth ed., Englewood Cliffs N.J. Prentice-Hall, Inc., 1991
- 4- Dorf, R. C., *Modern control systems*, 5thed. Reading, Mass: Addison-Wesley Publishing Company, Inc., 1989
- 5- Raven, F. H., *Automatic control engineering*, 3rd ed. NewYork: McGraw-Hill Book Company, 1978
- 6- DI-Stefano, J. J., A. R. Stubberud, and I. J. Williams, *Feedback and control systems*, Schaum's Outline Series, NewYork: Schaum Publishing Co., 1967
- 7- Wiberg M. D., *State space and linear systems*, Schaum's Outline Series, NewYork: Schaum Publishing Co., 1971
- 8- Van de Verte, J., *Feedback control systems*, Second ed., Englewood Cliffs, N. J.: Prentice-Hall. Inc., 1990
- 9- Warwick K., *Control systems: An Introduction*, Englewood Cliffs, N. J.: Prentice-Hall. Inc., 1989
- 10- Banks S. P., *Control systems engineering: modelling and simulation, control theory and microprocessor implementation*, Englewood Cliffs, N. J: Prentice-Hall. Inc., 1983
- 11- M. EL. Hawary, *Control system engineering*, Reston Publishing Company. 1987
- 12- Richards R. J., *An Introduction to dynamics and control*, Longman - Scientific and Technical, Second ed., 1991
- 13- Healy M., *Principles of automatic control*, Hodder and Stoughton, Third ed., 1981

- 14- Stockdale, L. A., *Servomechanisms*, Pitman Press, 1962
 - 15- Coughanowr and Koppel, *Process systems analysis and control*, McGraw-Hill Book company, 1965
 - 16- Elloy J-P, and Piasco J-M, *Classical and modern control with worked examples*, International series on Systems and Control, Pergamon Press, 1981
 - 17- Borrie John A., *Modern control systems: A manual of design methods*, Englewood cliffs, N. J.: Prentice-Hall. Inc., 1980
 - 18- Gayakwad R. and Sokoloff L., *Analog and digital control systems*, Englewood Cliffs, N.J.: Prentice-Hall. Inc., 1986
 - 19- Hale, F. J., *Introduction to control system analysis and design*, 2nd ed., Englewood cliffs, N.J.: Prentice-Hall, Inc., 1988
 - 20- Phillips, C. L., and R. D. Harbor, *Feedback control systems*, Englewood Cliffs, N.J.: Prentice-Hall, Inc. 1988
 - 21- Marshal, S. A., *Introduction to control theory*, Macmillan Publishing LTD, 1984
 - 22- Sinha N.K., *Control systems*, Holt, Rinehart and Winston, 1986
 - 23- Doebelin, E. O., *Control system principles and design*, John Wiley and Sons, 1985
 - 24- *Conrol Engineering Units (1) - (6)*, The open University Press, Milton Keynes, 1985
 - 25- Franklin Gene F., J. David Powell , A. Emami - Naeini, *Feedback control of dynamical systems*, Addison - Wesley, Publishing company, 1986
- ۲۶- پرویز جبهدار مارالانی، علی خاکی صدیق، سیستم‌های کنترل دیجیتال، انتشارات دانشگاه تهران، ۱۳۷۳.

واژه‌نامه فارسی - انگلیسی

آ

Steady-state response	پاسخ حالت ماندگار	Array	آرایه
Frequency response	پاسخ فرکانسی	Routh array	آرایه روث
Transient response	پاسخ گذرا	Spirule	اسپاپرول
Zero input response	پاسخ ورودی صفر	Super position principle	اصل جمع آثار
Stabilization	پایدارسازی	Load disturbances	اغتشاشات بار
Conditionally stable	پایدار شرطی	External disturbances	اغتشاشات خارجی
Stability	پایداری	Offset	افست
Asymptotic stability	پایداری مجانبی	Strictly proper	اکیداً سره، اکیداً معمول
Phase lag-lead	پس - پیش فاز	Load impedance	امپدانس بار
Phase lag	پس فاز	Transmittance	انتقال
Unit step	پله واحد	Phase shift	انتقال فاز
Bandwidth	پهنای باند	Direct transmission	انتقال مستقیم
Thrust	پیشرانه	Octave	اوکتاو
Phase lead	پیش فاز		
ت			
Step function	تابع پله	Load	بار
Transfer function	تابع تبدیل	Reconstruction	بازسازی
Analytic function	تابع تحلیلی	Elevator	بالابر
Polynomial function	تابع چند جمله‌ای	Critical	بحراتی
Parabolic function	تابع سهموی	State vector	بردار حالت
Sinusoidal function	تابع سینوسی	Back emf	برگشتی emf
Ramp function	تابع شب	Bode	بورد
Impulse function	تابع ضربه	Gain	بهره
Forcing function	تابع وادارنده	Loop gain	بهره حلقه
Time delayed	تأخير دار	Path gain	بهره مسیر
Time delay	تأخير زمانی	Response	پاسخ
Laplace transform	تبدیل لاپلاس	Free response	پاسخ آزاد
Realization	تحقیق	Zero state response	پاسخ حالت صفر

Initial state	حالت اولیه	Minimal realization	تحقیق می‌نیمال
Pole-zero cancellation	حذف قطب - صفر	Estimation	تخمین
Sensitivity	حساسیت	Estimated	تخمین زده شده
Spiral	حلزونی	Peak resonance	تشدید ستیغ
Loop	حلقه	Random	تصادفی
Open-loop	حلقه - باز	Multiplicity	تعدد
Closed-loop	حلقه - بسته	Time varying	تفاوت پذیر با زمان
Nontouching loops	حلقه‌های مجزا	Time invariant	تفاوت ناپذیر با زمان
Time domain	حوزه زمان	Tolerance	تلرانس
خ			
Controlled output	خروجی کنترل شده	Proportional- Integral	تناسبی انتگرال
Desired output	خروجی مطلوب	Proportional- Derivative	تناسبی مشتقی
Error	خطا	External description	تصویف خارجی
Steady-state error	خطای حالت ماندگار	Internal description	تصویف داخلی
Observation error	خطای رؤیت		
Linear	خطی		
د			
Input-output data	داده‌های ورودی - خروجی	Step-error constant	ثابت خطای پله
Magnitude	دامنه	Parabolic error constant	ثابت خطای سهمی
Constant M-Circle	دایره M - ثابت	Ramp error constant	ثابت خطای شبیه
Clockwise	در جهت حرکت عقربه‌های ساعت	Time constant	ثابت زمانی
Counter clockwise	در جهت عکس حرکت عقربه‌های ساعت	Torsional spring constant	ثابت فنر پیچشی
ج			
Plant	دستگاه	Pole placement	جايابي قطب
Decibel	دسی‌بل	Compensator	جبران ساز
Encirclement	دور زدن	Compensation	جبران سازی
Decade	ده	Series compensation	جبران سازی سری
Block diagram	دیاگرام بلوكی	Feedback compensation	جبران سازی فيدبك
Phasor diagram	دیاگرام فازور	Nichols chart	چارت نیکولز
Dynamic	دینامیک	Gain margin	حاشیه بهره
		Phase margin	حاشیه فاز
		State	حالت

ش	ر
Branch	شاخه
Accelerometer	شتاپ سنج
Magnitude condition	شرط دامنه
Angle condition	شرط زاویه
Motor shaft	شافت موتور
System identification	شناسایی سیستم
Aileron	شپور
ص	زمان استقرار
Zero	صفر
ض	زمان - پیوسته
Error coefficient	ضریب خطأ
ط	زمان تأخیر
Design	طراحی
ع	زمان ستیغ
Causal	علی
Control action	عمل کنترلی
خ	زمان صعود
Nonlinear	غیرخطی
Noncausal	غیر علی
Nonminimum phase	غیر مینیمم فاز
ف	زمان - گسته
Phase	فاز
Overshoot	فراجهش
Maximum overshoot	فراجهش حد اکثر
Pitch	فراز
Process	فرایند
Resonant frequency	فرکانس تشدید
Gain crossover frequency	فرکانس تقاطع بهره
Phase crossover frequency	فرکانس تقاطع فاز
Regulator	روگلاتور
Observable	رؤیت پذیر
Observer	رؤیتگر
Full order observer	رؤیتگر مرتبه کامل
	رؤیتگر مرتبه کاهش یافته
Reduced- order observer	
س	ز
Resonant peak	ستیغ تشدید
Servo	سرو
Servomechanism	سرو مکانیزم
Proper	سره، معمول
Series	سری
Control surfaces	سطح کنترلی
Rudder	سکان
Conventional	سترنی
Solenoid	سولونوئید
N-th order system	سیستم مرتبه n ام
Unknown system	سیستم ناشناخته
Disturbance signal	سیگنال اختشاش
Control signal	سیگنال کنترلی
Sink	سینک

Digital control	کنترل دیجیتال	Conditional frequency	فرکانس شرطی
Feedback control	کنترل فیدبک	Break frequency	فرکانس شکست
Controller	کنترل کننده	Natural frequency	فرکانس طبیعی
Modern control	کنترل مدرن		فرکانس طبیعی میرا شده
Field control	کنترل میدان	Damped natural frequency	
State uncontrollable	کنترل ناپذیر حالت	Cutoff frequency	فرکانس قطع
Intelligent control	کنترل هوشمند	Corner frequency	فرکانس گوشه
Cofactor	کوفاکتور	Mason's gain formula	فرمول بهره میسن
Coil	کویل	State space	فضای حالت
	گ	Flux	فلوئی
Flyball governer	گاؤرنر توب گردان	State feedback	فیدبک حالت
Node	گره	Feedback	فیدبک - فیدبک کردن
Output node	گره خروجی	Negative feedback	فیدبک منفی
Mixed node	گره مخلوط	High pass filter	فیلتر بالاگذار
Input node	گره ورودی	Low pass filter	فیلتر پایین گذار
Torque	گشتاور		ق
	ل	Homogeneous part	قسمت همگن
Log magnitude	لگاریتم دامنه	Initial value theorem	قضیه مقدار اولیه
	م	Final value theorem	قضیه مقدار نهایی
Fundamental matrix	ماتریس اساسی	Pole	قطب
State transition matrix	ماتریس انتقال حالت	Dominant poles	قطبهای غالب
State matrix	ماتریس حالت	Insignificant poles	قطبهای کم اثر
Output matrix	ماتریس خروجی		ك
Observability	ماتریس رؤیت پذیری	Semilog paper	کاغذ نیمه لگاریتمی
Observer matrix	ماتریس رؤیتگر	Continued fractions	کسرهای متواالی
Input matrix	ماتریس ورودی	Armature control	کنترل آرمیچر
State variable	متغیر حالت	State controllable	کنترل پذیر حالت
	متغیر حالت ناوابسته	Feedforward control	کنترل پیش خور
Independent state variable		Adaptive control	کنترل تطبیقی
Physical variables	متغیرهای فیزیکی	Multivariable control	کنترل چند متغیره

Nyquist	نایکرثیست	Cascade	متواالی
Cutoff rate	نرخ قطع	Asymptote	مجانب
Damping ratio	نسبت میرایی	Order	مرتبه
Relative damping ratio	نسبت میرایی نسبی	System order	مرتبه سیستم
Break-away point	نقطه در شکست	Path	مسیر
Angle deficiency	نقص زاویه	Forward path	مسیر پیش رو
Break-in point	نقطه بر شکست	Nyquist contour	مسیر نایکرثیست
Summing point	نقطه جمع	Root contours	مسیرهای ریشه
Take-off point	نقطه خروج	Auxillary equation	معادله کمکی
Operating point	نقطه کار	Characteristic equation	معادله مشخصه
Set-point	نقطه نشانه	Inverse unstable	معکوس ناپایدار
Enegy-storage	نگهدارنده - انرژی	Routh criteria	معیار روث
Polar plot	نمودار قطبی	Hurwitz criteria	معیار هرویتز
Direct polar plot	نمودار قطبی مستقیم	Robust	مقاوم
Signal flow graph	نمودار گذرنیکنال	Eigenvalue	مقدار ویژه
	نمودار معکوس نایکرثیست	Root locus	مکان ریشه
Inverse Nyquist plot.		Constant M-Locus	مکان M - ثابت
Nyquist plot	نمودار نایکرثیست	Source	منبع
Bode plots	نمودارهای بود	Curvilinear	منحنی الخط
System type	نوع سیستم	Parallel	موازی
Random noise	نویز تصادفی	Undamped	میراثشده
و			
Functional dependence	وابستگی تابعی	Critically damped	میرای بحرانی
Velocity input	ورودی سرعت	Overdamped	میرای شدید
Acceleration input	ورودی شتاب	Underdamped	میرای ضعیف
Unit ramp input	ورودی شبیب واحد	Damping	میرایی
Reference input	ورودی مرجع	Minimum phase	منی نیم فاز
Singular	ویژه	Unstable	ناپایدار
ن			
Conductors	هادیها	Uncertainty	نامعینی
		Nonsingular	ناویژه

Intelligent

هوشمند

Inductance

هدايت

Heaviside

هروي سايد

Hurwitz

هرويتز

واژه‌نامه انگلیسی - فارسی

۴۶.

A

Acceleration input	ورودی شتاب	Cofactor	کوفاکتور
Accelerometer	شتاب سنج	Coil	کویل
Adaptive control	کنترل تطبیقی	Compensation	جبران سازی
Aileron	شپیر	Compensator	جبران ساز
Analytic function	تابع تحلیلی	Conditional frequency	فرکانس شرطی
Angle condition	شرط زاویه	Conditionally stable	پایدار شرطی
Angle deficiency	نقص زاویه	Conductors	هادیها
Array	آرایه	Constant M-Circle	دایره M - ثابت
Armature control	کنترل آرمیجر	Constant M-Locus	مکان M - ثابت
Asymptote	مجانب	Continued fractions	كسرهای متراali
Asymptotic stability	پایداری مجانبی	Continuous-time	زمان - پیوسته
Auxillary equation	معادله کمکی	Control action	عمل کنترلی

B

Back emf	emf برگشتی	Controller	کنترل کننده
Bandwidth	پهنای باند	Control signal	سیگنال کنترلی
Block diagram	دیاگرام بلورکی	Control surfaces	سطح کنترلی
Bode	بود	Conventional	سترنی
Bode plots	نمودارهای بود	Corner frequency	فرکانس گوشش
Branch	شاخه	Counter clockwise	در جهت عکس حرکت عقربه‌های ساعت
Break-away point	نقطه در شکست	Critical	بحراتی
Break frequency	فرکانس شکست	Critically damped	میرای بحراتی
Break-in point	نقطه بر شکست	Curvilinear	منحنی الخط

C

Cascade	متوالی	Cutoff frequency	فرکانس قطع
Causal	علی	Cutoff rate	نرخ قطع
Characteristic equation	معادله مشخصه	D	
Clockwise	در جهت حرکت عقربه‌های ساعت	Damped natural frequency	فرکانس طبیعی میرا شده
Closed-loop	حلقه بسته	Damping	میرایی

Damping ratio	نسبت میرایی	Field control	کنترل میدان
Decade	دهه	Final value theorem	قضیه مقدار نهایی
Decibel	دسبل	Flux	فلوی
Delay time	زمان تأخیر	Flyball governer	گاورنر توپ گردان
Desired output	خروجی مطلوب	Forcing function	تابع وادارنده
Digital control	کنترل دیجیتال	Forward path	مسیر پیشرو
Direct polar plot	نمودار قطبی مستقیم	Free response	پاسخ آزاد
Direct transmission	انتقال مستقیم	Frequency response	پاسخ فرکانسی
Discrete-time	زمان - گسته	Full order observer	ریزینتگر مرتبه کامل
Design	طراحی	Functional dependence	وابستگی تابعی
Disturbance signal	سیگنال اغتشاش	G	
Dominant poles	قطبهای غالب	Gain	بهره
Dynamic	دینامیک	Gain crossover frequency	فرکانس تقاطع بهره
E		Gain margin	حاشیه بهره
Eigenvalue	مقدار ویژه	H	
Elevator	بالابر	Heaviside	هوی ساید
Encirclement	دور زدن	Highpass filter	فیلتر بالاگذار
Energy-storage	نگهدارنده - انرژی	Homogeneous part	قسمت همگن -
Error	خطا	Hurwitz	هرویتز
Error coefficient	ضریب خطأ	Hurwitz criteria	معیار هرویتز
Estimated	تخمین زده شده	I	
Estimation	تخمین	Impulse function	تابع ضربه
External description	توصیف خارجی -	Independent state variable	
External disturbances	اغتشاشات خارجی	متغیر حالت ناوابسته.	
F		Inductance	هدایت
Fundamental matrix	ماتریس اساسی	Initial state	حالت اولیه
Feedback	فیدبک - فیدبک کردن	Intitial value theorem	قضیه مقدار اولیه
Feedback compensation	جبرانسازی فیدبک	Input matrix	ماتریس ورودی
Feedback control	کنترل فیدبک	Input node	گره ورودی
Feedforward control	کنترل پیش خور	Input-output data	داده های ورودی - خروجی

Insignificant poles	فطهای کم اثر	N	
Intelligent	هوشمند	Natural frequency	فرکانس طبیعی
Intelligent control	کنترل هوشمند	Negative feedback	فیدبک منفی
Internal description	توصیف داخلی	Nichols chart	چارت نیکولز
Inverse Nyquist plot	نمودار معکوس نایکوئیست	Node	گره
	معکوس ناپایدار	Noncausal	غیر علی
Inverse unstable		Nonlinear	غیرخطی
L		Nonminimum phase	غیر مینیمم فاز
Laplace transform	تبدیل لاپلاس	Nonsingular	ناویژه
Linear	خطی	Nontouching loops	حلقه‌های مجزا
Load	بار	N-th order system	سیستم مرتبه n
Load disturbances	اغتشاشات بار	Nyquist	نایکوئیست
Load impedance	اپدانس بار	Nyquist contour	مسیر نایکوئیست
Log magnitude	لگاریتم دامنه	Nyquist plot	نمودار نایکوئیست
Loop	حلقه	O	
Loop gain	بهره حلقة	Observability	ماتریس رؤیت پذیری
Low pass filter	فلتر پایین‌گذار	Observable	رؤیت پذیر
M		Observation error	خطای رؤیت
Magnitude	دامنه	Observer	رؤیتگر
Magnitude condition	شرط دامنه	Observer matrix	ماتریس رؤیتگر
Mason's gain formula	فرمول بهره میسن	Octave	اوکتاو
Maximum overshoot	فراجهش حد اکثر	Offset	افست
Minimal realization	تحقیق مینیمال	Open-loop	حلقه - باز
Minimum phase	مینیمم فاز	Operating point	نقطه کار
Mixed node	گره مخلوط	Order	مرتبه
Modern control	کنترل مدرن	Output node	گره خروجی
Motor shaft	شفت موتور	Output matrix	ماتریس خروجی
Multiplicity	تعدد	Overdamped	میرای شدید
Multivariable control	کنترل چند متغیره	Overshoot	فراجهش

P

Parabolic error constant

ثابت خطای سهموی

Parabolic function

تابع سهموی

Parallel

موازی

Path

مسیر

Path gain

بهره مسیر

Peak resonance

تشدید ستینغ

Peak time

زمان ستینغ

Phase

فاز

Phase crossover frequency

فرکانس تقاطع فاز

Phase lag

پس فاز

Phase lag-lead

پس - پیش فاز

Phase lead

پیش فاز

Phase margin

حاشیه فاز

Phase shift

انتقال فاز

Phasor diagram

دیاگرام فازور

Physical variables

متغیرهای فیزیکی

Pitch

فراز

Plant

دستگاه

Polar plot

نمودار قطبی

Pole

قطب

Pole placement

جایابی نطب

Pole-zero cancellation

حذف قطب - صفر

Polynomial function

تابع چند جمله‌ای

Process

فرایند

Proper

سره، معمول

Proportional-Derivative

تناسبی مشتقی

Proportional- Integral

تناسبی انتگرال

R

Ramp error constant

ثابت خطای شب

Ramp function

تابع شب

Random

تصادفی

Random noise

نویز تصادفی

Realization

تحقق

Reconstruction

بازسازی

Reduced- order observer

رؤیتگر مرتبه کاهش یافته

Reference input

ورودی مرجع

Regulator

رگلاتور

Relative damping ratio

نسبت میرایی نسبی

Resonant frequency

فرکانس تشدید

Resonant peak

ستینغ تشدید

Response

پاسخ

Rise time

زمان صعود

Robust

مقاوم

Root contours

مسیرهای ریشه

Root locus

مکان ریشه

Routh array

آرایه روث

Routh criteria

معیار روث

Rudder

سکان

S

Semilog paper

کاغذ نیمه لگاریتمی

Sensitivity

حساسیت

Series

سری

Series compensation

جبرانسازی سری

Servo

سرو

Servomechanism

سرمکانیزم

Set-point

نقطه نشانده

Settling time	زمان استقرار	T	
Signal flow graph	نمودار گذر سیگنال	Take-off point	نقطه خروج
Singular	ویژه	Time constant	ثابت زمانی
Sink	سینک	Time delay	تأخیر زمانی
Sinusoidal function	تابع سینوسی	Time delayed	تأخیر دار
Solenoid	سولونوئید	Time domain	حوزه زمان
Source	منبع	Time invariant	تغییر ناپذیر با زمان
Spiral	حلزونی	Time varying	تغییر پذیر با زمان
Spirule	اسپایرول	Thrust	پیشانه
Stability	پایداری	Tolerance	تolerانس
Stabilization	پایدارسازی	Torsional spring constant	ثابت فنر پیچشی
State	حالت	Torque	گشتاور
State controllable	کنترل پذیر حالت	Transfer function	تابع تبدیل
State feedback	فیدبک حالت	Transient response	پاسخ گذرا
State matrix	ماتریس حالت	Transmittance	انتقال
State space	فضای حالت	U	
State transition matrix	ماتریس انتقال حالت	Uncertainty	نامعینی
State uncontrollable	کنترل ناپذیر حالت	Undamped	میرانشهده
State variable	متغیر حالت	Underdamped	میرای ضعیف
State vector	بردار حالت	Unit ramp input	ورودی شبیه واحد
Steady-state error	خطای حالت ماندگار	Unit step	پله واحد
Steady-state response	پاسخ حالت ماندگار	Unknown system	سیستم ناشناخته
Step-error constant	ثابت خطای پله	Unstable	ناپایدار
Step function	تابع پله	V	
Strictly proper	اکیداً سره، اکیداً معمول	Velocity input	ورودی سرعت
Summing point	نقطه جمع	Z	
Super position principle	اصل جمع آثار	Zero	صفر
System identification	شناسایی سیستم	Zero input response	پاسخ ورودی صفر
System order	مرتبه سیستم	Zero state response	پاسخ حالت صفر
System type	نوع سیستم	Ziegler-Nichols	زیگلر - نیکولز

فهرست راهنمای

- آرایه روت، ۱۳۸-۱۴۰ آرایه روت، ۱۴۰-۱۳۸
- موارد خاص در تشکیل آرایه روت، ۱۴۵-۱۴۵ موارد خاص در تشکیل آرایه روت، ۱۴۵-۱۴۵
- اثرات اضافه کردن صفر و قطب به سیستم، ۱۱۳-۱۱۸ اثرات اضافه کردن صفر و قطب به سیستم، ۱۱۳-۱۱۸
- اثر صفرهای اضافی، ۱۱۸ اثر صفرهای اضافی، ۱۱۸
- اثر تعپیای غالب اضافی، ۱۱۵ اثر تعپیای غالب اضافی، ۱۱۵
- اسپاپول، ۱۷۲ اسپاپول، ۱۷۲
- اغتشاش، ۵ اغتشاش، ۵
- اثر فیدبک بر اغتشاش، ۱۲۸-۱۳۱ اثر فیدبک بر اغتشاش، ۱۲۸-۱۳۱
- اغتشاش افست، ۱۲۹ اغتشاش افست، ۱۲۹
- اغتشاش باز، ۱۲۹ اغتشاش باز، ۱۲۹
- اغتشاش خارجی، ۱۲۸ اغتشاش خارجی، ۱۲۸
- بردار حالت، ۴۰۸، ۵۳ بردار حالت، ۴۰۸، ۵۳
- بردار خروجی، ۴۰۸ بردار خروجی، ۴۰۸
- بردار ورودی، ۴۰۸ بردار ورودی، ۴۰۸
- پاسخ حالت گذرا، ۱۱۳-۹۶ پاسخ حالت گذرا، ۱۱۳-۹۶
- پاسخ حالت ماندگار، ۹۵-۹۱ پاسخ حالت ماندگار، ۹۵-۹۱
- پاسخ حالت ماندگار به ورودی پله، ۹۱ پاسخ حالت ماندگار به ورودی پله، ۹۱
- پاسخ حالت ماندگار به ورودی سینوسی، ۹۴ پاسخ حالت ماندگار به ورودی سینوسی، ۹۴
- پاسخ حالت ماندگار به ورودی چند جمله‌ای، ۹۴ پاسخ حالت ماندگار به ورودی چند جمله‌ای، ۹۴
- پاسخ حالت شیب، ۹۱ پاسخ حالت شیب، ۹۱
- پاسخ حالت - صفر، ۴۱۴ پاسخ حالت - صفر، ۴۱۴
- پاسخ فرکانسی، ۱۰ پاسخ فرکانسی، ۱۰
- ۳۰۳، ۲۲۱، ۲۱۶، ۲۱۶ پاسخ فرکانسی، ۱۰
- ارتباط بین پاسخ گذراپله و پاسخ فرکانسی، ۳۱۵-۳۰۷ ارتباط بین پاسخ گذراپله و پاسخ فرکانسی، ۳۱۵-۳۰۷
- پاسخ فرکانسی حلقه - بسته، ۳۱۵-۳۰۷ پاسخ فرکانسی حلقه - بسته، ۳۱۵-۳۰۷
- مشخصه‌های عملکرد براساس پاسخ فرکانسی، ۳۱۷-۳۱۵ مشخصه‌های عملکرد براساس پاسخ فرکانسی، ۳۱۷-۳۱۵
- پاسخ میرای بحرانی، ۹۸ پاسخ میرای بحرانی، ۹۸
- پاسخ میرای شدید، ۹۷ پاسخ میرای شدید، ۹۷
- پاسخ میرای ضعیف، ۱۰۰ پاسخ میرای ضعیف، ۱۰۰
- مشخصه‌های پاسخ میرای ضعیف، ۱۰۲ مشخصه‌های پاسخ میرای ضعیف، ۱۰۲
- پاسخ ورودی - صفر، ۴۱۲ پاسخ ورودی - صفر، ۴۱۲
- ۴۱۷، ۳۳۶، ۳۳۲، ۱۴۷، ۱۳۶ پایداری، ۱۳۶-۱۴۷
- آزمونهای پایداری، ۱۳۶-۱۴۷ آزمونهای پایداری، ۱۳۶-۱۴۷
- پایداری در فضای حالت، ۴۱۷ پایداری در فضای حالت، ۴۱۷
- پایدار شرطی، ۲۸۶ پایدار شرطی، ۲۸۶
- پیشنهاد باند، ۳۲۰ پیشنهاد باند، ۳۲۰
- تابع تبدیل، ۲۴، ۵۳، ۲۹، ۱۱۹، ۱۰۳، ۹۱، ۱۶۸، ۱۳۷، ۱۱۹، ۱۰۳، ۹۱ تابع تبدیل، ۲۴، ۵۳، ۲۹، ۱۱۹، ۱۰۳، ۹۱
- ۴۱۶، ۳۳۸، ۳۰۷، ۲۷۱، ۲۲۴ اثر اضافه کردن صفر و قطب به تابع تبدیل، ۱۱۸-۱۱۳
- ۴۲۱، ۲۵۱، ۲۲۴ بسط آوردن معادلات حالت از تابع تبدیل، ۵۹-۵۳
- تابع تبدیل سیستم مرتبه دوم، ۱۰۳ تابع تبدیل سیستم مرتبه دوم، ۱۰۳
- تابع تبدیل سینوسی، ۲۱۹ تابع تبدیل سینوسی، ۲۱۹
- تابع تبدیل عنصر تأخیر خالص، ۲۵۳ تابع تبدیل عنصر تأخیر خالص، ۲۵۳
- تابع تبدیل غیر می‌نیمم فاز، ۲۵۱ تابع تبدیل غیر می‌نیمم فاز، ۲۵۱
- تابع تبدیل می‌نیمم فاز، ۲۵۱ تابع تبدیل می‌نیمم فاز، ۲۵۱
- تابع تبدیل معادل، ۱۲۰ تابع تبدیل معادل، ۱۲۰
- حذف صفر - قطب در تابع تبدیل، ۴۳۴-۴۳۳ حذف صفر - قطب در تابع تبدیل، ۴۳۴-۴۳۳
- شناسایی تابع تبدیل، ۲۶۱-۲۵۶ کنترل پذیری و رؤیت پذیری در تابع تبدیل، ۴۳۴-۴۳۱
- تابع حساسیت، ۱۳۳ تابع حساسیت، ۱۳۳
- تأخیر خالص، ۲۵۳ تأخیر خالص، ۲۵۳
- تأخیر زمانی، ۲۱۳ تأخیر زمانی، ۲۱۳
- ۲۸۸، ۲۱۳ تنظیم پارامترهای PID، ۴۰۶، ۳۵۰
- تبدیل لاپلاس، ۲۵، ۲۳ تبدیل لاپلاس در حل معادله فضای حالت، ۴۱۶، ۴۱۴
- تبدیل لاپلاس در حل خطای حالت - ماندگار، ۱۱۸-۱۲۶ تحلیل خطای حالت - ماندگار، ۱۱۸-۱۲۶
- تحلیل در حوزه زمان، ۸۵-۱۴۷ تحلیل در حوزه زمان، ۸۵-۱۴۷
- تحلیل در حوزه فرکانسی، ۲۱۵-۳۲۲ تحلیل در حوزه فرکانسی، ۲۱۵-۳۲۲
- تحلیل فضای حالت، ۴۰۷-۴۳۴ تحلیل فضای حالت، ۴۰۷-۴۳۴
- تحمیم متغیرهای حالت، ۴۴۰ تثابت خطای حالت، ۱۲۲

- | | |
|---|---|
| ثابت خطای پله، ۱۲۳ | دامنه سنتی شدید، ۳۱۷ |
| ثابت خطای سهموی، ۱۲۵ | تغییرات دامنه، ۲۱۶ |
| ثابت خطای شب، ۱۲۴ | لگاریتم دامنه، ۲۲۲ |
| ثابت زمانی، ۹۳ | سیستم حلقه - بسته با دامنه یکسان، ۳۰۸ |
| ثابت خطای ساز، ۳۲ | دربینان هروتیز، ۱۴۵ |
| جبران ساز، ۳۴۳ | دیاگرام‌های بلوکی، ۲۲ |
| جبران ساز پس فاز، ۳۴۲ | اجزاء اصلی دیاگرام‌های بلوکی، ۳۰ |
| جبران ساز پس - پیش فاز، ۳۴۳ | جهر دیاگرام‌های بلوکی، ۳۱ |
| جبران ساز پیش فاز، ۳۴۲ | رسم دیاگرام‌های بلوکی سیستم‌های فیزیکی، ۳۴ |
| جبران سازی، ۳۳۲ | دیاگرام بود، ۲۱۵ |
| جبران سازی سری، ۳۳۳ | - ترسیم دیاگرام بود، ۲۴۷ |
| جبران سازی سری - موازی، ۳۳۳ | ریشه‌های معادله مشخصه، ۴۱۷ |
| جبران سازی متواالی، ۳۳۳ | رؤیت پذیری، ۴۰۷ |
| جبران سازی متواالی ریشه، ۳۳۳ | آزمون رؤیت پذیری، ۴۲۱ - ۴۲۷ |
| عوامل مختلف در انتخاب روشهای جبران سازی، ۳۳۴ | تعریف و مفهوم اولیه رؤیت پذیری، ۴۲۵ - ۴۲۴ |
| جبران سازی با استفاده از چارت نیکولز، ۳۹۸ - ۳۹۹ | رؤیت پذیری در توابع تبدیل، ۴۳۴ - ۴۳۱ |
| جبران سازی با استفاده از مکان ریشه، ۳۷۳ - ۳۵۱ | رؤیتگر، ۴۰۷ |
| جبران سازی با استفاده از نمودارهای بود، ۳۷۴ - ۳۹۱ | جایابی قطب با رؤیتگر، ۴۴۹ - ۴۴۲ |
| جبران سازی در فضای حالت، ۴۰۹ | رؤیتگر مرتبه کامل، ۴۴۲ |
| حاشیه بهره، ۲۹۹ | طراحی رؤیتگر، ۴۴۲ - ۴۴۰ |
| حاشیه فاز، ۲۹۹ | زمان استقرار، ۱۰۰، ۱۰۱، ۱۰۲ |
| حسابت، ۱۳۲، ۸۵ | زمان تأخیر، ۱۰۸، ۱۰۲ |
| اثر فیدبک بر حسابت، ۱۳۶ - ۱۳۱ | زمان سنتی، ۱۰۸، ۱۰۶ |
| تابع حسابت، ۱۳۳ | زمان صورده، ۱۰۸، ۱۰۲ |
| خطا، ۱۱۸ | سیستم حلقه - باز، ۲۰ |
| اثر فیدبک بر خطأ، ۱۲۶ | سیستم حلقه - بسته، ۲۰ |
| خطای حالت ماندگار، ۱۲۲، ۱۱۸ | سیستم خطی، ۱۹ |
| خطای رؤیت، ۴۴۱ | سیستم غیرخطی، ۱۹ |
| خطای سیستم، ۱۸ | خطای ناشی از ورودی پله، ۹۱ |
| خطای گذرا، ۱۲۲ | سیستم مرتبه دوم، ۹۶ - ۱۱۳ |
| خطای ناشی از ورودی سهموی، ۱۲۵ | شرط دامنه، ۱۶۹ |
| خطای ناشی از ورودی شب، ۹۱ | شرط زاویه، ۱۷۰ |
| خطای ناشی از ورودی پله، ۹۱ | طراحی |
| خطای ناشی از ورودی سهموی، ۱۲۵ | - طراحی جبران‌سازها با چارت نیکولز، ۳۹۸ - ۳۹۱ |

- متغیرهای حالت، ۵۲، ۲۳، ۵۳، ۵۶
 انتخاب متغیرهای حالت، ۵۹ - ۶۷
 متغیرهای حالت ناویسته، ۶۱
 مسیرهای ریشه، ۱۹۹
 مسیر نایکوئیست، ۲۷۶ - ۲۸۱
 معادله حالت، ۵۶، ۶۵
 رابطه بین تابع تبدیل و معادله حالت، ۶۵
 حل معادله حالت، ۴۰۹ - ۴۱۶
 معادله خروجی، ۵۶
 معادله کمکی، ۱۴۲
 معادله مشخصه، ۴۲۱، ۴۱۶
 معیار پایداری نایکوئیست، ۲۷۴ - ۲۷۹
 مکان ریشه، ۱۶۳
 خواص اساسی مکان ریشه، ۱۶۸ - ۱۷۰
 قواعد ترسیم مکان ریشه، ۱۷۲ - ۱۸۴
 طراحی با مکان ریشه،
 مقادیر ویژه سیستم، ۴۱۷
 موتورهای dc، ۶۷، ۲۳
 موتورهای dc کنترل آریچر، ۶۷
 موتورهای dc کنترل میدان، ۶۷ - ۷۱
 برگشتی در موتورهای dc، ۷۱
 میرای بحرانی، ۹۷ - ۹۸
 میرای شدید، ۹۷
 میرای ضعیف، ۹۷ - ۱۰۰
 ناپایدار، ۱۳۷
 نسبت سیگنال به نویز، ۱۳۰
 نسبت میرایی، ۱۰۳
 نسبت میرایی نسبی، ۱۱۵
 نمودارهای دامنه و فاز، ۲۲۱
 نمودار قطبی، ۲۶۱
 نمودار قطبی مستقیم، ۲۶۱
 نمودار گذرهای سیگنال، ۳۶
 تعاریف مربوط به نمودار گذرهای سیگنال، ۳۸ - ۳۹
 خواص نمودار گذرهای سیگنال، ۳۹ - ۴۰
- طراحی جبران‌سازها با مکان ریشه، ۳۵۱ - ۳۷۳
 طراحی جبران‌سازها با نمودارهای بود، ۳۷۴ - ۳۹۱
 طراحی سیستم‌های کنترل در فضای حالت، ۴۳۴ - ۴۳۹
 طراحی جایابی قطب، ۴۳۵ - ۴۴۹
 طراحی رؤیتگر، ۴۴۰ - ۴۴۲
 فرجانش حداثت، ۱۰۲، ۱۰۸
 فرکانس تشدید، ۳۱۵
 فرکانس شرطی، ۱۰۴
 فرکانس طبیعی میرانشده، ۱۰۴
 فرکانس طبیعی میرانشده، ۱۰۳
 فرکانس قطع، ۳۲۰
 قضیه مقدار نهایی، ۹۲، ۹۸
 قطب، ۴۱۸، ۱۳۷
 قطبهای غالب، ۱۱۵، ۱۱۴
 قطبهای کم اثر، ۱۱۴
 کنترل پذیری، ۴۰۷
 آزمون کنترل پذیری، ۴۲۶
 تعریف و مفهوم اولیه کنترل پذیری، ۴۲۲ - ۴۲۴
 کنترل پذیری در توابع تبدیل، ۴۳۱ - ۴۳۴
 کنترل پرواز، ۱۶ - ۱۷
 کنترل پیش خور، ۵
 کنترل حلقة - باز، ۲ - ۲۰
 کنترل حلقة - بسته، ۵ - ۲۰
 کنترل درجه حرارت، ۱۶ - ۱۷
 کنترل کنندهای PD، PID، ۳۴۸ - ۳۵۱
 کنترل فیدبک، ۳۶ - ۳۳۳
 گاوارنر ترپ گردان، ۹
 ماتریس اساسی، ۴۱۱ - ...
 ماتریس انتقال حالت، ۴۱۱
 ماتریس انتقال مستقیم، ۵۴ - ۴۰۸
 ماتریس حالت، ۵۴ - ۴۱۷، ۴۰۸
 ماتریس خروجی، ۵۴ - ۴۰۸
 ماتریس ورودی، ۵۴ - ۴۰۸

- پایداری با نمودار نایکریست معکوس، ۲۹۳ - ۲۹۴ ۴۲ - ۴۰
 نمودار نایکریست، ۱۲۰ ۴۷ - ۴۵
 ورودی تابع پله، ۸۸ ۲۶۱ ، ۲۱۵
 ورودی تابع چند جمله‌ای، ۹۰ ۲۶۸ - ۲۶۳
 ورودی تابع سهمی، ۸۹ نمودار نایکریست سیستم تاخیردار، ۲۶۹
 ورودی تابع سینوسی، ۹۰ قواعد رسم نمودار نایکریست، ۲۷۳ - ۲۷۱
 ورودی تابع شبیب، ۸۹ پایداری با نمودار نایکریست، ۲۷۴ - ۲۷۴
 ورودی تابع ضربه، ۸۸ نمودار نایکریست معکوس، ۲۸۹
 ورودی مرجع، ۱۷